



(علمی - پژوهشی)

جلد دوم شماره‌ی ۱ بهار ۱۳۹۲

ISSN: 2322-2352

این نشریه در تاریخ ۱۵/۱۱/۱۳۹۰ طبق بخشنامه‌ی شماره‌ی ۳/۲۳۳۲۰۰ کمیسیون نشریات علمی  
کشور موفق به دریافت درجه‌ی علمی - پژوهشی گردیده است.

صاحب امتیاز:

انجمن سرامیک ایران

مدیر مسئول:

دکتر واهاک کاسپاری مارقوسیان، دانشگاه علم و صنعت ایران

سردبیر:

دکتر حسین سرپولکی، دانشگاه علم و صنعت ایران

هیئت تحریریه:

دکتر محمد علی بهرهور، پژوهشگاه مواد و انرژی

دکتر علی بیتللهی، دانشگاه علم و صنعت ایران

دکتر جعفر جوادپور، دانشگاه علم و صنعت ایران

دکتر عباس کیانوش، دانشگاه تبریز

دکتر فرهاد گلستانی‌فرد، دانشگاه علم و صنعت ایران

دکتر فتح‌الله مضطربزاده، دانشگاه امیر کبیر

دکتر بیژن افخاری، دانشگاه علم و صنعت ایران

دکتر مهران صولتی، دانشگاه امیر کبیر

دکتر احسان طاهری نساج، دانشگاه تربیت مدرس

دکتر محمد علی فقیهی ثانی، دانشگاه صنعتی شریف

دکتر علی نعمتی، دانشگاه صنعتی شریف

نشانی: تهران، نارمک، دانشگاه علم و صنعت ایران، دانشکده‌ی مهندسی مواد و متالورژی، دفتر انجمن سرامیک ایران

صندوق پستی: تهران، ۱۱۱ - ۱۶۸۴۵ تلفن: ۷۷۸۹۹۳۹۹ دورنگار: ۷۷۸۹۹۳۹۹

پست الکترونیکی: jcse@ICerS.org نشانی سایت اینترنتی: www.ijcse.ir

طراحی، گرافیک، صفحه‌آرایی: تمام طرح ۷۷۲۰۹۲۲۸

داوران این شماره:

- دکتر سمیه اعلم الهدی - دانشگاه علم و صنعت ایران
- دکتر سعید باغشاهی - دانشگاه بین‌المللی امام خمینی (ره)
- دکتر محمد باوند - دانشگاه آزاد علوم و تحقیقات
- دکتر محمد علی بهره ور - پژوهشگاه مواد و انرژی
- دکتر علی بیت الله‌ی - دانشگاه علم و صنعت ایران
- مهندس فاطمه سادات ترک نیک - پژوهشگاه مواد و انرژی
- دکتر حسین سربولکی - دانشگاه علم و صنعت ایران
- دکتر منصور سلطانیه - دانشگاه علم و صنعت ایران
- دکتر اسماعیل صلاحی - پژوهشگاه مواد و انرژی
- دکتر احسان طاهری نساج - دانشگاه تربیت مدرس
- دکتر امیر غفاری - دانشگاه ملایر
- مهندس بشیر فتوحی - دانشگاه آزاد میبد
- دکتر مسعود محبی - دانشگاه بین‌المللی امام خمینی (ره)
- دکتر احسان مرزبان راد - پژوهشگاه مواد و انرژی
- دکتر سید مرتضی مسعود پناه - دانشگاه علم و صنعت ایران
- دکتر سید محمد میرکاظمی - دانشگاه علم و صنعت ایران
- دکتر رحیم نقی‌زاده - دانشگاه علم و صنعت ایران
- دکتر امیرعباس نوربخش - دانشگاه آزاد اسلامی واحد شهرضا

## فهرست مقالات

- ۱ بررسی و مطالعه تاثیر پارامترهای فرآیند بر ترکیب فازی، قابلیت تراکم‌پذیری و خواص مکانیکی سرمتهای آلومینا-کروم ساخته شده به روش سنتز احتراقی لی لا فاضلی، مهدی کلاتر، مسعود مشرفی فر
- ۱۷ تولید سرامیک نیمه شفاف از نانو پودر  $\text{Al}_2\text{O}_3$  به روش تفجوشی بدون فشار حسن عباس‌زاده، اصغر رحمانی، زهرا اصغری
- ۲۵ بررسی تأثیر ذرات کاربید بور و زمان آسیاکاری مکانیکی بر ریزساختار و خواص مکانیکی نانوکامپوزیت  $\text{Al}2024-\text{B}_4\text{C}$  علیرضا عبدالهی، علی علیزاده، حمیدرضا بهاروندی
- ۴۵ تأثیر نوع حلال بر سنتز آلومینای مزوپور با استفاده از کوپلیمر سه-بلوکی پلارونیک P123 عادله معطی، جعفر جوادپور، منصور انبیا، علیرضا بدیعی
- ۵۳ بررسی اثر افزودن اکسیدهای مختلف بر مکانیزم اپال شدن و مقاومت شیمیایی شیشه‌های اپال خود به خودی حاوی اکسید روی مهدی سلیمان‌زاده، بیژن افتخاری یکتا، واهاک کاسپاری مارقوسیان
- ۶۵ بررسی خصوصیات الکترونیکی پیزو سرامیک‌های بدون سرب تیتانات بیسموت سدیم پتابسیم در نزدیکی مرز فازی مورفوتروپیک اعظم موسوی، محمد علی بهره‌ور، علیرضا آقایی
- ۷۷ سنتز نانوذرات مغناطیسی اکسید‌آهن به روش همرسوبی و بررسی تأثیر نسبت غلظت مواد واکنش دهنده بر اندازه و خواص مغناطیسی ذرات حسین اثناعشری ایوری، هادی عربی



# بررسی و مطالعه تاثیر پارامترهای فرآیند بر ترکیب فازی، قابلیت تراکم‌پذیری و خواص مکانیکی سرمتهای آلومینا-کروم ساخته شده به روش سنتز احترافی

لی لا فاضلی، مهدی کلانتر، مسعود مشرفی فر

دانشکده مهندسی معدن و متالورژی، دانشگاه یزد

Mkalantar@yazd.ac.ir

**چکیده:** سرمتهای سرامیکی مقاوم در دماهای بالا بواسطه حضور فاز ثانویه فلزی چکش خوار، تردی و شکنندگی آنها به طور قابل توجهی کمتر از سرامیک‌های منولیتیک یا کامپوزیت‌های سرامیک-سرامیک می‌باشد. بدین ترتیب می‌توانند در بسیاری موارد کم مقاومت به سایش، مقاومت به خروش و مقاومت ترمومکانیکی بالا نیاز باشد جایگزین آلیاژهای فلزی شوند. در این مطالعه ساخت و خواص سرمتهای فاز فلزی کروم به روش سنتز احترافی در نسبت‌های مختلف از مواد  $\text{Al}_2\text{O}_3$ ,  $\text{Cr}_2\text{O}_3$ ,  $\text{Al}$  و  $\text{Al}$  زمان‌های مختلف آسیا کاری و دماهای مختلف عملیات حرارتی مورد بررسی قرار گرفته است. برای انتخاب مناسب پارامترهای ساخت (زمان آسیاکاری، دمای پخت، اتمسفر، ترکیب مواد اولیه) نمونه‌هایی با نسبت‌های مختلف از مواد اولیه که در زمان‌های مختلف آسیا کاری شده بودند مورد آنالیز DTA و TGA قرار گرفتند. همچنین از SEM برای مشاهدات ریز ساختاری، از XRD برای آنالیز فازی، از آزمون خمین سه نقطه‌ای برای اندازه گیری استحکام و تفنس و از روش ویکرز برای اندازه گیری سختی استفاده گردید. نتایج نشان می‌دهد که برای زمان‌های آسیا کاری بالاتر از ۲ ساعت به دلیل فعل سازی پودر دمای شروع واکنش‌های گرمای زا کاهش می‌یابد. با افزایش نسبت  $X$  در مخلوط اولیه  $\{\text{Al}_2\text{O}_3, \text{Cr}_2\text{O}_3, \text{Al}\}_{1-X}$ ، یعنی استفاده کمتر از  $\text{Al}_2\text{O}_3$  اضافی  $T_a = 0.5$  دانسیته، استحکام و  $T_a = 0.7$  تفنس نمونه‌های زینتر شده افزایش می‌یابد. اما سختی همواره با افزایش نسبت  $X$  کاهش می‌یابد. در ضمن برای مخلوط با  $X = 0.5$  با افزایش دمای زینتر تا  $1550^\circ\text{C}$  تفنس افزایش یافته هرچند به میزان جزئی استحکام از  $1500^\circ\text{C}$  به  $1550^\circ\text{C}$  کاهش می‌یابد. در ضمن مستله اکسیداسیون فاز کرم خیلی مهم بوده به طوری که فقط در اتمسفر آرگون با خلوص بالا می‌توان به بالاترین خواص رسید.

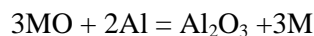
**کلید واژه:** سرمت، آلومینا، کروم، اکسید کروم، آسیا کاری، زینترینگ، خواص مکانیکی، ریز ساختار.

## ۱- مقدمه

کاربرد سرامیک‌های سازه‌ای دما پایین یا دما بالا بواسطه تردی و شکنندگی آنها محدود شده است. برای غلبه بر تردی سرامیک‌های وارد نموده تا به عنوان مواد در برابر رشد ترک عمل نموده و استحکام کششی کامپوزیت را افزایش دهد [۱]. مهمترین مکانیزم افزایش تفنس در سرمتهای سرامیک-فلز پل زدگی ترک بوسیله تغییر فرم پلاستیکی و برش خوردن فاز فلزی چکش خوار بوسیله ترک بوده که بواسطه استهلاک انرژی می‌تواند سبب مهار شدن رشد ترک شود. البته شرط رخ دادن چنین مکانیزمی بالاتر بودن استحکام پیوند بین فلز و سرامیک از استحکام تسلیم فلز می‌باشد.

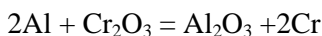
هر اندازه اندازه دانه‌های فاز فلزی ریزتر باشد عدم تطابق حرارتی بین فاز فلزی و سرامیک کمتر بوده و احتمال شکل‌گیری ریز ترک‌ها در فصل مشترک کمتر خواهد بود. اگر فاز ثانویه فلزی به صورت شبکه پیوسته‌ای از ذرات باشد به دلیل ارائه تافنس و رسانایی بالاتر برای سرمت قابلیت کاربردی آن در دماهای بالا افزایش یافته اما در هر صورت در جه عایقی سرمت کاهش می‌یابد. در سرمت فاز سرامیکی با ضرب انبساط حرارتی کم به عنوان فاز غالب نقش مقاومت حرارتی و سایشی را داشته و فاز فلزی نقش بهبود رسانایی حرارتی و الکتریکی و خواص مکانیکی چون مقاومت به ضربه و تافنس را دارد. آلومینا به دلیل دیرگذاری، مقاومت به سایش و پایداری شیمیایی خوب استفاده وسیعی می‌تواند داشته باشد اما تردی و شکنندگی آن باعث شده تا پتانسیل کاربردی آن محدود شود. برای افزایش قابلیت کاربردی آن بخصوص در موارد دینامیکی فازهای فلزی چون کروم [۲۸-۲۹]، آلمینیم [۱۵-۱۶]، آهن [۱۷-۱۸]، تیتانیم [۱۸]، نیکل [۲۳-۲۴] و مولیبدن [۱]، تنگستن [۲۳]، سرب [۲۴] و مس [۲۵] به عنوان فاز ثانویه به آن اضافه شده و کارهای تحقیقاتی خوبی در این زمینه انجام گرفته است.

فرایندهای مختلفی چون متالورژی پودر [۴۶-۷۷]، سنتز احتراقی [۲۰، ۱۶، ۱۸] یا زینتر واکنشی [۸]، پرس گرم [۲۰-۲۴]، نفوذ دهی محلول‌های نمکی شامل جزء فلزی یا نفوذ دهی مذاب فلزی به داخل نمونه پیش ساخته سرامیکی [۱۹-۲۳] و CVD [۲۳]، سل-ژل [۲۴] و درجا [۹] برای ساخت سرمت‌ها وجود دارد. در مواردی می‌توان برای ساخت سرمت  $\text{Al}_2\text{O}_3$ -Ni یا  $\text{Al}_2\text{O}_3$ -Fe مخلوط دو اکسید آلمینیم و اکسید نیکل یا اکسید آلمینیم و اکسید آهن را در یک اتمسفر هیدروژنی مورد احیاء قرار داده و فازهای فلزی نیکل و آهن را ایجاد نمود [۲۱]. برای ایجاد یک مخلوط همگن پودری در روش متالورژی پودر علاوه بر روش‌های مکانیکی از روش‌های شیمیایی نیز کمک گرفته می‌شود بطوريکه پودر آلمینا را در داخل محلول‌های نیترات فلز مورد نظر (آهن یا نیکل) وارد نموده تا پوششی از اکسید یا هیدروکسید فلزات مورد نظر بر روی سطح درات آلمینا شکل بگیرد [۲۲]. برای ساخت سرمت‌های شامل دو جزء فلزی چون آهن و کروم که موضوع مخلوط کردن خیلی مهم می‌باشد می‌توان از روش‌های شیمیایی تر رسبوب همزمانی استفاده نمود در این فرآیند مخلوطی از محلول‌های اکزالات آلمینیم و فلزات مورد نظر تهییه بطوريکه رسبوب همزمانی سه اکسید رخ می‌دهد. در روش سل-ژل با استفاده از آلكوکسیدهای آلمینیم و فلز یا فلزات مورد نظر تهییه و سپس ژلی از مخلوط همگن اکسیدها حاصل می‌شود. در هر دو مورد با احیاء در محیط هیدروژنی نانو ذرات فلزی شکل می‌گیرد [۱۷]. در فرآیند سنتز احتراقی پودر آلمینیم با پودر یک یا چند اکسید فلزی مخلوط شده و از تمایل بالای آلمینیم برای اکسیداسیون برای شکل گیری آلمینا و احیاء شدن اکسید فلزی برای شکل گیری فاز فلزی استفاده می‌گردد. درجه آسیاکاری در ضمن مرحله مخلوط سازی می‌تواند دمای شروع واکنش زیر را در ضمن مرحله عملیات حرارتی کاهش دهد



گفته شده حتی درصدی از واکنش فوق در مرحله آسیا کاری انجام می‌گیرد. فرآیند سنتز احتراقی برای ساخت سرمت‌های زمینه آلمینا و فازهای فلزی کروم، آهن و نیکل بیشتر مورد توجه قرار گرفته است. انتخاب روش ساخت سرمت بستگی به هزینه‌های مربوط به مواد اولیه و فرآیند، سهولت یا پیچیدگی فرآیند و تعداد مراحل آن دارد. در فرآیند سنتز احتراقی چون از مواد اولیه ارزان تر و در ثانی از گرمایشی فعل و افعالات شکل گیری اکسید آلمینیم استفاده می‌گردد و دمای پایین‌تری برای پخت و زینترینگ سرمت مورد نیاز است مورد توجه می‌باشد. به عنوان مثال برای مخلوط آلمینیم و اکسید کروم به ازای واکنش هر دو

مول آلمینیم و یک مول اکسید کروم ۵۳۵ کیلوژول گرما آزاد می‌شود:



$$\Delta H = -535\text{KJ}$$

فاز فلزی کروم و آلمینا ضریب انبساط نزدیک به هم داشته ( $6 \times 10^{-6}$  برای آلمینا و  $2 \times 10^{-6}$  برای کرم). از طرفی اکسیدهای آلمینیم و کروم ساختار کریستالی مشابهی داشته و در نتیجه قابلیت اتحال خوبی در یکدیگر دارند (دارای حلالیت متقابل کامل در حالت مذاب و جامد در تمام نسبت‌ها می‌باشند- دیاگرام تعادلی اتحال کامل در حالت مذاب و جامد). این موارد باعث شده تا یک اتصال خوبی بین فاز فلزی و فاز محلول اکسیدها برقرار شده و مقاومت به اکسیداسیون، سختی و همینطور خواص مکانیکی و پایداری شیمیایی خوبی برای سرمت حاصل شود. بطوریکه به عنوان قطعات سازه‌ای در موتورهای جت، ابزارها، مبدل‌های حرارتی و غیره مطرح می‌باشند. اما با وجود این سرمت مقاومت به شوک حرارتی و تافنس پایینی دارد. هدف از این تحقیق ایجاد یک ترکیب فازی مناسب ( $\text{Cr}_2\text{O}_3\text{Al}_2\text{O}_3$ , Cr) با خواص بهینه از طریق کنترل زمان آسیاکاری، نسبت مخلوط مواد اولیه یعنی آلمینیم، اکسید کروم و آلمینا و شرایط عملیات حرارتی در فرآیند سنتز احتراقی می‌باشد.

## ۲- مواد و روش انجام آزمایشات

از پودر آلمینیم، اکسید کروم و اکسید آلمینیم با آنالیز و ویژگی‌های داده شده در جدول ۱ به عنوان مواد اولیه مورد استفاده قرار گرفت.

**جدول ۱- مشخصات و ویژگی‌های انواع پودرهای مورد استفاده به عنوان مواد اولیه**

نوع پودر	اندازه متوسط ذرات ( $\mu\text{m}$ )	درصد خلوص	دانسیته	۴/۵	٪۹۹	$\leq 300$	اکسید کروم
اکسید آلمینیم		$\leq 63$		۳/۹۷	٪۹۹		
آلومینیم		$\leq 315$		۲/۷	٪۹۹		

برای رسیدن به سرمتهای با میزان مختلف کرم  $14/54$ ،  $22$ ،  $14/54$  و  $28/5$  و  $36\%$  نسبت‌های مختلفی از سه جزء  $\text{Al}$ ,  $\text{Cr}_2\text{O}_3\text{Al}_2\text{O}_3$  مطابق واکنش زیر با هم مخلوط شدند (جدول ۲).

**جدول ۲- نسبت وزنی آلمینیم، آلمینا و اکسید کرم در انواع مخلوط‌های پودری مورد استفاده**

درصد حجمی Cr در سرمت	درصد وزنی Cr در سرمت	%wt $\text{Cr}_2\text{O}_3$ در مخلوط اولیه	%wt $\text{Al}_2\text{O}_3$ در مخلوط اولیه	%wt Al در مخلوط اولیه	مقدار x
۳۶	۵۰	۷۳/۷۸	.	۲۶/۲۲	۱
۲۸/۵	۴۱/۷	۶۰/۸۶	۱۷/۵	۲۱/۶۲	۰/۷
۲۲	۳۳	۴۹/۳۵	۳۳/۱۱	۱۷/۵۳	۰/۵
۱۴/۵	۲۳	۳۴/۲۳	۵۳/۶	۱۲/۱۶	۰/۳



به عنوان مثال برای  $x = 0/3$  داریم:



با در نظر گرفتن جرم مولی اجزاء واکنش، ۱۵۲، ۵۲، ۲۷ و ۱۰۲ به ترتیب برای اکسید کرم، کروم، آلومینیم و آلومینا، مخلوط پودری اولیه دارای نسبت جرمی  $16/2$  گرم آلومینیم +  $45/6$  گرم اکسید کروم +  $71/4$  گرم آلومینا خواهد بود که بعد از واکنش به میزان  $31/2$  گرم کروم می‌دهد که با توجه به میزان کلی مخلوط یعنی  $133/2$  گرم سرمت  $Al_2O_3-23\%wtCr$  یا با توجه به دانسیته اجزاء،  $3/97$  و  $7/19$  گرم بر سانتی‌متر مکعب به ترتیب برای آلومینا و کروم سرمت  $Al_2O_3-14.5\%volCr$  حاصل می‌شود.

برای تهیه یک مخلوط همگن از پودرهای فوق از یک آسیاب سریع<sup>۱</sup> استفاده گردید. برای اثر زمان آسیاکاری بر روی دمای شروع فعل و انفعالات در مرحله پخت نمونه‌ها آسیا کاری در زمان‌های مختلف از ۵ دقیقه تا ۴ ساعت انجام گرفت. نسبت وزنی گلوله به پودر ۲۰ به ۱ یا نسبت حجمی  $2/2$  و قطر گلوله‌ها mm ۳ در نظر گرفته شد. برای ایجاد استحکام خام کافی برای نمونه‌های پرس شده از کربوکسی متیل سلولز<sup>۲</sup> به عنوان چسب یا بایندر استفاده گردید. بطوریکه محلول  $10\%$  کربوکسی متیل سلولز به میزان  $5\%$  حجمی به مخلوط پودری اولیه اضافه و به مدت حداقل ۲۴ ساعت پیرسازی شد. با سرند نمودن دانه بندی مورد نظر حاصل می‌شود. مخلوط پودری مورد پرس سرد با فشار  $100MPa$  قرار گرفته تا نمونه‌های استوانه‌ای به ابعاد mm ۵۰ در قطر و ۷mm در ارتفاع حاصل شود. نمونه‌های پرس شده در یک بوته گرافیتی با لایه‌های محافظ از بستر پودر کک و سپس آلومینا جهت جلوگیری از اکسیداسیون کروم در یک اتمسفر معمولی در دماهای مختلف پخت شدند.

نمونه‌هایی از مخلوط پودری با ترکیب مختلف قبل و بعد از آسیا کاری مورد مطالعات آنالیز حرارتی افتراقی (DTA:STA504)<sup>۳</sup> و وزن سنجی حرارتی<sup>۴</sup> قرار گرفتند تا دمای شروع و پایان فعل و انفعالات برآورد شود و در ضمن تاثیر زمان آسیاکاری بر دمای فوق مشخص شود. نمونه‌های سرمت قبل و بعد از زینتر شدن مورد اندازه‌گیری دانسیته با روش ارشمیدس قرار گرفتند. برای نمونه‌های آسیاکاری شده در زمان‌های مختلف و نمونه‌های زینتر شده در شرایط مختلف آنالیز XRD<sup>۵</sup> (مدل Philips 1500D) انجام گرفت. سختی نمونه‌های سرمت با استفاده از روش ویکرز (F=10 Kg, سرعت اعمال نیرو  $10N/Sec$  و زمان اعمال ۳۰ ثانیه)، استحکام خمی و تافنس با استفاده از تست خمش سه نقطه‌ای با فاصله تکیه گاهی ۳۵mm روی نمونه‌های سرمت به ابعاد  $4 \times 3 \times 50mm^3$  که سطوح بزرگ کششی و فشاری آنها تا یک میکرون پولیش شده و لبه و گوشه‌های آن را کورد خورده‌اند اندازه‌گیری گردید. جهت مطالعه ریزساختاری نمونه‌های زینتر شده بعداز اج شیمیایی (Hf 10%, 30 Sec) و ایجاد پوشش رسانای طلا مورد مشاهدات میکروسکوپ الکترونی<sup>۶</sup> مدل Camscan MV2300 قرار گرفت.

<sup>1</sup> Fast mill

<sup>2</sup> Carboxy Methyl cellulose

<sup>3</sup> Differential thermal analysis

<sup>4</sup> Thermal Gravity Analysis

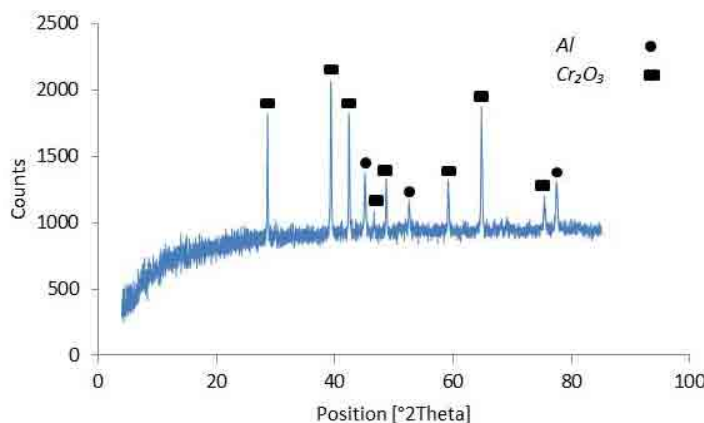
<sup>5</sup> X-ray-Diffraction

<sup>6</sup> Scanning Electron Microscope

### ۳- نتایج و بحث

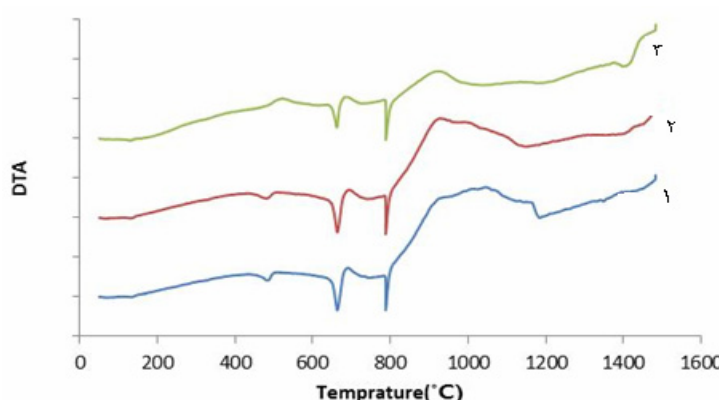
#### ۱-۳ آسیاکاری

نمونه‌های پودری با  $x$  های مختلف در واکنش ترمیت مورد آسیاکاری در زمان‌های مختلف از  $4/5$  الی  $4/0$  ساعت قرار گرفتند. برای پودر با  $x=1$  نتایج XRD نشان می‌دهد که آسیاکاری تا ۲ ساعت هیچ گونه تغییر فازی مشاهده نشده و به عبارتی هیچ گونه فعل و انفعالی بین آلومینیم و اکسید کروم رخ نمی‌دهد و فقط مخلوط شدن و فعالسازی پودر انجام می‌گیرد (شکل ۱).

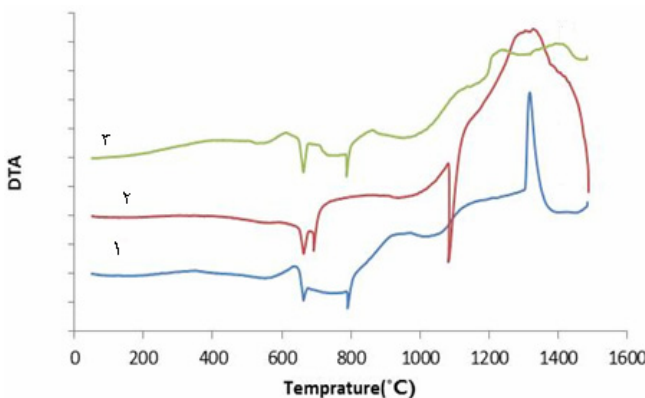


شکل ۱- الگوی تفرق اشعه X برای مخلوط پودری  $x=1$  با یک ساعت آسیاکاری

به همین دلیل منحنی DTA برای این نمونه به طور قوی یک پیک گرماییر مربوط به ذوب آلومینیم در  $660^{\circ}\text{C}$  را نشان می‌دهد و پیک‌های گرمایزا مربوط به واکنش ترمیت در حدود  $1100^{\circ}\text{C}$  مشاهده می‌شود (شکل ۲-۱). با افزایش زمان آسیاکاری پیک گرماییر ذوب آلومینیم به تدریج شدت آن کاهش یافته، دما و شدت پیک گرمایزا نیز کاهش می‌یابد. (شکل ۲-۲) که بیانگر افزایش میزان فعل و انفعالات در ضمن آسیاکاری با افزایش زمان آسیاکاری می‌باشد. از طرفی با افزایش زمان آسیاکاری اکتیویته پودر افزایش یافته و در نتیجه منحنی‌های DTA دمای پایین تری برای شروع واکنش ترمیت را نشان می‌دهد [۱۸]. بطوریکه برای نمونه با  $4/5$  ساعت آسیاکاری دمای شروع واکنش بین  $550^{\circ}\text{C}$  الی  $600^{\circ}\text{C}$  می‌باشد.

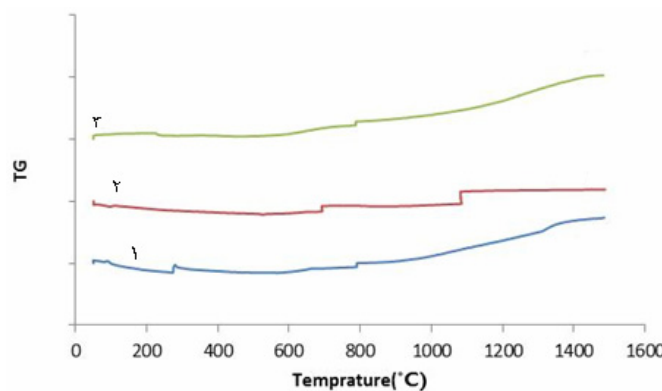


شکل ۲- منحنی‌های DTA برای مخلوط پودری  $x=1/0$  در زمان‌های مختلف،  
(۱) ۴/۵ ساعت، (۲) ۳/۴ ساعت و (۳) ۲ ساعت آسیاکاری



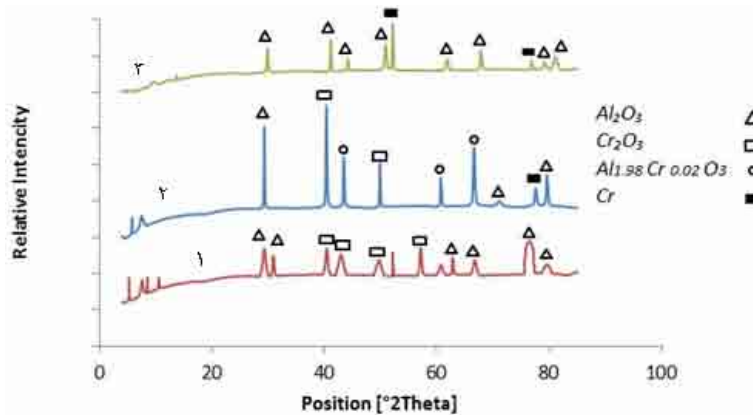
شکل ۳- منحنی های DTA برای ترکیبات مختلف،  $1) x=0.3$ ،  $2) x=0.5$ ،  $3) x=0.7$  با دو ساعت آسیاکاری

شکل ۳ منحنی های DTA برای ترکیبات مختلف از  $x=0/3$  تا  $x=0/7$  ساعت آسیاکاری را نشان می دهد. مطابق آن برای نمونه های با  $x$  بالاتر به دلیل حضور بیشتر آلومینیم شدت پیک های مربوط به ذوب آلومینیم و واکنش گرمایشی ترمیت افزایش می یابد. وجود شیب مثبت برای مواد آسیاکاری شده در ابتدا  $200-400^{\circ}\text{C}$  می تواند ناشی از سوختن ناخالصی های وارد از جداره پلی اتیلنی طرف آسیا باشد. وجود پیک گرماییر در حدود  $800^{\circ}\text{C}$  و  $1100^{\circ}\text{C}$  می تواند مربوط به تغییر فازی  $\gamma-\text{Al}_2\text{O}_3$  به  $\alpha-\text{Al}_2\text{O}_3$  یا تشکیل اسپینل باشد [۳] و اضافه وزن مشاهده شده در این دما (شکل ۴) می تواند به دلیل افزایش نفوذ اکسیژن و اکسیداسیون بیشتر آلومینیم در جهت تشکیل اسپینل باشد [۹]. به محض ذوب آلومینیم شیب افزایش وزن مشاهده می شود که می تواند به دلیل شدت گرفتن اکسایش آن بعد از تغییر حالت باشد. نتایج DTA در کل نشان می دهد که واکنش ترمیت در عمل بعد از ذوب آلومینیم شروع شده و با افزایش دما شدت می گیرد بطوریکه در حدود  $1350^{\circ}\text{C}$  یک اصلی ظاهر می شود. برای نسبت های  $x$  بالاتر اکسید آلومینیم اولیه کمتر بوده و درصد اکسید آلومینیم شکل گرفته بواسطه واکنش ترمیت بالاتر است به همین دلیل یک پیک قوی مربوط به تغییرات فازی این نوع اکسید در  $1100^{\circ}\text{C}$  برای  $x=0/5$  ظاهر می شود. اما برای  $x=0/7$  به دلیل افزایش شدت فعل و انفعالات مربوط به واکنش ترمیت این پیک ظاهر نمی شود. افزایش تدریجی وزن با افزایش دما می تواند مربوط به اکسیداسیون جزئی آلومینیم در ابتدا و کروم در مراحل بعدی باشد (شکل ۴). با مقایسه شکل های ۱-۴ و ۳-۴ به خوبی مشخص می شود که با افزایش  $x$  روند افزایشی وزن نمونه ها با دما شدت می گیرد.



شکل ۴- منحنی های TG برای ترکیبات مختلف،  $1) x=0.3$ ،  $2) x=0.5$ ،  $3) x=0.7$  با دو ساعت آسیاکاری

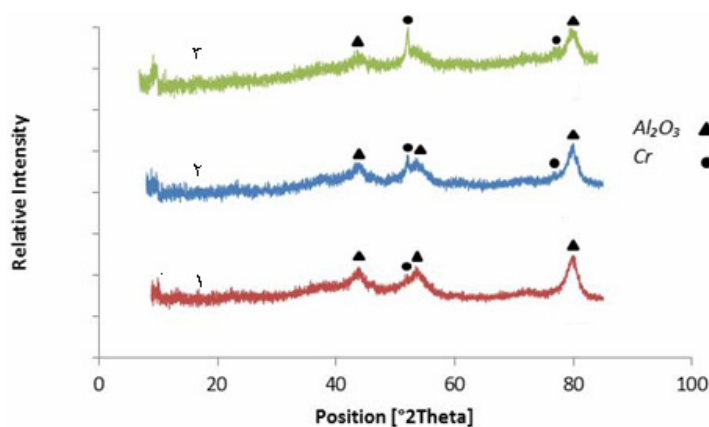
## ۲-۳- مرحله زینتر

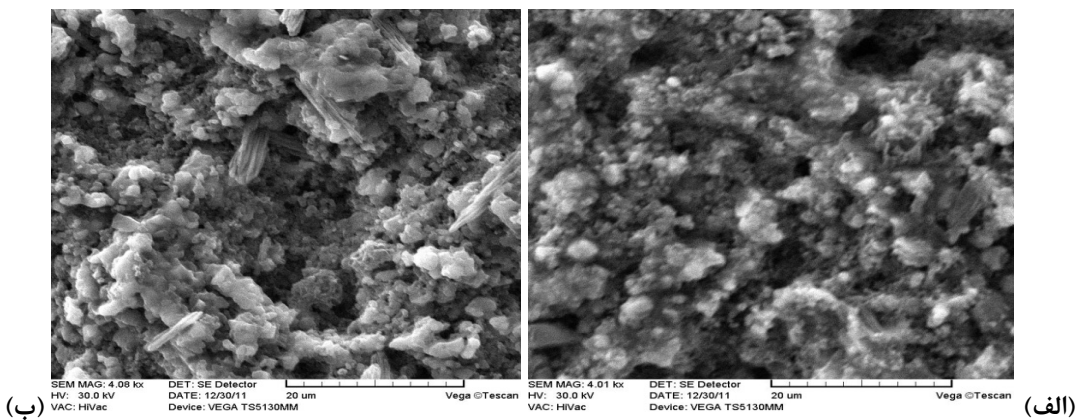


شکل ۵- الگوی تفرق اشعه X برای نمونه‌های زینتر شده در

(۱) اتمسفر هوا بدون لایه محافظ، (۲) اتمسفر هوا با لایه محافظ، (۳) اتمسفر آرگون

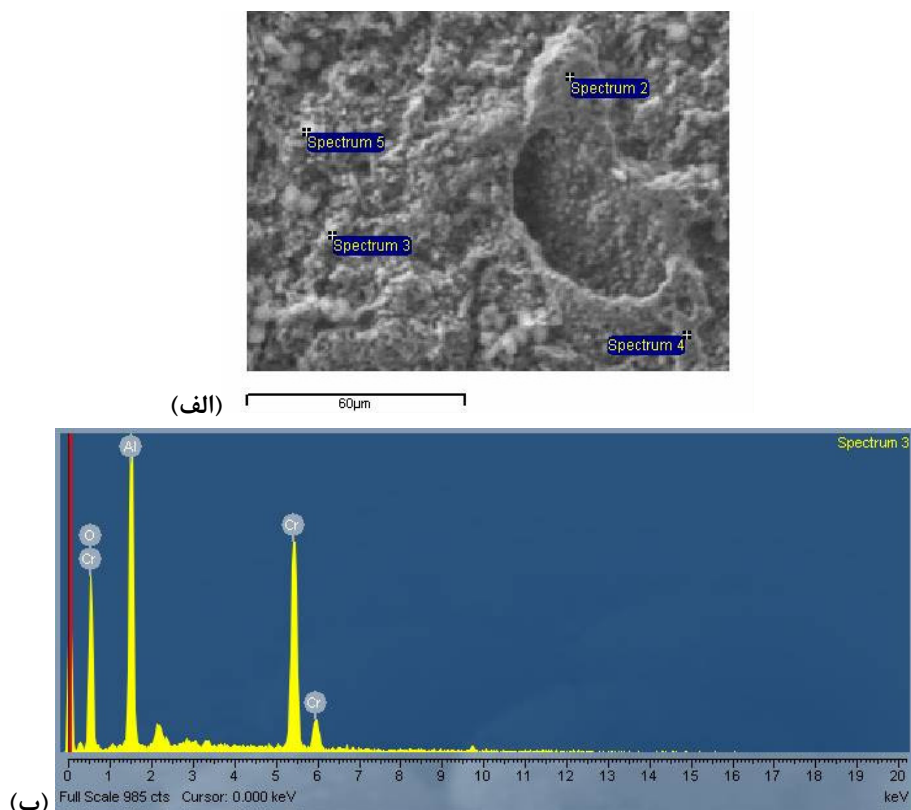
تمامی نمونه‌های آسیاکاری شده در زمان‌های مختلف و یا با نسبت‌های مختلف از X مورد عملیات پخت در دماهای مختلف از  $1400^{\circ}\text{C}$ - $1600^{\circ}\text{C}$ ، در زمان ثابت  $1/5$  ساعت و در شرایط اتمسفری ۱- اتمسفر هوا با لایه محافظ -۲- اتمسفر هوا بدون لایه محافظ و ۳- در اتمسفر خشی قرار گرفتند. نتایج مطالعات XRD بر روی نمونه‌های پخت شده صرف نظر از دمای پخت و نسبت X نشان می‌دهد که فاز نهایی برای نمونه پخت شده در اتمسفر معمولی و بدون لایه محافظ آلومینا، اکسید کروم بوده (شکل ۱-۵) در حالیکه برای نمونه‌های پخت شده در اتمسفر هوا و با لایه‌های محافظ علاوه بر فارهای فوق پیک‌های ضعیفی از کروم نیز مشاهده می‌شود، لازم به ذکر است مقدار قابل توجهی از کروم وارد شبکه  $\text{Al}_2\text{O}_3$  شده و یک محلول جامد اسپینلی کروم در  $\text{Al}_2\text{O}_3$  ایجاد می‌کند به همین دلیل اکثیریت پیک‌های آلومینا بشكل  $\text{Al}_{1.98}\text{Cr}_{0.02}\text{O}_3$  ظاهر می‌شود (شکل ۲-۵). در اتمسفر خشی (آرگون) پیکی از اکسید کروم مشاهده نشده و پیک‌های قوی از کروم را داریم (شکل ۳-۵). نتایج فوق نشان دهنده اکسید شدن مجدد کروم پس از احیاء شدن اکسید کروم بوسیله آلومینیم در واکنش ترمیت برای اتمسفر هوا و حتی با لایه محافظ می‌باشد.

شکل ۶- الگوی تفرق اشعه X برای سرمتهای  $\text{Al}_2\text{O}_3\text{-Cr}$  زینتر شده در  $1550^{\circ}\text{C}$ در اتمسفر آرگون برای نسبت‌های مختلف (۱)  $x=0.3$  (۲)  $x=0.5$  (۳)  $x=0.7$



شکل ۷- تصویر SEM سرمت  $\text{Al}_2\text{O}_3\text{-Cr}$  زینتر شده در دمای  $1550^\circ\text{C}$  و اتمسفر معمولی با لایه محافظ با نسبت  $x=0/5$  (الف) و  $x=0/3$  (ب)

در ضمن برای نمونه‌های زینتر شده در اتمسفر آرگون و دمای  $1550^\circ\text{C}$  درجه سانتی‌گراد با افزایش نسبت  $x$  شدت پیک کروم افزایش می‌یابد (شکل ۶). مطابق شکل ۷ که تصاویر SEM برای سرمت‌های زینتر شده در دمای  $1550^\circ\text{C}$  و اتمسفر معمولی با لایه محافظ را نشان می‌دهد برای  $x=0/5$  فازهای سوزنی شکل کروم به خوبی مشاهده شده (شکل ۸ ب) اما برای  $x=0/3$  چنین کریستال‌های سوزنی شکل مشاهده نمی‌شود و این نتایج مطابقت خوبی با نتایج XRD در شکل ۶ دارد.



شکل ۸- الف: تصویر SEM و  
ب: آنالیز EDS برای نمونه سرمت با نسبت  $x=0/5$  زینتر شده در  $1500^\circ\text{C}$ ، اتمسفر با لایه محافظ

آنالیز EDX نیز تایید کننده شکل گیری فاز اسپینل در اکثریت نقاط می‌باشد بطوریکه آنالیز انجام گرفته در نقاط مختلف ترکیبی از عناصر آلومینیم، کرم و اکسیژن را نشان داده و می‌تواند دلیلی بر انحلال فاز کروم در فاز اسپینلی از اکسید آلومینیم و اکسید کروم باشد (شکل ۸ الف-ب و جدول ۳) همانطور که در مراجع دیگر به آن اشاره شده است [۱۲]. در ضمن نقاط روشن تر درصد کروم با لاتری از خود نشان می‌دهد.

جدول ۳- آنالیز EDX برای نقاط مشخص شده بر روی شکل ۶ الف

%Fe	%Si	%Ca	%Na	%Al	%Cr	%O	موقعیت
-	-	-	-	۳۰/۱	۳۰/۶	۳۹/۲	۲
۰/۳	۱/۳۰	-	۱/۷	۲۵/۹	۳۹/۵	۳۱/۴	۳
-	-	-	۰/۹	۳۱/۵	۲۵/۵	۴۲/۲	۴
-	-	-	-	۲۴/۰۳	۴۴/۵	۳۱/۴	۵

جدول ۴ نشان می‌دهد که با افزایش  $x$  دانسیته نسبی و استحکام نمونه‌های پخت شده تا  $x=0/5$  افزایش یافته و برای مقادیر بالاتر از آن کاهش می‌یابد. بطوریکه استحکام نمونه‌های سرمت با افزایش نسبت  $x$  تا  $x=0/5$  افزایش یافته و از  $260\text{ MPa}$  برای آلومینا به  $345\text{ MPa}$  برای نسبت  $x=0/5$  می‌رسد. کاهش خواص برای  $x$  های بالاتر از  $x=0/5$  می‌تواند به دلیل افزایش ریزترک‌ها و تخلخل‌های باقیمانده بواسطه افزایش درصد فاز کرم در سرمت که اختلاف مهمی برای دانسیته آن در دمای محیط و در نقطه ذوب به ترتیب  $7/6$  و  $6/3$  گرم بر سانتی‌متر مکعب وجود دارد باشد. بطوریکه با افزایش کروم در سرمت این اختلاف دانسیته باعث شده تا در ضمن سرد شدن میزان انقباض قابل توجهی در نمونه رخ دهد که نتیجه آن ایجاد ریزترک‌ها در نمونه باشد. از طرفی با افزایش نسبت  $x$  شدت انجام واکنش ترمیت افزایش یافته و افزایش دمای موضعی در سرمت را خواهیم داشت بطوریکه ذوب احتمالی کروم را داشته که به دلیل عدم ترشوندگی آن با فاز آلومینا یک حالت جمع شدگی و ایجاد دانه‌های درشت کروم بعد از انجامد را داریم [۲] که نتیجه آن ایجاد یک فصل مشترک ضعیف و کم فشرده و متخلخل و کاهش دانسیته سرمت می‌باشد. در ضمن با افزایش نسبت  $x$  اختلاف حجم مولی واکنش گرها ( $\text{Al} + \text{Al}_2\text{O}_3 + \text{Cr}_2\text{O}_3$ ) و محصولات واکنش اکسیداسیون و احیاء ( $\text{Al}_2\text{O}_3 + \text{Cr}$ ) افزایش می‌یابد و چون در  $x$  بالا شدت واکنش ترمیت نیز بالا می‌باشد اختلاف حجمی ناگهانی ایجاد شده برای نمونه سرمت قابل تحمل نمی‌باشد ( $\Delta V = -13/55$ ).).

جدول ۴- مقادیر خواص فیزیکی و مکانیکی انواع سرمت‌ها تهیه شده

به روش زینترینگ معمولی در بستره از لایه محافظ در دمای  $1500^{\circ}\text{C}$ 

نسبت $x$	درصد دانسیته نسبی	سختی (GPa)	استحکام (GPa)	تافنس (MPa)	(MPa.m $^{1/2}$ )
۰	۸۲/۵	۱۲/۸	۲۶۰	۲/۸	
۰/۳	۸۳/۷	۸/۷۸	۳۰۵	۳/۶	
۰/۵	۸۵/۶	۷/۴۵	۳۴۵	۴/۲	
۰/۷	۸۴/۳	۵/۵	۳۱۵	۴/۸۵	
۱	۸۳/۳	۲/۶	۱۵۰	۲/۵	

علاوه بر این اختلاف ضریب انبساط حرارتی قابل توجه بین فاز فلزی و فاز سرامیکی می‌تواند منشاء تشکیل ریزترک‌ها باشد. به طوریکه با افزایش نسبت  $x$  (افزایش میزان فاز کروم) انقباض فاز فلزی در ضمن سرد شدن نمونه از دمای زینترینگ افزایش یافته که باعث بروز تنفس‌های کششی در فصل مشترک می‌باشد. چنانکه برای نمونه‌های پخت شده با نسبت  $x=0.7$  و  $x=1$  ترک خوردگی ماکروسکوپی بخوبی در نمونه‌ها مشاهده می‌شود (شکل ۹).



شکل ۹- تصویر نمونه زینتر شده در  $1550^{\circ}\text{C}$  در دمای  $x=1$

جدول ۵ تغییرات خواص فیزیکی و مکانیکی برای نمونه‌های سرمت پخت شده در اتمسفر هوا با لایه محافظت شد بر حسب دمای پخت را نشان می‌دهد. مطابق جدول فوق با افزایش دمای پخت تا  $1500^{\circ}\text{C}$  دانسیته نسبی و استحکام نمونه‌های سرمت افزایش یافته که می‌تواند به دلیل افزایش انحلال اکسید کروم در فاز اکسید آلمینیم و تشکیل فاز اسپینل (شکل ۵) در مرز بین فازهای دو اکسید و در فصل مشترک دو اکسید با فاز کروم باشد که اتصال قوی‌تر، فشرده‌تر و با تخلخل کمتر را موجب می‌شود.

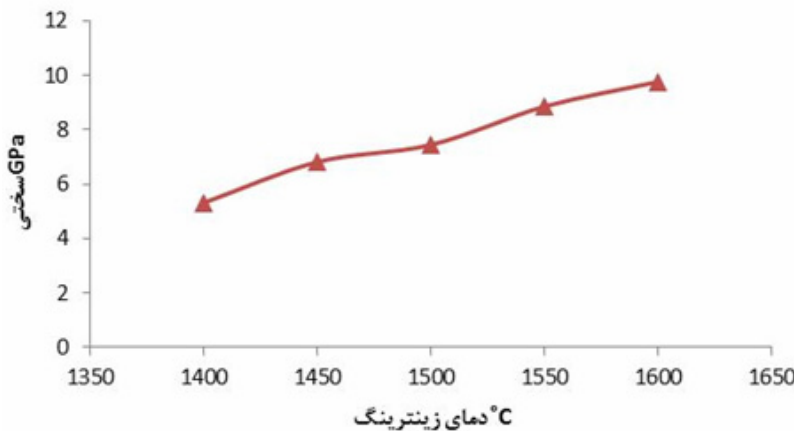
جدول ۵- مقادیر خواص فیزیکی و مکانیکی سرمت‌های تهیه شده از مخلوط اولیه با نسبت  $x=0.5$

به روش زینترینگ معمولی در بستره از لایه محافظ در شرایط مختلف دمایی

دمازینتر $^{\circ}\text{C}$	درصد دانسیته نسبی	سختی (GPa)	استحکام (MPa)	(MPa.m $^{1/2}$ ) تافنس
۱۴۰۰	۷۹/۵	۵/۳۲	۲۲۳	۳/۵
۱۴۵۰	۸۲/۲	۶/۸۲	۲۹۳	۳/۹
۱۵۰۰	۸۵/۶	۷/۴۵	۳۴۵	۴/۲
۱۵۵۰	۸۲/۷	۸/۸۶	۳۳۰	۴/۵۶
۱۶۰۰	۷۸/۳	۹/۷۷	۲۹۰	۳/۶

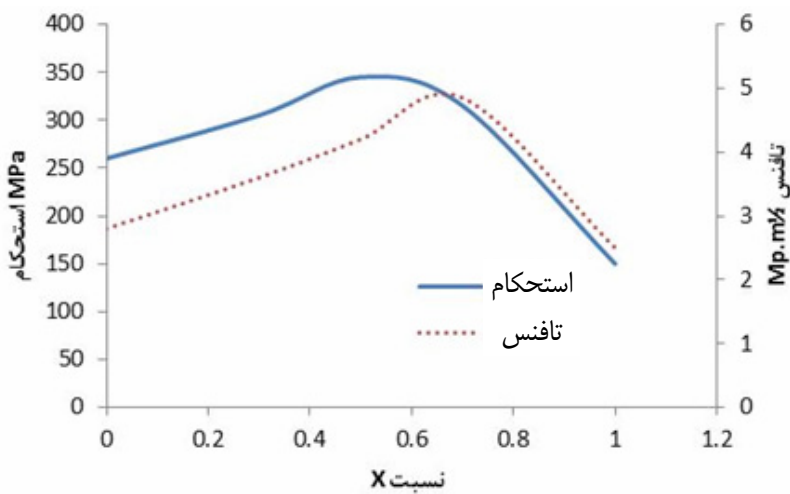
دلیل اصلی برای کاهش خواص فوق در بالاتر از دمای  $1500^{\circ}\text{C}$  می‌تواند مربوط به افزایش درجه اکسیداسیون کروم (دانسیته اکسید کروم کمتر از کروم می‌باشد) و شکل گیری یک ساختار دانه درشت‌تر باشد [۸] که افزایش تردی نمونه‌های سرمت را به دنبال دارد. با افزایش نسبت  $x$  برای نمونه‌های سرمت پخت شده در دمای ثابت  $1500^{\circ}\text{C}$  سختی نمونه معمولاً کاهش می‌یابد (جدول ۴) بطوریکه از  $12/8\text{GPa}$  برای آلمینا به  $2/6\text{GPa}$  برای سرمت  $\text{Al}_2\text{O}_3-36\%\text{vol.Cr}$  می‌رسد. دلیل اصلی افزایش حضور فاز

فلزی می‌باشد. با وجود این سرمتهای  $\text{Al}_2\text{O}_3\text{-Cr}$  در مقایسه با سرمتهای از گروه  $\text{Al}_2\text{O}_3\text{-Fe}$  با درصد فلزی مشابه دارای سختی بالاتر می‌باشند [۱۶] که می‌تواند به دلیل وجود فاز اسپینل در فصل مشترک  $\text{Al}_2\text{O}_3\text{-Cr}$  و ایجاد پیوندهای قوی‌تر این نوع سرمت باشد. لازم به ذکر است که دو اکسید کروم و آلومنیا ساختار کریستالی مشابهی داشته و قابلیت اتحال خوبی در یکدیگر دارند. همواره با افزایش دما پخت سختی سرمت افزایش می‌یابد و شدت این افزایش در دماهای بالاتر (جدول ۵) که می‌تواند به دلیل شکل گیری فاز اسپینل یا اکسیدی و کاهش فاز فلزی در بالاتر از دما  $1500^{\circ}\text{C}$  باشد (شکل ۱۰).

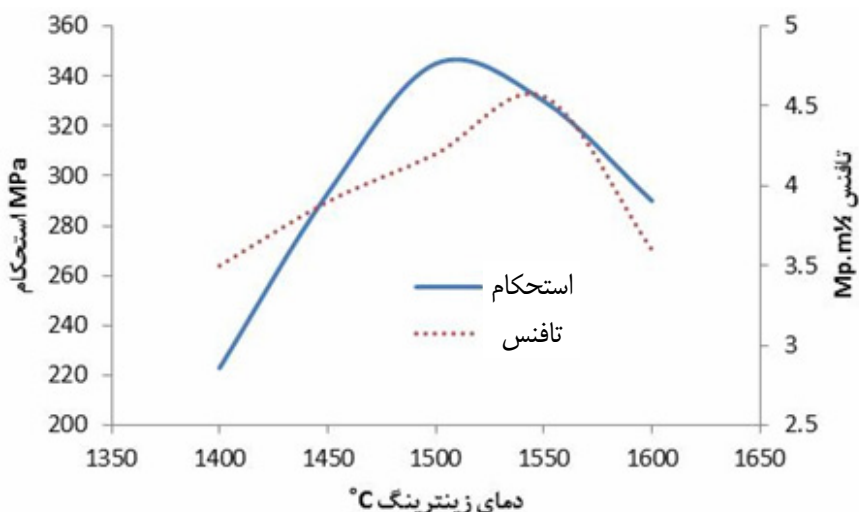


شکل ۱۰ - اثر دما بر سختی در سرمت  $\text{Al}_2\text{O}_3\text{-Cr}$  با نسبت  $x=0/5$

با افزایش درصد فاز فلزی یعنی افزایش  $x$  تافنس سرمت افزایش می‌یابد و از  $2/8$  برای آلومنیای منویتیک به  $4/85 \text{ MPa m}^{1/2}$  برای سرمت  $x=0/7$  می‌رسد (شکل ۱۱). در حقیقت وجود فاز فلزی مکانیزم‌های مقاومت به رشد ترک در فصل مشترک چون تغییر فرم پلاستیک را فعال می‌نماید. برای مقادیر بالاتر از  $7/0$  برای  $x$  به دلیل افزایش ریزترک‌ها و بهم رسیدن آنها و شکل گیری ترک‌های بزرگ‌تر تافنس کاهش می‌یابد. با افزایش دما زینترینگ تا دما  $1550^{\circ}\text{C}$  تافنس افزایش و بعد از آن کاهش می‌یابد (شکل ۱۲) که می‌تواند به دلیل کاهش درجه فلزی سرمت و سرامیکی شدن آن بواسطه اکسیداسیون کروم باشد.



شکل ۱۱ - اثر افزایش نسبت  $x$  بر روی تافنس و استحکام نمونه‌های سرمت  $\text{Al}_2\text{O}_3\text{-Cr}$  زینتر شده در دما  $1500^{\circ}\text{C}$



شکل ۱۲- اثر دما بر روی تافنس و استحکام نمونه‌های سرمت  $\text{Al}_2\text{O}_3\text{-Cr}$  با نسبت  $x=0.5$

با مقایسه خواص نمونه‌های سرمت ( $X=0.5$ ) پخت شده در دمای  $1500^\circ\text{C}$  اما در اتمسفرهای مختلف (جدول ۶) مشاهده می‌شود که در اتمسفر آرگون بالاترین دانسیته را داریم که البته نمی‌تواند به دلیل افزایش قابلیت زیترینگ در این اتمسفر باشد بلکه بیشتر مربوط به حضور بالاتر کروم به دلیل عدم اکسیداسیون آن در این شرایط باشد. بالاتر بودن درصد فاز فلزی در نمونه پخت شده در اتمسفر آرگون زمینه ساز بالاتر بودن استحکام و تافنس و پایین‌تر بودن مقدار سختی آن می‌باشد.

جدول ۶- مقادیر خواص فیزیکی و مکانیکی سرمت‌های تهیه شده از مخلوط اولیه با نسبت  $x=0.5$

به روش زینترینگ معمولی در دمای  $1500^\circ\text{C}$  و اتمسفرهای مختلف

نوع اتمسفر	درصد دانسیته نسبی	سختی (GPa)	استحکام (GPa)	تافنس ( $\text{MPa}^{\frac{1}{2}}$ )
اکسیدی	۸۳/۹	۷/۹۵	۲۷۸	۳/۲
اکسیدی + لایه محافظ	۸۵/۶	۷/۴۵	۳۴۵	۴/۲
آرگون	۹۸/۲	۶/۵۳	۳۵۷	۵/۵

#### ۴- نتیجه‌گیری

- برای یک  $x$  معین با افزایش زمان آسیا کاری تا ۲ ساعت هیچگونه فعل و انفعالی مربوط به واکنش ترمیت مشاهده نمی‌شود اما در بالاتر از ۲ ساعت شدت پیک‌های گرمایی ذوب آلومینیم و همینطور شدت پیک‌های گرمایی کاهش می‌یابد و دمای پیک اصلی گرمایی از  $1100$  تا  $550$  کاهش می‌یابد که گویای فعال شدن پودر در ضمن آسیا کاری می‌باشد.

- با افزایش نسبت  $x$  در مخلوط اولیه  $(3x\text{Al}_2\text{O}_3)(1-x)\text{Cr}_2\text{O}_3$  و کاهش درصد  $\text{Al}_2\text{O}_3$  اضافی در مخلوط اولیه تا  $x=0.5$  دانسیته، استحکام تا  $x=0.5$  تافنس نمونه‌های زینتر شده افزایش یافته اما همواره سختی کاهش می‌یابد.

- برای مخلوط با  $x=0.5$  با افزایش دمای پخت سختی همواره افزایش یافته و این افزایش در دماهای بالاتر محسوس‌تر است. با افزایش دما تا  $1500^\circ\text{C}$  دانسیته و استحکام و با افزایش دما تا  $1550^\circ\text{C}$  درجه سانتی‌گراد تافنس افزایش و بعد از آن کاهش

- می‌یابد که می‌تواند به دلیل اکسیداسیون کروم افزایش تخلخل و درشت شدن ریز ساختار باشد.
- مقایسه نتایج عملیات حرارتی در اتمسفرهای مختلف معمولی با لایه محافظ و آرگون نشان می‌دهد که در اتمسفر آرگون کمترین اکسیداسیون را داشته و به همین دلیل بالاترین دانسیته و خواص مکانیکی بدست می‌آید.
  - مشاهدات میکروسکوپی نشان می‌دهد که برای  $\text{Al}_2\text{O}_3\text{-Cr}$  در اتمسفر نرمال تراکم ریز ساختاری بالاتری وجود دارد که می‌تواند به دلیل قابلیت زیترینگ واکنشی در اتمسفر هوا می‌باشد.
  - برای سرمتهای با نسبت  $\times$  بالا مشاهدات میکروسکوپی بخوبی فازهای سوزنی شکل کروم را نشان می‌دهند.
  - نتایج XRD و آنالیز EDX بخوبی تأیید کننده شکل گیری فاز اسپینل و انحلال کروم در فاز  $\text{Al}_2\text{O}_3$  و همینطور شکل گیری اسپینل بین دو فاز  $\text{Al}_2\text{O}_3$  و  $\text{Cr}_2\text{O}_3$  می‌باشد و فاز اسپینل بطور یکنواخت در زیر ساختار سرمت پراکنده می‌باشد.

## مراجع

1. K. Katarzyna, C. M. Michal and J. K. C. Krzysztof, "Studies of the effect of metal particles on the fracture toughness of ceramic matrix composites", Materials Characterization, Vol. 51, pp.335-340, 2003
2. J. L. Guichard, O. Tillement and A. Mocellin, "Alumina-Chromium Cermets by Hot-Pressing of Nanocomposite Powders", Journal of the European Ceramic Society, Vol. 18, pp. 1743- 1752, 1998.
3. Z. Xiaochun, S. Guoxiong and Z. Shuge, "Combustion synthesis of  $\text{Al}_2\text{O}_3\text{-(Cr}_2\text{O}_3\text{-Cr cermets}$ ", Scripta mater, Vol. 42, pp. 1167–1172, 2000.
4. J. L. Guichard, A. Mocellin, M. O. Simonnot, J. F. Remy and M. Sardin, "Surface of mechanosynthesized  $\text{Al}_2\text{O}_3\text{-Cr}$  nanocomposite powders", Powder Technology, Vol. 99, pp.257-263, 1998.
5. W. Witold, B. Michał, C. Marcin and P. Katarzyna, "Modeling of thermally induced damage in the processing of Cr-Al<sub>2</sub>O<sub>3</sub> composites", Composites, Part B, (2011).
6. M. Chmielewski and K. Pietrzak, "Processing, microstructure and mechanical properties of Al<sub>2</sub>O<sub>3</sub>-Cr nano-composites", Journal of the European Ceramic Society, Vol. 27, pp .1273–1279, 2007.
7. Y. Ji and J. A. Yeomans, "Processing and mechanical properties of Al<sub>2</sub>O<sub>3</sub>-5 Vol.% Cr nanocomposites", Journal of the European Ceramic Society, Vol. 22, pp.1927–1936, 2002.
8. C. Chang, Y. Jianfeng, C. Congyang, Q. Guanjun, and B. C. honggao, "Porous nano- Al<sub>2</sub>O<sub>3</sub>/Fe-

- Cr–Ni composites fabricated by pressureless reactive sintering", Materials Chemistry and Physics, 2011.
9. H. L. N. Dickon, Z. Qing, Q. Caidong, W. H. Man and H. Yanrou, "Formation of aluminum/alumina ceramic matrix composite by oxidizing an Al-Si-Mg alloy", Journal of the European Ceramic Society, Vol. 21, pp.1049-1053, 2001.
10. G. H. Chang, G. Yeon and U. P. Jung, "Effect of microstructure on fracture behavior of  $\text{Al}_2\text{O}_3$  /Al composite by reactive metal penetration", Journal of Alloys and Compounds, Vol. 30 , pp.292–299, 2000.
11. K. Konopka and M. Szafran, "Fabrication of  $\text{Al}_2\text{O}_3$ -Al composites by infiltration method and their characteristic", Journal of Materials Processing Technology, Vol. 175, pp.266–270, (2006)
12. N. Nagendra, B. S. Rao and V. Jayaram" Microstructures and properties of  $\text{Al}_2\text{O}_3$ /Al-AlN composites by pressureless infiltration of Al-alloys", Materials Science and Engineering, Vol. A269, pp.26–37, 1999.
13. Y. Zhijian, T. Shunyan, Z. Xiaming and D. Chuanxian, "Microstructure and mechanical properties of  $\text{Al}_2\text{O}_3$ -Al composite coating deposited by plasma spraying", Applied Surface Science, Vol. 25, pp.1636-1643, 2008.
14. A. Sangghaleh, and M. Halali, "Effect of magnesium addition on the wetting of alumina by aluminum", Applied Surface Science, Vol. 255, pp.8202–8206, 2009.
15. A. Sangghaleh, and M. Halali, "An investigation on the wetting of polycrystalline alumina by aluminum", journal of materials processing technology, Vol. 197, pp.156–160, 2008.
16. S. Schicker, T. Erny, D. E. Garcia, R. Janssen and N. Claussen, "Microstructure and Mechanical Properties of Al-assisted Sintered Fe/ $\text{Al}_2\text{O}_3$  Cermets", Journal of the European Ceramic Society, Vol. 19, pp.2455-2463, 1999.
17. X. Devaux, "Nanocomposites a matrice ceramique: system alumina-metaux de transition (fer, chrome) et alumina-alliages (fer-chrome)", PhD. Thesis, universite paul Sabatier, Toulouse, France, 1991.
18. M. J.M as-Guindal, E. Benko and M. A. Rodriguez, "Nano-structured metastable cermets of Ti– $\text{Al}_2\text{O}_3$  through activated SHS reaction", Journal of Alloys and Compounds, Vol. 454, pp.352–358, 2008.

19. L. Guo-Jun, H. Xiao-Xian and G. Jing-Kun, "Fabrication, microstructure and mechanical properties of  $\text{Al}_2\text{O}_3/\text{Ni}$  nanocomposites by a chemical method", Materials Research Bulletin, Vol. 38, pp.1591–1600, 2003.
20. K. Konopka, J. J. Bucki, S. Gierlotka, W. Zielinski and K. J. Kurzynowski, "Characterization of the metal particles fraction in ceramic matrix composites fabricated under high pressure", Materials Characterization, Vol. 56, pp.394–398, 2006.
21. W. H. Tuan and R. J. Brook, "The toughening of alumina with nickel inclusion", J. Eur. Cera. Soc., Vol. 6, pp. 31-37, 1990.
22. W. H. Tuan, H. H. Wu, and T. J. Yang, "The preparation of  $\text{Al}_2\text{O}_3/\text{Ni}$  composites by a powder coating technique", J. Mat. Sci., Vol. 30, pp. 855-859, 1990.
23. A. Berghaus, A. Djahanbakhsh and L. K. Thomas, "Characterisation of CVD-tungsten-alumina cermets for high-temperature selective absorbers", Solar Energy Materials and Solar Cells, Vol. 54, pp.19-26, 1998.
24. P. Bhattacharya and K. Chattopadhyay, "Nano  $\text{Al}_2\text{O}_3\text{-Pb}$  and  $\text{SiO}_2\text{-Pb}$  cermets by Sol-gel technique and the phase transformation study of embedded Pb particles", Nano-Structured Materials, Vol. 12, pp.1077-1080, 1999.
25. W. Xianhui, L. Shuhua, Y. Ping and F. Zikang, "Effect of  $\text{Al}_2\text{O}_3$  Content on Electrical Breakdown Properties of  $\text{Al}_2\text{O}_3/\text{Cu}$  Composite", JMEPEG, Vol. 19, pp.1330–1336, 2010.





## تولید سرامیک نیمه شفاف از نانو پودر $\text{Al}_2\text{O}_3$ به روش تفجوشی بدون فشار

حسن عباسزاده، اصغر رحمانی، زهرا اصغری

مجتمع دانشگاهی مواد و فناوری‌های ساخت، دانشگاه مالک اشتر

[asqaryzahra.88@gmail.com](mailto:asqaryzahra.88@gmail.com)

**چکیده:** در این تحقیق، تأثیر نوع و میزان افزودنی بر روی رفتار تفجوشی و خواص سرامیک نیمه شفاف پایه آلمینیا مورد بررسی قرار گرفت. برای این منظور، نانو پودر  $\alpha\text{-}\text{Al}_2\text{O}_3$  با مقادیر مختلفی از افزودنی‌های  $\text{MgO}$  و  $\text{La}_2\text{O}_3$  تحت فشار  $1875^\circ\text{C}$  و  $300 \text{ MPa}$  فشرده شده و در دو دمای  $1700^\circ\text{C}$  و  $1875^\circ\text{C}$  تفجوشی گردید. ریزساختار نمونه‌های تفجوشی شده توسط میکروسکوپ نوری و میکروسکوپ الکترونی روشی مجهر به EDS مورد بررسی قرار گرفت. نتایج نشان داد که با افزایش مقدار افزودنی  $\text{MgO}$  احتمال تشکیل فازهای ثانویه اسپینل درون دانه‌ها افزایش یافته که این نقص به عنوان نقطه پراکندگی نور عمل می‌کند و سبب کاهش شفافیت نمونه می‌شود. با افزودن  $\text{La}_2\text{O}_3$  آلمینیا با دانه‌هایی عاری از تخلخل و ساختار ریز و فشرده حاصل می‌شود. همچنین مشخص شد که نمونه حاوی  $12\% \text{ MgO}$  درصد وزنی  $2\%$  درصد وزنی  $\text{La}_2\text{O}_3$  که به مدت ۱۲ ساعت در دمای  $1875^\circ\text{C}$  تفجوشی شده، حداقل عبور  $99.95\%$  چگالی تغوری را از خود نشان می‌دهد.

**کلید واژه:** متالورژی پودر، سرامیک نیمه شفاف، آلمینیا،  $\text{MgO}$ ،  $\text{La}_2\text{O}_3$ .

### ۱- مقدمه

در سال‌های اخیر سرامیک‌های شفاف مورد توجه بسیاری از محققین قرار گرفته‌اند. کاربردهای اصلی این دسته از سرامیک‌ها شامل لیزر، ابزار برش، دریچه‌های شفاف و وسایل دید در شب می‌باشد. مواد شفاف فروسرخ (IR) کنونی اغلب حد میانه‌ای از خواص نوری و مکانیکی دارند. اخیراً ساخت سرامیک‌های شفاف یا نیمه شفاف از روش‌های تفجوشی پیشرفته میسر شده است [۱-۳]. آلمینیا یکی از موادی است که به دلیل کاربردهای مهندسی آن بسیار مورد توجه قرار گرفته است. محققین توانسته‌اند آلمینیای پلی‌کربیستال شفاف با چگالی بالا و عاری از عیوب تولید کنند [۴-۶]. حصول آلمینیای بس‌بلور شفاف با استفاده از عناصر افزودنی امکان‌پذیر است. نتایج گزارش شده نشان می‌دهد مقادیر کمی از  $\text{MgO}$ ، به عنوان ممانعت کننده از رشد دانه عمل کرده و باعث ریزدانگی و چگال شدن آلمینیای بس‌بلور خواهد شد. در واقع جدایش  $\text{MgO}$  حل شده در مرزدانه‌ها، رشد دانه‌های آلمینیا را در حین تفجوشی کنترل می‌کند [۷ و ۸]. بر اساس نتایج تحقیقات اخیر افزودن  $5-6\% \text{ MgO}$  به پودر آلمینیا سبب عبور خطی نسبتاً بالا در نمونه خواهد شد. با این حال مقادیر زیاد  $\text{MgO}$  سبب تشکیل فاز ثانویه اسپینل ( $\text{MgAl}_2\text{O}_4$ ) شده که سبب افزایش پراکندگی نور در ماده به دلیل ضربی شکست متفاوت آلمینیا و اسپینل می‌گردد [۹ و ۱۰]. در این تحقیق، تأثیر نوع و میزان افزودنی بر رفتار تفجوشی و خواص سرامیک شفاف پایه آلمینیا مورد بررسی قرار گرفته است.

## ۲- مواد و روش تحقیق

نانو پودر  $\alpha\text{-Al}_2\text{O}_3$  خلوص بالا (۹۹/۹۹٪) با اندازه ذرات کمتر از ۱۰۰ نانومتر به عنوان ماده اولیه استفاده شد. توزیع اندازه ذرات پودر  $\alpha\text{-Al}_2\text{O}_3$  توسط روش PSA اندازه‌گیری گردید. به منظور بررسی تأثیر نوع و میزان افزودنی، افزودنی‌های MgO و  $\text{La}_2\text{O}_3$  با مقدار مختلف به پودر اولیه اضافه شد. جدول ۱ ترکیبات مورد استفاده را نشان می‌دهد. جهت مخلوطسازی از آسیاب و گلوله‌های آلومینیمی و محیط اتانول استفاده گردید. دوغاب به مدت ۲۴ ساعت در بالمیل آسیاب شد. دوغاب حاصل از فرایند مخلوطسازی در دمای  $150^{\circ}\text{C}$  به مدت ۲۴ ساعت در کوره با اتمسفر هوا خشک شده و از الک با مش ۴۰ عبور داده شد.

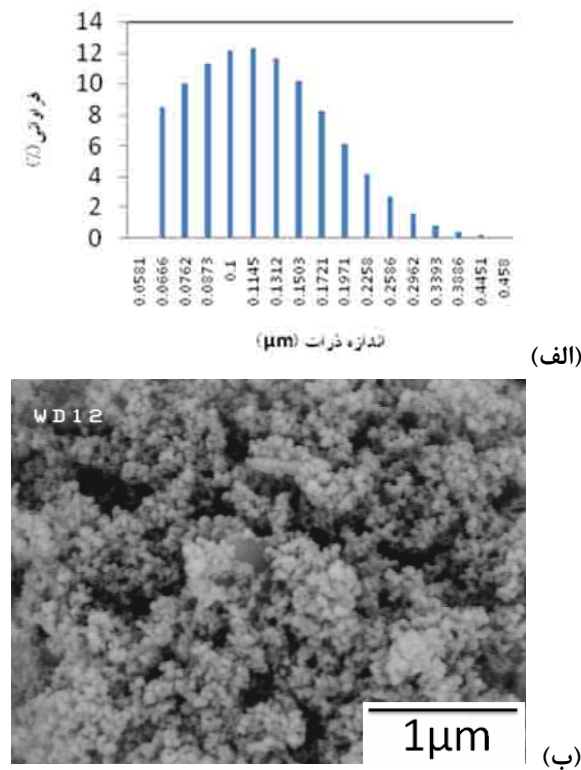
عملیات فشرده‌سازی با استفاده از پرس ایزوفاستاتیک سرد (CIP) تحت فشار ۳۰۰ MPa انجام گرفت. جدول ۱ پارامترهای مورد استفاده در فرایند تف جوشی را نشان می‌دهد. نمونه‌ها ابتدا سنگ زنی و سپس با استفاده از پودر الماس ۱٪ و ۵٪ میکرون پولیش شدند. برای چگالی سنجی نمونه‌های مختلف از روش ارشمیدوس استفاده گردید. جهت بدست آوردن درصد عبوردهی نمونه‌ها از دستگاه FTIR استفاده شد. سختی نمونه‌ها با استفاده از فرورونده نوب الماس با دستگاه ریزسختی سنج اندازه‌گیری شد. نمونه‌های پولیش شده در دمای  $1450^{\circ}\text{C}$  به مدت ۱ ساعت ترمال اج شدند. ریزساختار نمونه‌های تف جوشی شده توسط میکروسکوپ نوری و میکروسکوپ الکترونی روبیشی (Republic Czech, TESCAN, VEGA SEM) مجهر به EDS مورد بررسی قرار گرفت.

جدول ۱- ترکیبات مورد استفاده و پارامترهای تف جوشی آلومینیمی شفاف.

کد نمونه	$\alpha\text{-Al}_2\text{O}_3$ (wt%)	MgO (wt%)	$\text{La}_2\text{O}_3$ (wt%)	دمای تف جوشی (°C)	زمان تف جوشی (h)	نرخ گرمایش (°C/min)
M056	۹۹/۹۵	-	-	۱۷۰۰	۶	۳
M106	۹۹/۹۰	-	-	۱۷۰۰	۶	۳
M1512	۹۹/۸۵	-	-	۱۸۷۵	۱۲	۱۰
ML1220	۹۹/۶۸	۰/۲	۰/۲	۱۸۷۵	۱۲	۱۰

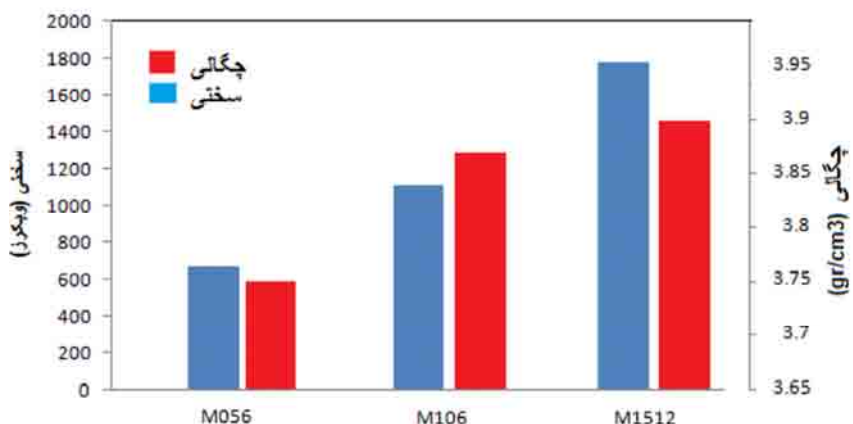
## ۳- نتایج و بحث

شکل ۱ تصویر SEM و توزیع اندازه ذرات نانو پودر  $\alpha\text{-Al}_2\text{O}_3$  را نشان می‌دهد. جهت تولید سرامیک شفاف از مواد اولیه با اندازه ذرات ریز و خالص استفاده می‌شود. شکل ۲ سختی و چگالی نمونه‌های حاوی مقدار مختلف افزودنی MgO را نشان می‌دهد. با توجه به شکل ۲ دیده می‌شود با افزایش مقدار افزودنی MgO و همچنین افزایش دما و زمان تف جوشی، سختی نمونه‌ها افزایش می‌یابد. افزایش سختی نمونه‌ها به دلیل افزایش چگالی نمونه‌ها می‌باشد. شکل ۳ تصویر میکروسکوپ نوری نمونه‌های تف جوشی شده M056 و M106 را نشان می‌دهد. توزیع اندازه دانه‌های یکسان‌تر، برای نمونه‌ی M106 نسبت به نمونه M056 دیده می‌شود.

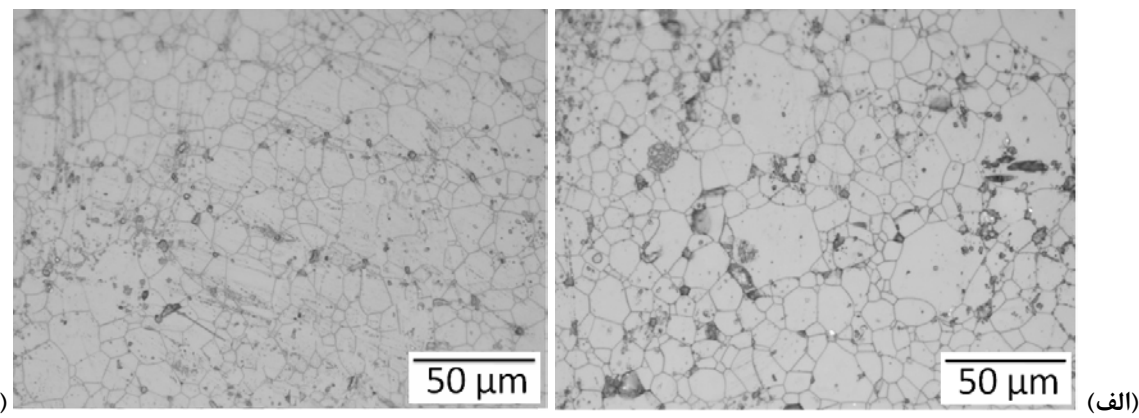


شکل ۱ - (الف) توزیع اندازه ذرات پودر  $\alpha\text{-Al}_2\text{O}_3$ ، (ب) تصویر SEM پودر  $\alpha\text{-Al}_2\text{O}_3$ .

افزایش مقدار  $\text{MgO}$  در محدوده انحلال برای رسیدن به چگالی تئوری و جلوگیری از رشد غیر پیوسته دانه‌ها و همچنین جلوگیری از تشکیل فاز ثانویه الزامی است. در حضور  $\text{MgO}$  از حرکت مرز دانه‌ها به وسیله ذرات اسپینل جلوگیری می‌شود. با افزایش میزان  $\text{MgO}$  (M106)، فاصله تخلخل-تخلخل کمتر و در نتیجه فاصله مرز دانه-تخلخل کاهش خواهد یافت. در هر مرحله از چگالش شبی غلظت جای خالی در نمونه M106 بیشتر از نمونه M056 است. بنابراین در مرحله نهایی تف جوشی، شبی غلظت جای خالی احتمالاً بر نرخ تف جوشی حاکم بوده و در نتیجه نمونه M106 به چگالی بالاتری دست خواهد یافت. مقدار شفافیت در نمونه M106 برای طول موج نزدیک به ۳ میکرومتر  $35\%$  و در نمونه A056 کمتر از  $20\%$  بدهست آمده است.



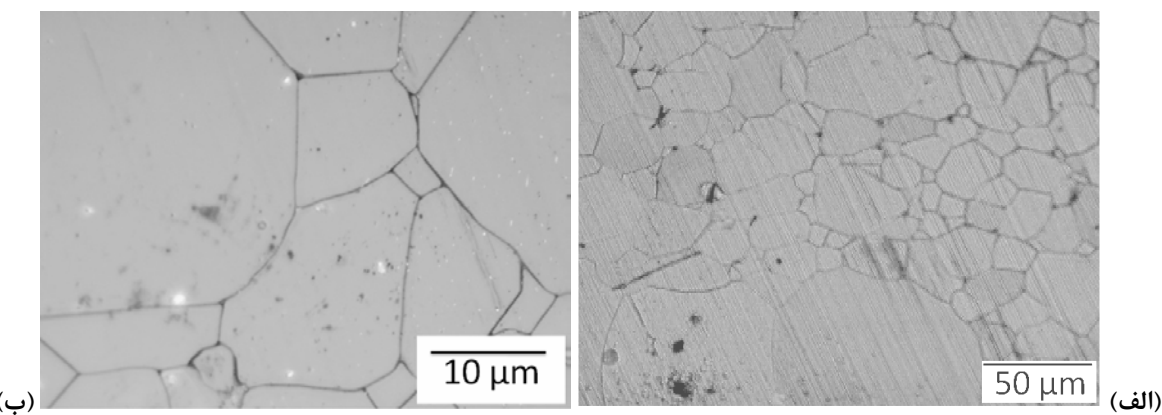
شکل ۲ - سختی و چگالی نمونه‌های تف‌جوشی شده M056، M106 و M1512



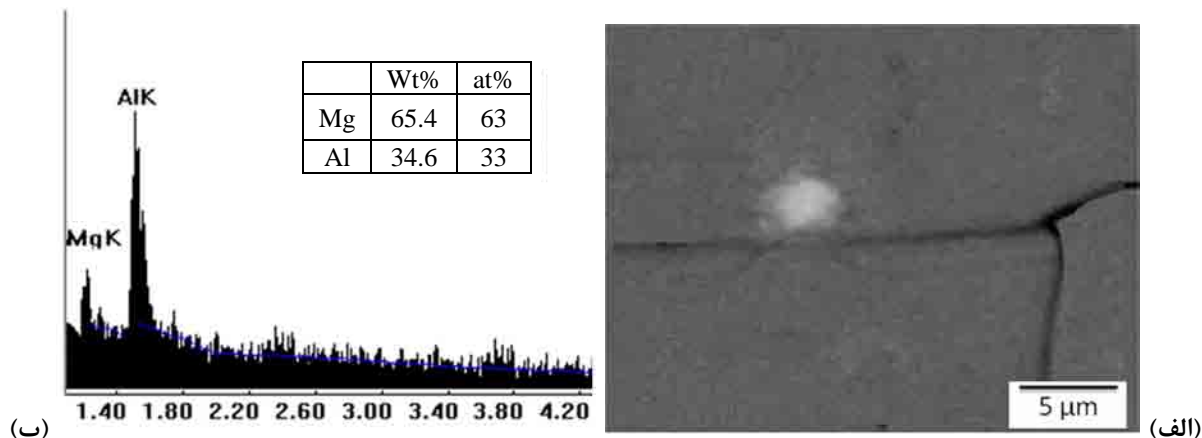
شکل ۳- تصویر میکروسکوپ نوری نمونه (الف) M056 و (ب) M106.

در شکل ۴ تصویر میکروسکوپ نوری نمونه M1512 در بزرگنمایی های مختلف نشان داده شده است. افزایش دما و زمان تفجوشی سبب افزایش چگالی (شکل ۲) و افزایش اندازه دانه ها شده است. همانگونه که مشاهده می شود، تخلخل های باز به طور کامل از بین رفته و تعدادی تخلخل در درون دانه ها به تله افتاده اند. توزیع کامل افزوختنی  $MgO$  در افزایش نرخ تفجوشی بسیار حائز اهمیت است. کمترین ناهمگنی سبب رشد غیر پیوسته دانه ها و در ادامه منجر به افزایش تخلخل با نرخ انقباض بسیار آهسته خواهد شد. در دمای  $1875^{\circ}C$  بخار  $MgO$  از سطح نمونه سبب رشد غیرپیوسته دانه ها و کاهش عبور خواهد شد [۱۱].

شکل ۴ ب تصویر میکروسکوپ نوری نمونه M1512 را با بزرگنمایی بیشتر نشان می دهد. وجود تخلخل های بسته و همچنین ذرات فاز ثانویه به خوبی دیده می شود. اندازه تخلخل ها تقریباً کمتر از ۲ میکرومتر می باشند. بنابراین نمونه در طول موج های کمتر از ۲ میکرومتر نباید عبور مناسبی نشان دهد. در صورتی که اندازه تخلخل با اندازه طول موج عبوری برابر باشد، پراکندگی شدیدی رخ می دهد. بنابراین تخلخل های به دام افتاده در درون دانه ها سبب افزایش پراکندگی و کاهش عبور نور می شوند [۱۲] و [۱۳]. آنالیز EDS حضور Mg را در نقاط روشن نشان می دهد (شکل ۵). بر طبق دیاگرام فازی  $MgO$  و آلومینا ممکن است در نمونه های تفجوشی شده فاز اسپیل (MgAl<sub>2</sub>O<sub>4</sub>) تشکیل شده باشد. این ماده معمولاً به رنگ های سایه ای از آبی، سبز، زرد و قرمز مشاهده می شود [۱۴]. این امر می تواند توضیحی بر کاهش شفافیت نمونه باشد. فازهای ثانویه به صورت مجرزا در درون دانه ها شکل می گیرند. این نقص به عنوان نقطه پراکندگی نور عمل کرده و سبب کاهش شفافیت نمونه می گردد.

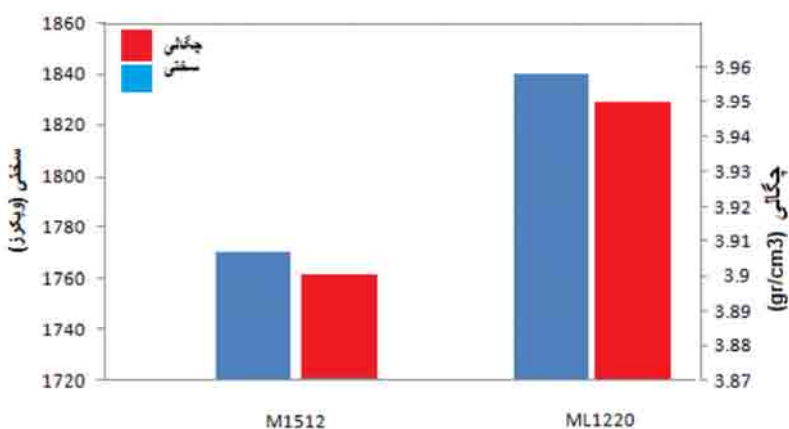


شکل ۴- تصویر میکروسکوپ نوری نمونه M1512

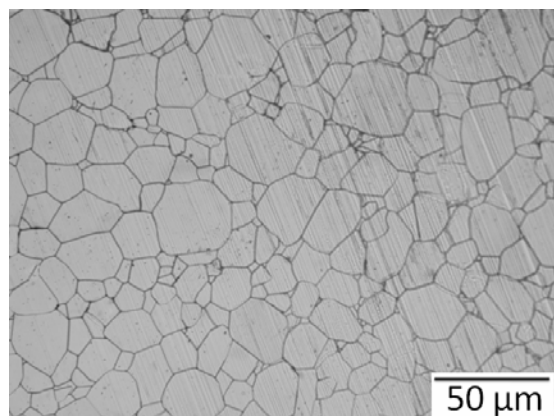


شکل ۵- (الف) تصویر SEM نمونه A1512، (ب) آنالیز EDS از نقطه مشخص شده در تصویر.

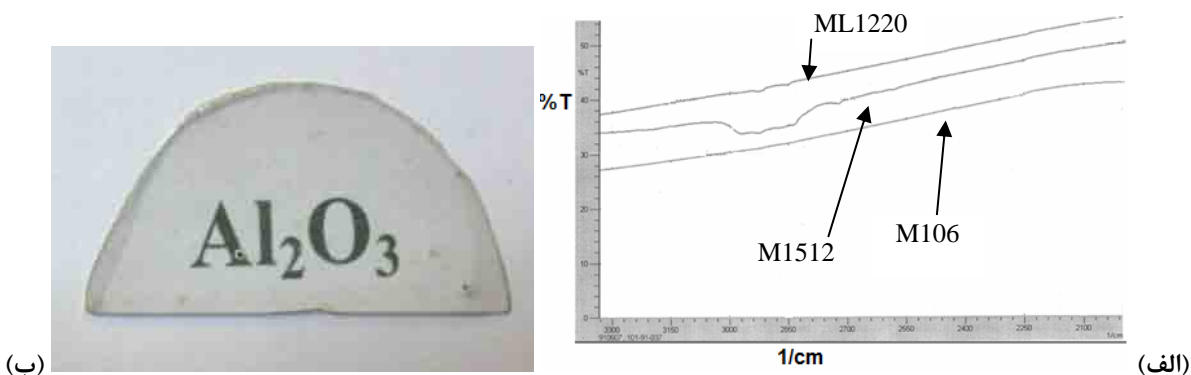
در شکل ۶ سختی و چگالی نمونه های ML1220 و M1512 مقایسه شده است. نمونه ML1220 بیشترین سختی و چگالی را نشان می دهد. با توجه به شکل ۷ الف، با افروzen  $\text{La}_2\text{O}_3$  اندازه دانه ها کاهش می یابد. به عبارت دیگر،  $\text{La}_2\text{O}_3$  مرز دانه های آلمینیا را شدیداً پایدار می سازد. این امر به دلیل تفاوت زیاد در شعاع یونی  $\text{Al}^{3+}$  ( $r=0.053 \text{ nm}$ ) و  $\text{La}^{3+}$  ( $r=0.103$ ) بوده که با حضور کامل  $\text{La}_2\text{O}_3$  در مرز دانه های آلمینیم توجیه می شود [۱۵]. حرکت مرز دانه های آلمینیا توسط  $\text{La}_2\text{O}_3$  کند شده و در نتیجه تخلخل ها در دانه های آلمینیا باقی نمی مانند و هنگامی که سرعت حرکت مرز دانه ها برابر با سرعت حرکت تخلخل باشد، تخلخل ها در مرز دانه ها باقی خواهند ماند. در این حالت تخلخل ها سریعاً به یکدیگر ملحق شده و حذف می شوند. در نتیجه آلمینیا با ساختاری ریز دانه و کاملاً فشرده حاصل می شود. قبل اشاره شد، که در دماهای تف جوشی بالاتر از ۱۷۰۰ درجه سانتیگراد، به علت فشار بخار بالا، تبخر  $\text{MgO}$  از سطح افزایش یافته که این امر سبب رشد بیش از حد دانه ها و کاهش عبور نور می شود. لantanیم پایدارساز اسپینل است بنابراین رشد دانه ها را در دماهای بالاتر از ۱۷۰۰ درجه سانتیگراد کنترل می کند. علاوه بر این، لantanیم ضربی شکست اسپینل و آلمینیا را بهم نزدیک و در نتیجه پراکندگی نور را کاهش می دهد [۱۵]. شکل ۸ الف مقدار عبور نمونه های M106، M1512 و ML1220 را نشان می دهد. درصد عبور نمونه ها از ۳۵ تا ۶۰ درصد متغیر بوده و نمونه ML1220 بیشترین عبور را نشان می دهد. شکل ۸ ب تصویر نمونه ML1220 را نشان می دهد.



شکل ۶- سختی و چگالی نمونه های تف جوشی شده M1512 و ML1220.



شکل ۷- تصویر میکروسکوپ نوری نمونه ML1220.



شکل ۸- الف) نمودار درصد عبوردهی موج فروسرخ نمونه های ML1220، M1512 و M106.

ب) تصویر نمونه ML1220 با ضخامت ۱ میلیمتر.

#### ۴- نتیجه گیری

- با افزایش مقدار افزوندی  $MgO$ ، سختی نمونه ها به علت افزایش چگالی و کاهش اندازه دانه ها، افزایش می یابد.
- افزایش دما در نمونه های حاوی افزوندی  $MgO$  از ۱۷۰۰ درجه سانتیگراد سبب رشد غیرپیوسته دانه ها می شود.
- افزایش مقدار افزوندی  $MgO$  از ۱/۰ به ۱/۱۵، منجر به تشکیل فازهای ثانویه اسپینل در درون دانه ها شده و این نقص به عنوان نقطه پراکندگی نور عمل می کند.
- افروden ۰/۰٪ وزنی  $La_2O_3$  به ترکیب پودر سبب ریزدانه تر شدن ساختار، چگالی بالاتر و در نتیجه عبور و سختی بیشتر می شود.
- نمونه حاوی ۰/۱۲ درصد وزنی  $MgO$  و ۰/۲ درصد وزنی  $La_2O_3$  که به مدت ۱۲ ساعت در دمای ۱۸۷۵ درجه سانتیگراد تفجیش شده است حداقل ۶۰٪ سختی ۹۵/۹۹٪ چگالی تئوری را از خود نشان می دهد.

#### ۵- مراجع

1. Guillaume .B., Christian G., Nathalie M., "Sintering of an Ultrapure a-Alumina Powder: II. Mechanical, Thermo-Mechanical, Optical Properties, and Missile Dome Design" Int. J. Appl.

- Ceram. Technol., 8 [2], (2011), 366–382.
2. Guillaume B., Christian G. Ahmed A., “Sintering of an Ultrapure a-Alumina Powder: II. Mechanical, Thermo-Mechanical, Optical Properties, and Missile Dome Design” , Int. J. Appl. Ceram. Technol., 8 [2] (2011) 366–382.
  3. Kaneno, M. & Oda, I., “Effect of the properties of translucent alumina tube on lamp efficiency of high pressure sodium lamp”, Mat. Sci. Monogr., 6 (1979) 1114-1122.
  4. Yechezkel Ashuach, “The Influence of Sintering Additives on the Microstructure and Properties of ALON” Submitted to the Senate of the Technion – Israel Institute of Technology TEVET (2003).
  5. Rolf A. and Michel P. B., “Transparent Alumina: A Light-Scattering Model” , J. Am. Ceram. Soc., 86 [3] (2003) 480–86.
  6. Schroeder, J. & Rosolowski, J. H., “Light scattering in polycrystalline materials”, Proc. SPIE, 297 (1981) 156-168
  7. Peelan, J. G. J., “Influence of MgO on the evolution of the microstructure of  $\text{Al}_2\text{O}_3$ ” , Mater. Sci. Res., 10 (1975) 443-453.
  8. Coble, R. L., “Transparent alumina and method of preparation”, US Patent No. 3026210 (1962).
  9. Hartnett, T. M., Bernstein, S. D., Maguire, E. A. & Tustison, R. W., “Optical properties of ALON (aluminum oxynitride)”, Proc. SPIE, 3060 (1997) 284-295.
  10. Peerlen, J. G. J. & Metselaar, R., “Light scattering by pores in polycrystalline materials: transmission properties of alumina”, J. Appl. Phys. 45 (1974) 216-220
  11. Yang QiuHong, “Effect of  $\text{La}_2\text{O}_3$  on Microstructure and Transmittance of Transparent Alumina Ceramics”, JOURNAL OF RARE EARTHS 24 (2006) 72 – 75.
  12. Apetz, R. & van Bruggen, M. P. B., Transparent alumina: a light scattering model, J. Am. Ceram. Soc., 86 (2003) 480-486.
  13. Van, H. C., Light Scattering by Small Particles. John Wiley & Sons, New York (1957).
  14. S. Ma, “Sintering of translucent alumina” , Journal of Materials Processing Technology 209 (2009) 4711–4715.
  15. Kobayashi, K. & Kaneno, M., “Utilizing mixtures of yttria, magnesia, and lanthanum oxide in manufacture of transparent alumina”, US Patent No. 3792142 (1974).





# بررسی تأثیر ذرات کاربید بور و زمان آسیاکاری مکانیکی بر ریزساختار و خواص مکانیکی نانوکامپوزیت Al2024-B<sub>4</sub>C

علیرضا عبدالهی، علی علیزاده، حمیدرضا بهاروندی

دانشگاه صنعتی مالک اشتر

alirezaabdollahi1366@gmail.com

**چکیده:** در این تحقیق، پودر Al2024 نانوساختار و پودر کامپوزیتی Al2024-B<sub>4</sub>C به روش آسیاکاری مکانیکی تولید شدند. برای آسیا کردن پودرها از دستگاه آسیای سایشی به مدت ۵۰ ساعت و تحت اتمسفر آرگون استفاده شد. پودرهای به دست آمد، به روش پرس گرم شکل داده شده و سپس تحت فرآیند اکستروژن داغ با نسبت اکستروژن ۱۰:۱ قرار گرفتند. مورفولوژی و خواص پودرهای آسیا شده با استفاده از میکروسکوپ الکترونی رویشی (SEM)، میکروسکوپ الکترونی عبوری (TEM) و آنالیز XRD مورد بررسی قرار گرفت. برای مقایسه خواص مکانیکی نمونه‌های اکستروژ شده از آزمون کشش و سختی استفاده شد. نتایج نشان می‌دهند حضور ذرات B<sub>4</sub>C باعث تشید نرخ کارسختی در پودر Al2024 در حین فرآیند آسیای مکانیکی می‌شود. مقادیر به دست آمده از آزمون کشش و سختی نیز بیانگر این مطلب است که فرآیند آسیای مکانیکی و ذرات B<sub>4</sub>C باعث افزایش استحکام و سختی آلیاژ Al2024 می‌شوند اما انعطاف‌پذیری آن را به شدت کاهش می‌دهند.

**کلید واژه:** نانوکامپوزیت Al2024-B<sub>4</sub>C، آسیای مکانیکی، اکستروژن داغ، کاربید بور.

## ۱- مقدمه

کامپوزیت‌های زمینه آلومینیومی تقویت شده با ذرات سرامیکی به دلیل خواص مکانیکی و فیزیکی مناسب به طور گستردگی در صنایع مختلف مانند صنایع نظامی، خودروسازی، هواپما و انرژی هسته‌ای مورد استفاده قرار می‌گیرند. این کامپوزیت‌ها به دلیل داشتن خواص بی‌نظیری مانند استحکام بالا، چگالی پایین، مقاومت به خوردگی خوب، قابلیت عملیات حرارتی پذیری، فرآیندهای تولید متنوع و... توجهی زیادی را به خود جلب کرده‌اند بطوریکه امروزه به عنوان یک ماده سازه‌ای پیشرفته مورد استفاده قرار گرفته و حجم زیادی از تحقیقات را به خود اختصاص داده‌اند [۱-۳]. در واقع در این کامپوزیت‌ها زمینه داکتیل آلومینیومی با ذرات سرامیکی تقویت می‌شود که ترکیبی از خواص فلزی (داکتیلیته و تافنس) و خواص سرامیکی (استحکام و مدول بالا) را به وجود می‌آورد [۴-۵].

به طور کلی، میزان کاهش وزن و بهبود استحکام و سفتی کامپوزیت‌های زمینه فلزی را می‌توان با تغییر آلیاژ زمینه تغییر داد. انتخاب نوع آلیاژ زمینه بستگی به پارامترهایی مثل مقاومت به خوردگی، استحکام و انعطاف پذیری آلیاژ دارد [۵]. مدت‌های استفاده که از انواع آلیاژهای آلومینیوم کارپذیر به عنوان آلیاژ زمینه در ساخت کامپوزیت‌های زمینه فلزی استفاده می‌شود. علت اصلی این مسئله، پایین بودن چگالی آلومینیوم است [۶-۷]. از بین تمامی آلیاژهای آلومینیوم، آلیاژهای سری 2xxx و 7xxx به دلیل داشتن قابلیت عملیات حرارتی، بهترین گزینه‌ها برای کاربرد در ساخت کامپوزیت‌های زمینه فلزی هستند [۷].

در بین ذرات سرامیکی، کاربید بور (B<sub>4</sub>C) به دلیل نقطه ذوب زیاد (445°C)، مدول بالا (کاربید بور با سختی 3700HV بعد از الماس و CBN سومین ماده سخت جهان محسوب می‌شود)، مقاومت شیمیایی عالی، جذب بالای نوترون، و چگالی پایین ( $2/54 \text{ g/cm}^3$ ) به تقویت‌کننده‌ای مناسب در ساخت کامپوزیت‌های زمینه آلومینیومی تبدیل شده است [۵۸]. علاوه بر این، به دلیل قابلیت بالای ایزوتrop B<sub>10</sub> در جذب نوترون، کامپوزیت‌های Al-B<sub>4</sub>C کاربردهای ویژه‌ای در صنایع هسته‌ای پیدا کرده‌اند [۵].

روش‌های ساخت کامپوزیت‌های زمینه فلزی تقویت‌شده با ذرات سرامیکی از جمله کامپوزیت‌های Al-B<sub>4</sub>C را می‌توان در دو گروه طبقه‌بندی نمود [۹]: روش‌های حالت مایع مانند ریخته‌گری گردابی<sup>۱</sup> [۱۰]؛ روش‌های حالت جامد مانند متالورژی پودر [۱۱] و آسیاکاری مکانیکی<sup>۲</sup> [۱۲]. به طور کلی، روش‌های حالت جامد مانند متالورژی پودر و آسیاکاری مکانیکی عموماً برای تولید کامپوزیت‌های ذره‌ای با خواص مکانیکی بالا مورد استفاده قرار می‌گیرند. زیرا این روش‌ها توزیع یکنواختی از ذرات ثانویه در زمینه را ایجاد می‌کنند. بنابراین کامپوزیت‌های تولید شده با استفاده از این روش‌ها دارای خواص ایزوتrop می‌باشند. علاوه بر این، چون دما در این روش‌ها نسبت به روش‌های حالت مایع (مانند ریخته‌گری گردابی) بسیار کمتر است بنابراین از انجام واکنش‌های ناخواسته بین زمینه و تقویت‌کننده که عموماً منجر به افت خواص مکانیکی می‌شوند، جلوگیری به عمل آمده و جدایش ذرات تقویت‌کننده به حداقل می‌رسد [۱۳-۱۵]. یکی از مهمترین مزیت‌های روش آسیاکاری مکانیکی نسبت به سایر روش‌ها، دستیابی به توزیع کاملاً یکنواخت ذرات به دلیل ریزدانه شدن ساختار در حین انجام فرآیند است [۱۶]. همچنین فصل مشترک ذره/زمینه در روش آسیاکاری مکانیکی از کیفیت بسیار بالاتری برخوردار است؛ به عبارت بهتر، فصل مشترک به وجود آمده در این روش عاری از هرگونه حفره و ترک می‌باشد به ویژه اگر از فرآیند کریومیلینگ<sup>۳</sup> استفاده شده باشد [۱۵ و ۱۷]. تمامی موارد گفته شده منجر به ارتقاء خواص مکانیکی کامپوزیت‌های تولید شده به روش آسیاکاری مکانیکی در مقایسه با روش‌های متالورژی پودر و ریخته‌گری گردابی می‌شود.

فرآیند آسیاکاری مکانیکی در آسیاهای با انرژی بالا انجام می‌شود. آسیاپر انرژی نوعی آسیا است که به دلیل نوع طراحی خاص خود و سرعت چرخش بالای گلوله‌ها می‌تواند انرژی بالایی را به مواد آسیا شونده منتقل کند. انواع مختلفی از تجهیزات آسیا نمودن پرانرژی برای تولید پودرهای آسیا شده مکانیکی مورد استفاده قرار گرفته است. این آسیاهای در مکانیزم، ظرفیت، کارایی، و تجهیزات ثانویه برای سرد نمودن و حرارت دادن و غیره با هم تفاوت دارند. آسیاهای شامل آسیاهای ارتعاشی یا لرزشی، آسیاهای سیارهای گلوله‌ای<sup>۴</sup> و آسیاهای سایشی<sup>۵</sup> می‌باشند [۱۸].

Fogagnolo و همکارانش [۱۹] در تحقیقات خود به بررسی تغییرات مورفوЛОژی پودر Al6061 بر حسب زمان آسیا پرداخته‌اند. آن‌ها همچنین تأثیر افزودن ذرات تقویت‌کننده AlN و Si<sub>3</sub>N<sub>4</sub> را بر پیشرفت فرآیند آسیاکاری مکانیکی پودر Al6061 مورد بررسی

<sup>1</sup> Stir casting

<sup>2</sup> Mechanical milling

<sup>3</sup> Cryomilling

<sup>4</sup> Vibrating mill

<sup>5</sup> Planetary Ball Mill

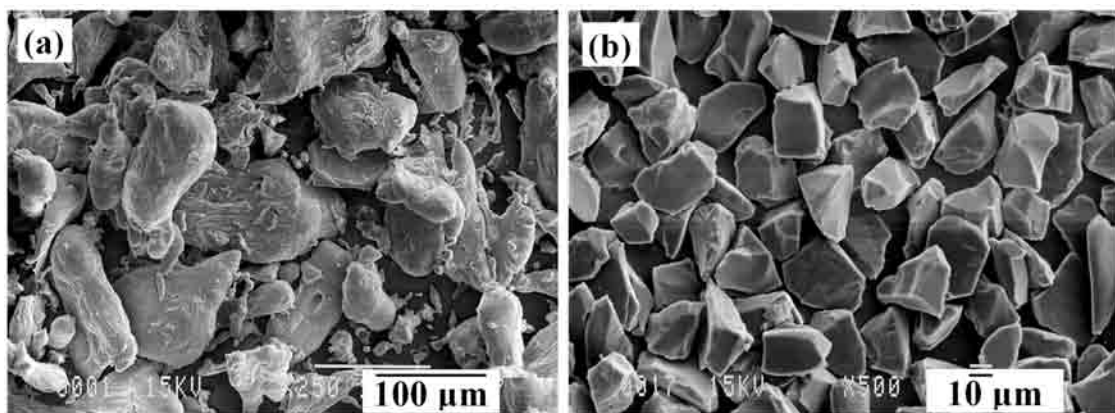
<sup>6</sup> Attrition mill

قرار داده‌اند. تحقیقات مشابهی نیز توسط Sankar و همکارانش [۲۰] در مورد تأثیر زمان آسیا بر مورفولوژی پودر کامپوزیتی Al7075-SiC گزارش شده است. اسدی فر و همکارانش [۲۱] نیز به بررسی تأثیر فرآیند آسیای مکانیکی بر مورفولوژی و اندازه دانه پودرهای کامپوزیتی Al6061-SiC پرداخته‌اند. نتایج تحقیقات آن‌ها بیانگر این مطلب است که پودر Al6061-SiC در مراحل ابتدایی فرآیند به شکل لایه‌ای بوده و در نهایت به صورت هم محور در می‌آیند. در این تحقیق نانوکامپوزیت زمینه فلزی Al2024-5%wt.B<sub>4</sub>C به روش آسیای مکانیکی و اکستروژن داغ تولید گردید و خواص مکانیکی و ریزساختاری آن مورد بررسی قرار گرفت.

## ۲- فعالیت‌های تجربی

### ۱-۲- مواد

در این تحقیق از پودر آلومینیوم ۲۰۲۴ اتمیزه شده به وسیله گاز آرگون با متوسط اندازه ذرات ۶۰ میکرون به عنوان زمینه کامپوزیت استفاده شد. ترکیب شیمیایی آلیاژ مورد استفاده در این تحقیق شامل ۴/۸۷٪ مس، ۱/۸٪ منیزیم، ۰/۲۵٪ روی و مابقی آلومینیوم می‌باشد. ذرات پودر آلومینیوم ۲۰۲۴ مورد استفاده تقریباً به صورت کروی شکل بوده و توزیع نسبتاً وسیعی از اندازه ذرات دارد. مورفولوژی ذرات پودر آلومینیوم ۲۰۲۴ مورد استفاده در این پژوهش در شکل ۱a نشان داده شده است. از پودر B<sub>4</sub>C با متوسط اندازه ذرات ۲۰ میکرون به عنوان تقویت‌کننده استفاده شد. با توجه به تحقیقات قبلی انجام شده بر روی کامپوزیت‌های Al-B<sub>4</sub>C [۲۲] میزان B<sub>4</sub>C مورد استفاده، درصد وزنی انتخاب گردید. شکل ۱b تصویر SEM از مورفولوژی پودر B<sub>4</sub>C مورد استفاده را نشان می‌دهد.



شکل ۱- تصویر SEM پودر: (a) آلمینیوم اولیه و (b) B<sub>4</sub>C اولیه

### ۲-۲- آسیاکاری مکانیکی

برای انجام فرآیند آسیای مکانیکی و تولید پودر کامپوزیتی Al2024-5wt.%B<sub>4</sub>C از یک آسیاب گلوله‌ای از نوع سایشی<sup>۱</sup> مجهز به سیستم خنک کننده آبگرد استفاده شد. برای جلوگیری از اکسید شدن و آلودگی پودرها در حین آسیاکاری مکانیکی از گاز آرگون

<sup>۱</sup> Attrition mill

با خلوص ۹۹/۹۹ درصد استفاده شد. برای جلوگیری از جوش سرد اضافی در حین عملیات آسیاب، ۲ درصد وزنی اسید استئاریک به عنوان عامل کنترل کننده فرآیند<sup>۱</sup> مورد استفاده قرار گرفت. در هر مرحله حدود ۳۱۵ گرم مخلوط پودرهای Al2024 و B4C به همراه ۳ کیلوگرم گلوله فولادی آسیا گردیدند. به منظور بررسی اثر ذرات کاربید بور بر مراحل آسیای مکانیکی نیز، پودر آلومینیوم ۲۰۲۴ بدون تقویت کننده تحت شرایط یکسان به مدت ۵۰ ساعت آسیا شد. شرایط فرآیند آسیای مکانیکی در جدول ۱ آمده است.

**جدول ۱ - شرایط فرآیند آسیای مکانیکی**

فولاد زنگنزن ۳۱۶	جنس محفظه و گلوله‌ها
۱۰۰۰ میلی لیتر (۱ لیتر)	حجم محفظه آسیاب
۳۰۰ گرم	مقدار پودر در هر مرحله
۱۰:۱	نسبت گلوله به پودر (وزنی)
۴۰۰rpm	سرعت چرخش (تعداد دور شفت آسیا)
۳ کیلوگرم	وزن گلوله‌ها در هر مرحله
گاز آرگون با خلوص ۹۹/۹۹۹	اتمسفر آسیا
۲ درصد وزنی اسید استئاریک	مقدار و نوع عامل کنترل کننده فرآیند (PCA)
۰-۵۰ ساعت	زمان آسیا

### ۳-۲- بررسی خواص پودرهای فرآوری شده

به منظور بررسی اثر ذرات کاربید بور و زمان آسیای مکانیکی بر مورفولوژی ذرات پودر Al2024، اندازه دانه‌های زمینه آلومینیومی، کرنش شبکه و چگالی ظاهری پودر Al2024 ، در فواصل زمانی مختلف (هر ۱۰ ساعت) از پودرهای Al2024 و Al2024-5wt.% B4C نمونه برداری شد. تغییر مورفولوژی پودرها در حین فرآیند آسیای مکانیکی به وسیله میکروسکوپ الکترونی رویشی (SEM) مدل Philips-XL30 انجام گرفت. چگالی ظاهری پودرها نیز به روش هال (استاندارد ASTM B417) اندازه گیری شد. به منظور تعیین اندازه دانه‌های زمینه آلومینیومی پس از ۵۰ ساعت آسیاب، از روش ویلیامسون- هال استفاده شد [۲۱ و ۲۲]. همچنین تعدادی از نمونه‌ها توسط میکروسکوپ الکترونی عبوری (TEM) مدل Philips FEGC200 مورد مطالعه قرار گرفتند تا اندازه دانه‌ها و توزیع ذرات تقویت کننده در داخل زمینه آلومینیومی تعیین شود.

### ۴-۲- اکستروژن داغ

پس از انجام عملیات آسیابی مکانیکی، از فرآیند اکستروژن داغ برای شکل دهی نهایی پودرها استفاده شد. برای این منظور، ابتدا پودرها در داخل یک قالب استوانه‌ای به صورت گرم (در دمای ۱۰۰°C) پرس شدند. سپس، قرص‌های پرس شده تحت عملیات اکستروژن داغ با نسبت ۱۰:۱ قرار گرفتند. در جدول ۲ شرایط انجام فرآیند اکستروژن آورده شده است.

<sup>۱</sup> Process Control Agent (PCA)

### جدول ۲- شرایط فرآیند اکستروژن

۱۰:۱	نسبت اکستروژن
۷۰۰ Bar	نوع پرس
دایره	مقطع اکستروژن
۱۰ mm (۱ cm)	قطر قطعه نهایی
۵۷۰ °C	دماي قالب
۳۰-۷۰ MPa (۲۰ -۵۰ ton)	فشار اکستروژن
۱-۳ mm/sec	سرعت اکستروژن

لازم به ذکر است که جهت بررسی اثر ذرات کاربید بور و فرآیند آسیای مکانیکی بر خواص آلیاژ Al2024، یک نمونه مرجع نیز با استفاده از پودر Al2024 آسیا نشده (بدون تقویت کننده) از طریق فرآیند پرس گرم و سپس اکستروژن داغ تولید گردید.

### ۲-۵- بررسی خواص مکانیکی نمونه‌های اکستروود شده

به منظور بررسی خواص مکانیکی نمونه‌های اکستروود شده از آزمون کشش و سختی استفاده شد. نمونه‌های آزمون کشش با قطر ۴mm و طول گیج ۱۶mm (طبق استاندارد ASTM B557) تهیه و آزمون در دمای اتاق با سرعت ۱mm/min انجام شد. سختی نمونه‌ها نیز با استفاده از آزمون سختی برینل با قطر ساجمه ۲/۵ میلیمتر و نیروی ۳۰ کیلوگرم اندازه‌گیری شد.

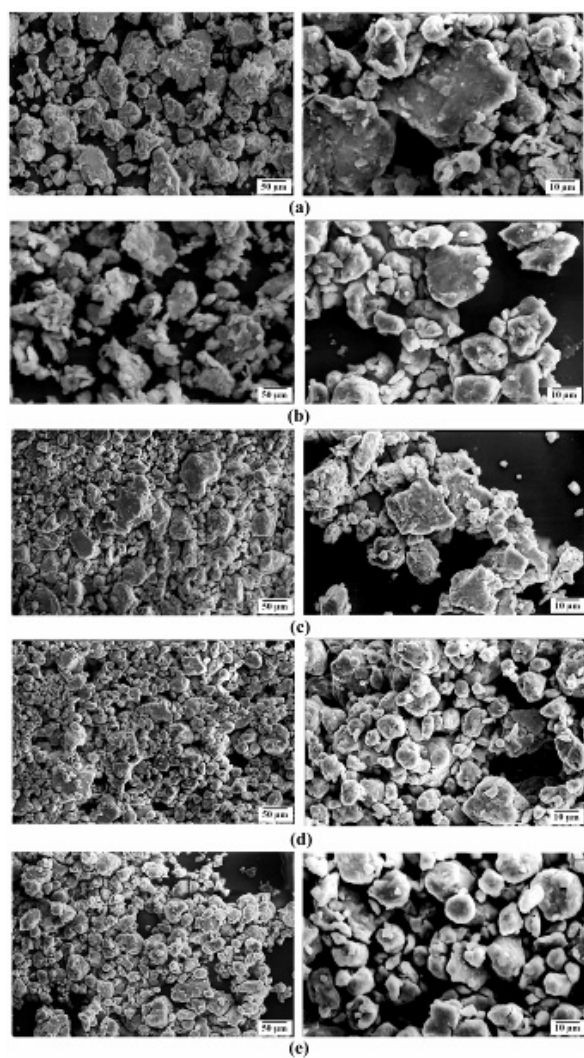
### ۳- نتایج و بحث

#### ۳-۱- بررسی مورفولوژی پودرهای فرآوری شده

در شکل ۲ تصویر SEM تغییرات مورفولوژی پودر Al2024 تقویت‌نشده پس از ۱۰-۵۰ ساعت آسیا نشان داده شده است. در شکل ۳ نیز تصویر شماتیک این فرآیند دیده می‌شود به طور کلی در فرآیند آسیای مکانیکی سه مکانیسم اصلی بر تغییرات مورفولوژی ذرات پودر حاکم است که عبارتند از: (۱) مکانیزم تغییر شکل پلاستیک، (۲) مکانیزم شکست و (۳) مکانیسم جوش سرد [۱۹ و ۲۱ و ۲۴]. همانطور که دیده می‌شود، پس از ۱۰ ساعت آسیا، پودرهای شبه کروی اولیه به پودرهای ورقه‌ای شکل تغییر شکل داده و میانگین اندازه ذرات نیز افزایش پیدا کرده است (شکل ۲a). مکانیزم‌های غالب در این مرحله، مکانیزم‌های تغییر شکل پلاستیک و جوش سرد می‌باشد. با ادامه تغییر شکل پلاستیک (افزایش زمان آسیا بیش از ۱۰ ساعت)، ذرات کارسخت می‌شوند و کاهش قابلیت تغییرشکل پلاستیک آن‌ها منجر به فعال شدن مکانیزم شکست می‌گردد. با افزایش زمان آسیا به بیش از ۲۰ ساعت مورفولوژی ورقه‌ای شکل همچنان باقی می‌ماند اما به دلیل کارسخت شدن، تمايل به شکست آن‌ها در اثر اعمال ضربه افزایش یافته و بنابراین در اثر برخورد با گلوله‌های آسیا، اندازه آن‌ها کاهش می‌یابد (شکل ۲b). در این مرحله تمايل به شکست بر جوش سرد غالب است.

<sup>۱</sup> Coarse Grained Aluminum

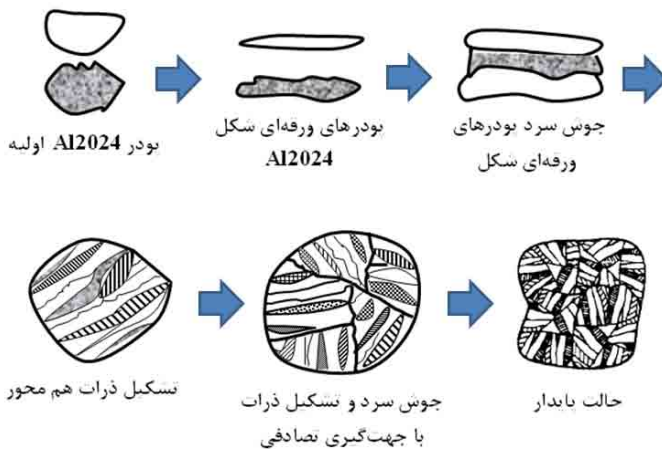
با افزایش زمان آسیا تا ۳۰ ساعت، ذرات هم محور به وجود می‌آیند اما مورفولوژی ذرات پودر کاملاً هم محور نشده و هنوز ذرات ورقه‌ای شکل وجود دارند (شکل ۲c). پس از ۴۰ ساعت آسیا، کاهش بیشتری در سایز ذرات پودر مشاهده شده و محدوده توزیع اندازه ذرات پودر نیز کوچکتر می‌شود (شکل ۲d). در مدت زمان ۵۰ ساعت آسیا، مورفولوژی ذرات پودر کاملاً هم محور شده و ذرات ورقه‌ای شکل مشاهده نمی‌شوند (شکل ۲e) اما افزایش زمان آسیا کاری به بیش از ۵۰ ساعت، دیگر تأثیری بر مورفولوژی ذرات پودر نخواهد داشت. در واقع در این زمان، حالت پایدار ایجاد شده است. به عبارت بهتر پس از ۵۰ ساعت آسیا چون یک توازن بین نرخ جوش خوردن و شکست برقرار می‌شود، حالت پایدار به وجود می‌آید. در این مرحله، فصل مشترک بین لایه‌های تشکیل دهنده ذرات، دیگر موازی نبوده و جهت‌گیری آن‌ها بصورت تصادفی است. باید به این نکته توجه کرد که بعد از رسیدن به مرحله پایداری، فرآیند ریزدانه شدن میکروساختار<sup>۱</sup> همچنان در حال انجام بوده و تا پایان زمان آسیا ادامه می‌یابد [۲۴].



شکل ۲- تغییر مورفولوژی پودر Al2024 تقویت نشده پس از:

(a)، (b)، (c)، (d)، (e) ۱۰، ۲۰، ۳۰، ۴۰ و ۵۰ ساعت آسیای مکانیکی در دو بزرگنمایی مختلف

<sup>۱</sup> Microstructure refinement

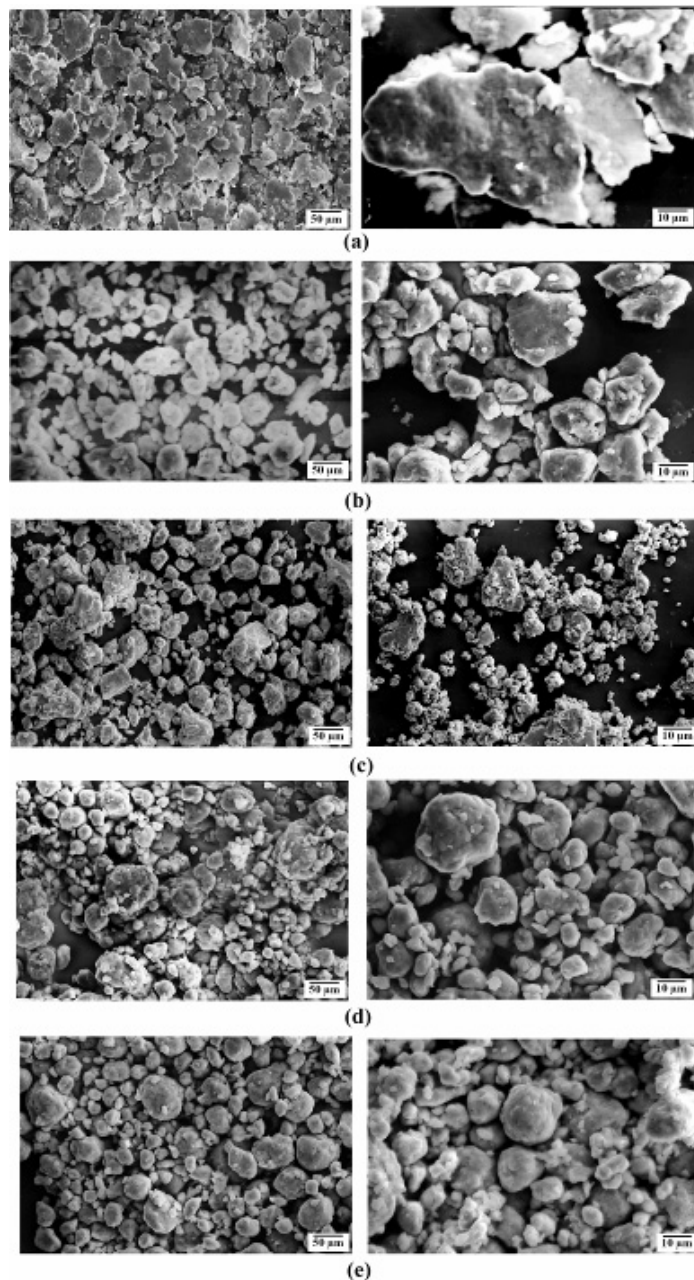


شکل ۳- تصویر شماتیک مراحل تغییر مورفولوژی پودر Al2024 تقویت‌نشده در حین فرآیند آسیای مکانیکی

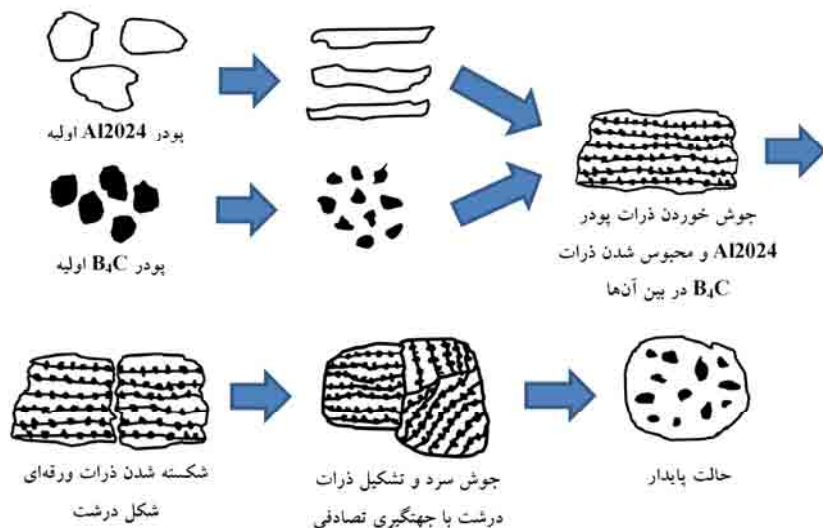
در شکل ۴ تصویر SEM تغییرات مورفولوژی پودر کامپوزیتی  $B_4C$ -Al2024 پس از ۱۰، ۲۰، ۳۰، ۴۰ و ۵۰ ساعت آسیا نشان داده شده است. در شکل ۵ نیز تصویر شماتیک این فرآیند دیده می‌شود. در اینجا نیز مراحل آسیا تقریباً شبیه به مراحل آسیای پودر Al2024 تقویت‌نشده است؛ یعنی: تغییر شکل پلاستیک ذرات پودر Al2024 زمینه و تشکیل ذرات صفحه‌ای شکل، جوش سرد ذرات ورقه‌ای شکل و در نهایت شکسته شدن ذرات. به عبارت بهتر پودر Al2024 اولیه، که داکتیل و دارای مورفولوژی کروی هستند، در اثر برخورد های شدید گلوله ها، بین آن ها محبوس شده و تغییر شکل می‌دهند و به صورت لایه‌ای یا ورقه‌ای در می‌آیند (شکل ۴a). ذرات  $B_4C$  نیز که ترد هستند در اثر ضربات وارد، خرد شده و به ذرات ریزتری تبدیل می‌شوند. با ادامه فرآیند آسیای مکانیکی، ذرات ورقه‌ای شکل آلومینیوم تحت ضربات بیشتر قرار گرفته و متتحمل تغییر شکل بیشتری می‌شوند. مکانیزم جوش سرد فعال شده و پودرهای ورقه‌ای Al2024 را به هم متصل می‌کند. ذرات خرد شده  $B_4C$  نیز بین ورقه‌های Al2024 محبوس می‌شوند. بعد از مدتی ذرات Al2024 به دلیل کار سختی زیاد ناشی از کار مکانیکی و پخش شدن ذرات ریز  $B_4C$  در داخل آن ها، ترد شده و به ذرات کوچکتری می‌شکنند (شکل های ۴b و ۴c). با ادامه فرآیند آسیای مکانیکی، مکرراً جوش سرد و شکست ذرات انجام می‌شود تا در نهایت مورفولوژی ذرات پودر کامپوزیتی به حالت پایدار می‌رسد و ذراتی هم محور با توزیع بسیار ریز و همگن ذرات تقویت‌کننده بدست می‌آید (شکل ۴d).

مقایسه تغییرات ساختاری و مورفولوژی پودر Al2024 تقویت‌نشده و پودر کامپوزیتی  $B_4C$ -Al2024 نشان می‌دهد که افزودن ذرات سرامیکی به پودر Al2024 منجر به تسریع مراحل مختلف در فرآیند آسیایی کاری مکانیکی شده است بطوریکه زمان لازم برای ایجاد ذرات هم محور کاهش می‌یابد. بنابراین ثابت می‌شود که افزودن ذرات  $B_4C$  بر مکانیزم های جوش سرد، شکست و تغییر شکل پلاستیک ذرات Al2024 زمینه در حین فرآیند آسیای مکانیکی تأثیرگذار است. درست بر خلاف طبیعت نرم پودر Al2024 تقویت‌نشده، در مورد پودر کامپوزیتی  $B_4C$ -Al2024 به دلیل حضور ذرات سخت  $B_4C$  ذرات ورقه‌ای شکل درشت تشکیل نمی‌شوند. علاوه بر این، حضور ذرات  $B_4C$  باعث کاهش زمان آسیا شده و ساختار سریعتر به حالت پایدار می‌رسد [۲۴]. به عبارت بهتر در مقایسه با پودر Al2024 تقویت‌نشده، حضور ذرات  $B_4C$  باعث افزایش تغییر شکل موضعی آلومینیوم زمینه در اطراف ذرات تقویت‌کننده شده و بنابراین نرخ کارسختی آلومینیوم زمینه را افزایش می‌دهد. این مسئله سبب

می‌شود تا جوش خوردن ذرات تغییر شکل یافته در زمان‌های کوتاه‌تری آغاز شود. زیرا برای فعال شدن مکانیزم جوش خوردن، میزان تغییر شکل ذرات و چگالی نابجایی‌ها باید به یک مقدار بحرانی برسد. به عبارت دیگر، ذرات سخت خود مشابه گلوله‌های آسیا می‌توانند منجر به انتقال انرژی به زمینه فلزی گردند. از طرف دیگر، افزودن ذرات سخت منجر به کاهش چفرمگی شکست پودرهای کامپوزیتی می‌شود [۱۹ و ۲۰]. به همین دلیل مکانیزم شکست در فرآیند آسیای مکانیکی پودر کامپوزیتی  $B_4C$ -Al2024 زودتر فعال شده و زمان رسیدن به حالت پایدار کاهش پیدا می‌کند [۲۵ و ۲۶]. این نتایج با نتایجی که توسط Tavoosi و همکارانش [۲۷] گزارش شده است مطابقت دارد.

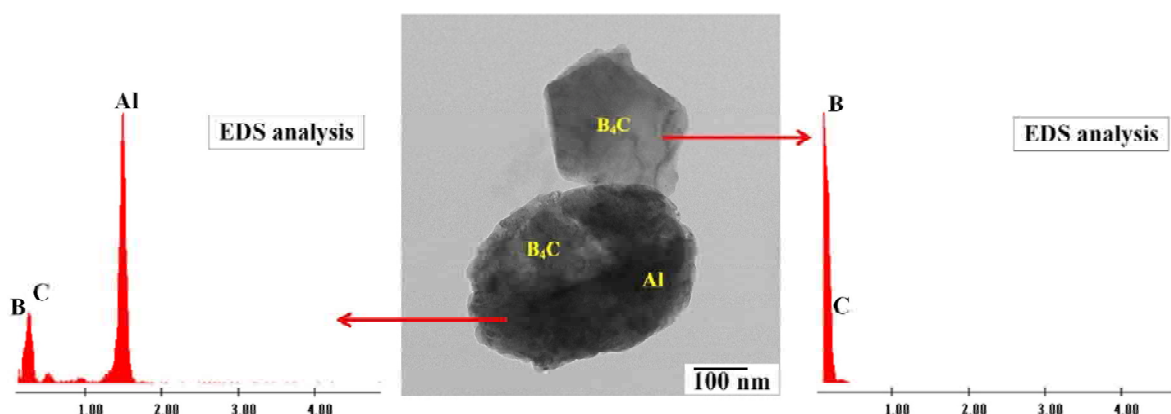


شکل ۴- تغییرمorfولوژی پودر  $Al2024-B_4C$  پس از: (a) ۱، (b) ۲۰، (c) ۳۰، (d) ۴۰ و (e) ۵۰ ساعت آسیای مکانیکی در دو بزرگنمایی مختلف



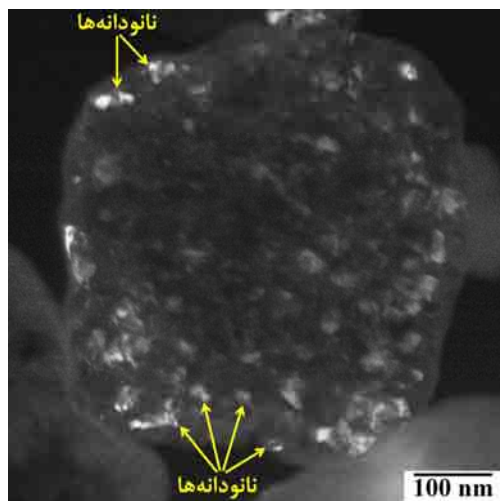
شکل ۵- تصویر شماتیک مراحل تغییر مورفولوژی پودر کامپوزیتی Al2024-B<sub>4</sub>C در حین فرآیند آسیاکاری مکانیکی

شکل های ۶ تصویر TEM پودر کامپوزیتی -B<sub>4</sub>C Al2024 را پس از ۵۰ ساعت آسیا مکانیکی به همراه آنالیز EDS از زمینه آلومینیومی و ذرات کاربید بور نشان می دهد. همانطور که دیده می شود، در اثر انجام فرآیند آسیا مکانیکی، ذرات B<sub>4</sub>C به طور کاملاً یکنواخت در زمینه آلومینیومی پراکنده شده اند بطوریکه ذرات C B<sub>4</sub> حتی به داخل دانه های آلومینیوم نیز نفوذ کرده اند. علاوه بر این، هیچگونه تجمع<sup>۱</sup> یا آگلومراسیون ذرات مشاهده نمی شود. تصویر TEM پودر Al2024 نیز در شکل ۷ نشان داده شده است. این تصویر نشان دهنده ساختار نانوکریستال زمینه آلومینیومی با میانگین اندازه دانه های ۳۵ تا ۵۰ نانومتر است که این مقدار کمی بیشتر از اندازه دانه محاسبه شده به روش ویلیامسون- هال برای پودر Al2024 می باشد. در شکل ۷، نقاط روشن (جهت پیکان ها) نشان دهنده دانه های فرعی<sup>۲</sup> (نانو دانه ها) هستند.



شکل ۶- تصویر TEM پودر کامپوزیتی Al2024-B<sub>4</sub>C پس از ۵۰ ساعت آسیا به همراه آنالیز EDS از ذرات کاربید بور و زمینه آلومینیومی

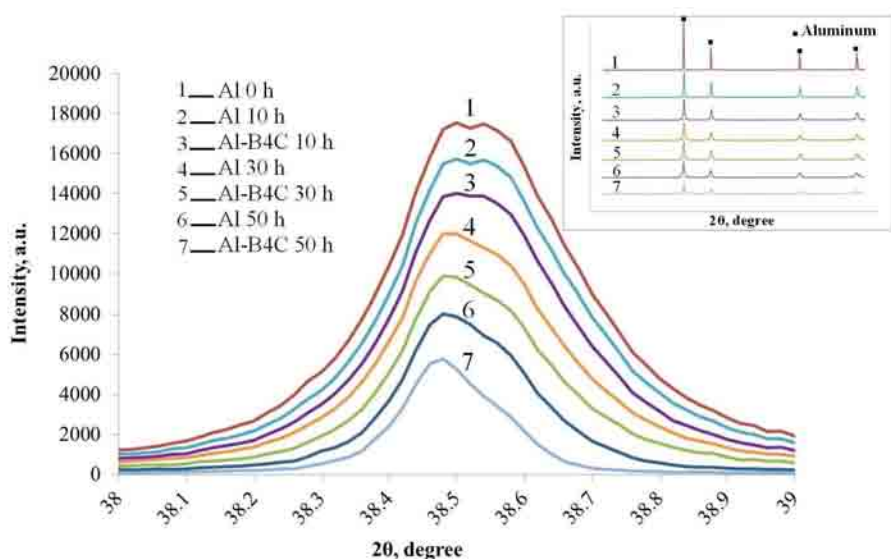
<sup>1</sup> Clustering  
<sup>2</sup> Sub-grain



شکل ۷- تصویر TEM پودر Al2024 پس از ۵۰ ساعت آسیا

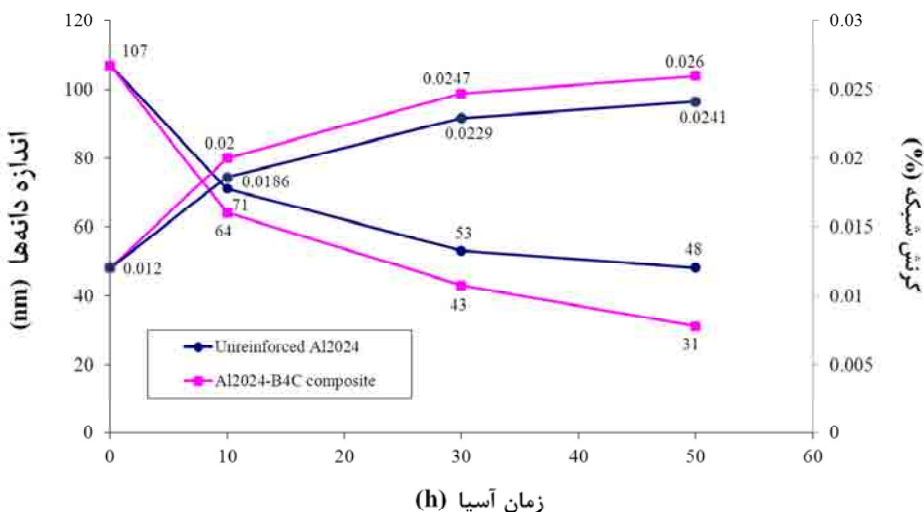
### ۲-۳- محاسبه اندازه دانه‌های زمینه آلومینیومی به روش ویلیامسون- هال

شکل ۸ الگوهای پراش اشعه X مربوط به پودر Al2024 تقویت‌نشده و پودر کامپوزیتی  $\text{Al}2024 - \text{B}_4\text{C}$  را پس از صفر، ۱۰، ۳۰ و ۵۰ ساعت آسیا نشان می‌دهد. همانطور که دیده می‌شود افزایش زمان آسیاکاری، منجر به پهن شدن پیک‌های مربوط به  $\text{Al}2024$  زمینه شده و شدت پیک‌ها را نیز کاهش داده است. علاوه براین، در یک زمان مشخص، پهن شدن پیک‌های و کاهش شدت پیک‌های پودر کامپوزیتی  $\text{Al}2024 - \text{B}_4\text{C}$  نسبت به پودر Al2024 تقویت‌نشده بیشتر است که این نشان دهنده تأثیر ذرات  $\text{B}_4\text{C}$  بر فرآیند آسیای مکانیکی می‌باشد. دلیل اصلی این پدیده، کاهش اندازه دانه‌های زمینه و افزایش شبکه در اثر افزایش زمان آسیا می‌باشد [۲۸]. در مواد کریستالی، پهنای پیک پراش پرتو ایکس با کاهش ضخامت صفحات کریستالی افزایش می‌یابد [۲۱].



شکل ۸- الگوهای پراش اشعه X مربوط به پودر Al2024 تقویت‌نشده و پودر کامپوزیتی  $\text{Al}2024-\text{B}_4\text{C}$  در زمان‌های مختلف آسیاکاری مکانیکی

تغییرات اندازه دانه‌های زمینه (محاسبه شده به روش ویلیامسون- هال) و کرنش شبکه مربوط به پودر Al2024 تقویت‌نشده و پودر کامپوزیتی Al2024-B<sub>4</sub>C بر حسب زمان آسیاکاری در شکل ۹ نمایش داده شده است. همانطور که انتظار می‌رفت، تغییر شکل شدید پلاستیک (SPD)<sup>۱</sup> اعمال شده به ذرات پودر در حین فرآیند آسیاکاری مکانیکی باعث کاهش اندازه دانه‌های آلومینیوم زمینه در حد نانومتر شده است. بطوریکه اندازه دانه‌های زمینه تا کمتر از ۱۰۰ نانومتر کاهش یافته است. در ضمن با افزایش زمان آسیاکاری، اندازه دانه‌های زمینه کاهش یافته است. همانطور که دیده می‌شود کاهش اندازه دانه‌ها در مراحل اولیه آسیا با سرعت بیشتری اتفاق افتاده است. همانطور که گفته شد، در اثر فرآیند آسیاکاری مکانیکی مقدار تغییر شکل پلاستیک زیادی بر ذرات پودر تحمیل می‌شود. این تغییرشکل باعث افزایش چگالی انواع عیوب کریستالی به ویژه نابجایی‌ها می‌شود. افزایش نابجایی‌ها و سایر عیوب کریستالی باعث افزایش زیاد انرژی سیستم می‌شود. برای کاهش انرژی سیستم و رسیدن به تعادل، نابجایی‌ها آرایش مجدد داده و دانه‌های جدید با اندازه کوچکتر تشکیل می‌شوند [۲۱].



شکل ۹- تغییرات اندازه دانه‌های زمینه و کرنش شبکه مربوط به پودر Al2024 تقویت‌نشده و پودر کامپوزیتی Al2024-B<sub>4</sub>C بر حسب زمان آسیاکاری

نکته دیگری که در شکل ۹ باید به آن توجه شود این است که اندازه دانه‌های زمینه آلومینیومی در پودر کامپوزیتی Al2024-B<sub>4</sub>C نسبت به پودر Al2024 تقویت‌نشده کاهش بیشتری داشته است که این نشان دهنده تأثیر ذرات سخت B<sub>4</sub>C بر ریزدانه شده زمینه<sup>۲</sup> آلومینیومی در حین فرآیند آسیاکاری مکانیکی می‌باشد. این تأثیر در مورد کرنش شبکه نیز صادق است بطوریکه کرنش داخلی ایجاد شده در پودر کامپوزیتی Al2024-B<sub>4</sub>C بیشتر از پودر Al2024 تقویت‌نشده است. ریزدانه شدن ساختار آلومینیوم زمینه را می‌توان به افزایش چگالی نابجایی‌ها در اثر تغییر شکل شدید پلاستیک ایجاد شده در ذرات پودر Al2024 و نیز به اختلاف ضرایب ابساط حرارتی زمینه و تقویت‌کننده نسبت داد [۲۴ و ۲۵].

<sup>1</sup> Severe plastic deformation

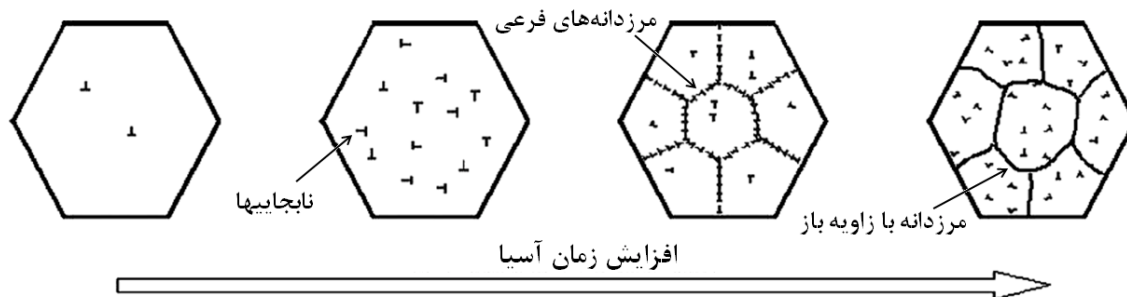
<sup>2</sup> Grain refining

در فرآیند تغییر شکل پلاستیک شدید، چگالی نابجاییها به شدت افزایش یافته و در اثر اندرکنش بین ذرات و نابجایی‌ها، مرزهای فرعی<sup>۱</sup> به وجود می‌آیند و با ادامه فرآیند تغییر شکل، این مرزهای فرعی به مرزدانه‌های باز (زاویه بزرگ)<sup>۲</sup> تبدیل می‌شوند [۲۹]. به عبارت بهتر پدیده ریزدانه شدن<sup>۳</sup> ساختار در حین فرآیند تغییر فرم شدید پلاستیک شامل مراحل زیر است:

۱. تشکیل دانه‌های فرعی

۲. جذب نابجایی‌ها توسط دیواره‌های دانه‌های فرعی<sup>۴</sup> و تبدیل مرزدانه‌های فرعی به مرزدانه با زاویه باز [۳۰].

در شکل ۱۰ تصویر شماتیک فرآیند ریزدانه شدن ساختار در حین فرآیند آسیای مکانیکی نشان داده شده است.



شکل ۱۰- تصویر شماتیک فرآیند ریزدانه شدن ساختار در حین فرآیند آسیای مکانیکی [۳۱]

فرآیند ریزدانه شدن زمینه آلومینیومی در حضور ذرات B<sub>4</sub>C (که به سختی دچار تغییر شکل پلاستیک می‌شوند) را می‌توان با استفاده از مکانیزم استحکام بخشی اورووان<sup>۵</sup> توضیح داد. به این ترتیب که با اضافه شدن ذرات B<sub>4</sub>C به زمینه آلومینیومی، تحرک نابجایی‌ها کاهش و چگالی آن‌ها افزایش پیدا می‌کند. در واقع اضافه شدن ذرات B<sub>4</sub>C باعث شدن مکانیزم اورووان شده و درنتیجه نرخ کارسختی را افزایش می‌دهد. با افزایش نرخ کارسختی، فرآیند ریزدانه شدن تشدید شده و لذا اندازه نهایی دانه‌ها در پودر حاوی ذرات B<sub>4</sub>C ریزتر می‌شود [۲۶-۹]. این موضوع توسط Parvin و همکارانش [۳۲] در مورد پودرهای Al6061-SiC و Al6061

نیز به اثبات رسیده است.

### ۳-۳- چگالی ظاهری

شکل ۱۱ تغییرات چگالی ظاهری پودرهای AI2024-B<sub>4</sub>C-AI2024 را بر حسب زمان آسیا نشان می‌دهد. برای هر دو سیستم، سه مرحله را می‌توان در تغییرات چگالی ظاهری شناسایی کرد: کاهش چگالی، افزایش چگالی و در نهایت حالت پایدار. در شکل ۱۱ چگالی ظاهری در زمان صفر به این معنی است که چگالی پودر AI2024 قبل از آسیا و چگالی پودر B<sub>4</sub>C-AI2024 بعد از یک فرآیند مخلوطسازی اولیه در یک آسیای کم انرژی اندازه‌گیری شده است. همانطور که در این شکل دیده می‌شود چگالی ظاهری پودر کامپوزیتی AI2024-B<sub>4</sub>C در زمان صفر کمتر از چگالی پودر AI2024 تقویت‌نشده است. این

<sup>1</sup> Sub-boundaries

<sup>2</sup> High-angle grain boundary

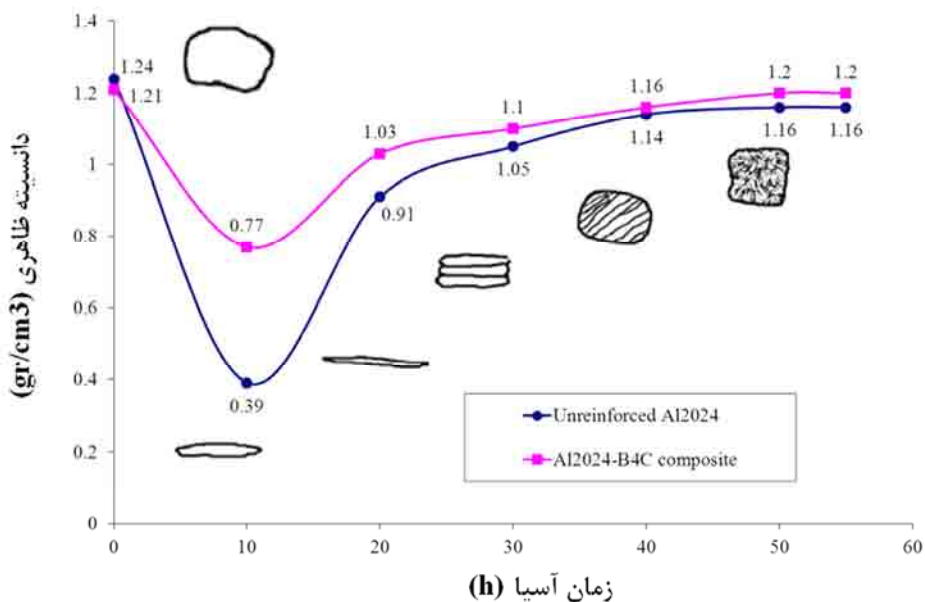
<sup>3</sup> Grain refinement

<sup>4</sup> Sub-grain walls

<sup>5</sup> Orowan strengthening mechanism

مسئله به خاطر مورفولوژی کروی پودر Al2024 اولیه است که یک رنج وسیعی از اندازه ذرات را شامل می‌شود (شکل ۱). این رنج وسیع از اندازه ذرات باعث پرشدن فضاهای خالی بین ذرات شده و چگالی ظاهری را افزایش می‌دهد. اما در مورد پودر Al2024-B4C، از آنجاییکه سایز ذرات تقویت‌کننده از اندازه فضاهای خالی بین ذرات پودر آلومینیوم بیشتر است، بنابراین ذرات B4C قادر به پر کردن فضاهای خالی نبوده و چگالی کاهش پیدا می‌کند.

در زمان‌های اولیه آسیا (۱۰ تا ۱۵ ساعت)، چگالی ظاهری بطور پیوسته کاهش پیدا می‌کند. این کاهش به دلیل شکل‌گیری ذرات ورقه‌ای شکل می‌باشد (شکل‌های ۲a و ۲b) که فضاهای خالی بین ذرات پودر را افزایش می‌دهد. با بیشتر شدن زمان آسیا، ذرات ورقه‌ای شکل، کارسخت شده و می‌شکنند و ذرات هم محور به تدریج شکل می‌گیرند (شکل‌های ۲c و ۲d). این ذرات فضاهای خالی را پر کرده و چگالی افزایش پیدا می‌کند. بعد از ۵۰ ساعت، تغییری در چگالی ظاهری مشاهده نمی‌شود؛ چرا که در این مرحله از آسیا بین مکانیزم‌های شکست و جوش سرد تعادل برقرار شده و حالت پایدار اتفاق افتاده است (شکل ۲e).



شکل ۱۱- تغییرات چگالی ظاهری پودرهای Al2024 و Al2024-B4C بر حسب زمان آسیا

تغییرات چگالی ظاهری پودر Al2024-B4C دقیقاً مشابه با پودر Al2024 است با این تفاوت که چگالی ظاهری پودر کامپوزیتی در تمامی مراحل آسیا (به جز زمان صفر) از چگالی ظاهری پودر Al2024 تقویت‌کننده بیشتر است. علاوه بر این همانطور که در تصاویر SEM (شکل‌های ۴a تا ۴e) دیده شد، حالت پایدار در پودر کامپوزیتی زودتر اتفاق افتاده (در ۴۰ ساعت) و بنابراین از این زمان به بعد تغییری در چگالی ظاهری پودر کامپوزیتی مشاهده نمی‌شود. این نتایج مطابق با مشاهدات Fogagnolo و همکارانش [۱۹] در مورد پودرهای Al6061-Si<sub>3</sub>N<sub>4</sub>، Al6061 و Al6061-AlN می‌باشد.

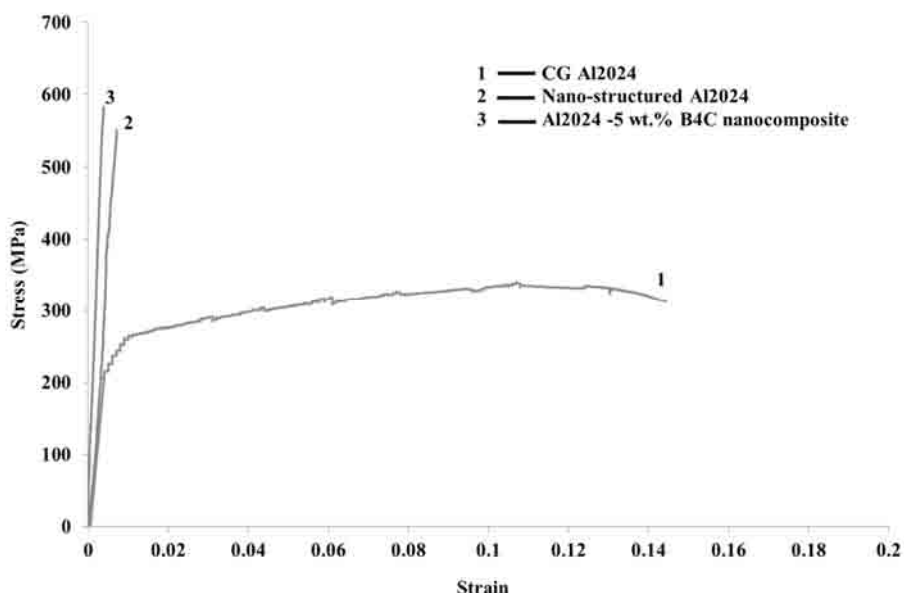
#### ۴-۳- بررسی خواص مکانیکی نمونه‌های اکستروود شده

در جدول ۳ نتایج حاصل از آزمون کشش و سختی نشان شده است. منحنی تنش-کرنش مهندسی نمونه‌ها نیز در شکل ۱۲ با یکدیگر مقایسه شده است.

### جدول ۳- نتایج به دست آمده از آزمون کشش و سختی

نام نمونه	استحکام کششی نهایی (MPa)	درصد ازدیاد طول (MPa)	استحکام تسلیم (MPa)	سختی (HBN)
نانوکامپوزیت Al2024-B <sub>4</sub> C (NC Al-B <sub>4</sub> C)	۵۸۲	۵۸۲	۵۸۲	۱۷۳
آلومینیوم نانوساختار (NC Al)	۵۵۰	۵۵۰	۵۵۰	۱۶۵
نمونه مرجع (CG Al)	۳۴۰	۳۴۰	۲۰۶	۸۷

همانطور که دیده می‌شود نمونه NC Al-B<sub>4</sub>C بیشترین استحکام و سختی را داشته اما درصد ازدیاد طول آن از بقیه نمونه‌ها کمتر است. در مقابل، نمونه CG Al بیشترین درصد ازدیاد طول را دارد اما استحکام و سختی آن کمترین مقدار را دارا می‌باشد. تغییرات استحکام تسلیم و استحکام کششی نمونه‌های اکسترود شده را می‌توان با استفاده از مکانیزم‌های هال- پچ و اورووان توضیح داد. براساس رابطه هال- پچ تنش تسلیم با اندازه دانه‌ها رابطه معکوس دارد؛ بنابراین با کاهش اندازه دانه‌ها، تنش تسلیم افزایش پیدا می‌کند [۳۳]. همانطور که قبلاً گفته شد فرآیند آسیای مکانیکی باعث ریزدانه شدن ساختار در حد نانومتر می‌شود. بنابراین طبق رابطه هال- پچ تنش تسلیم نمونه Al NC از نمونه CG Al بیشتر خواهد بود. تحلیل فیزیکی این مسئله به این صورت است که: ساختارهای دانه‌ریز به ویژه مواد نانوساختار، مرزدانه‌های بسیار زیادی دارند. از آنجاییکه مرزدانه‌ها به عنوان مانع در برابر حرکت نابجایی‌ها عمل می‌کنند بنابراین با افزایش مرزدانه‌ها موانع موجود در مسیر حرکت نابجاییها افزایش یافته و به تدریج در پشت مرزدانه‌ها متتمرکز می‌شوند و به همین دلیل استحکام زیاد شده اما انعطاف‌پذیری کاهش پیدا می‌کند [۳۴]. Han و همکارانش [۳۴] در تحقیقات مشابهی که بر روی آلیاژ Al5083 انجام داده‌اند ثابت کردند که فرآیند آسیاکاری مکانیکی باعث افزایش استحکام آلیاژ تا ۷۱۳ MPa شده اما انعطاف‌پذیری آن را به ۳٪ کاهش می‌دهد.



شکل ۱۲- مقایسه منحنی تنش کرنش نمونه‌های اکسترود شده

در مقایسه بین نمونه‌های Al و NC Al-B<sub>4</sub>C، چون اندازه دانه‌های زمینه آلومینیومی در نمونه NC Al-B<sub>4</sub>C کوچکتر است (شکل ۹) بنابراین تمرکز نابجایی‌ها در پشت مرزدانه‌ها بیشتر بوده و بر اساس رابطه هال-پچ استحکام آن نیز بیشتر خواهد بود. با مقایسه استحکام کششی نمونه‌های NC Al-B<sub>4</sub>C و Al تأثیر ذرات کاربید بور بر افزایش استحکام مشخص می‌شود. همانطور که انتظار می‌رود، با اضافه شدن ذرات C به زمینه آلومینیومی استحکام افزایش می‌یابد اما انعطاف‌پذیری کم می‌شود. تأثیر حضور ذرات C بر افزایش استحکام نمونه NC Al-B<sub>4</sub>C را می‌توان با استفاده از مکانیزم استحکام بخشی اورووان توجیه کرد [۳۵و۳۳]. بر اساس این مکانیزم، با اضافه شدن ذرات تقویت‌کننده به زمینه Al2024، موائع موجود در مسیر حرکت نابجایی‌ها افزایش پیدا می‌کند. بنابراین تنش لازم برای عبور نابجایی‌ها از میان موائع (ذرات) افزایش یافته و بنابراین استحکام زیاد می‌شود [۱۱].

با توجه به جدول ۳، سختی نمونه Al NC تقریباً دو برابر نمونه CG است که دلیل اصلی آن، طبق قانون هال-پچ، ریزدانه شدن ساختار در حین فرآیند آسیاکاری مکانیکی می‌باشد [۲۳و۲۵]. با توجه به اینکه سختی کاربید بور خیلی بیشتر از سختی آلومینیوم است، افزایش سختی با افزودن کاربید بور دور از انتظار نیست. این مورد با توجه به قانون مخلوط‌ها نیز به راحتی قابل تحلیل است [۱۱و۳۶]. بنابراین بدیهی است که سختی نمونه NC Al-B<sub>4</sub>C از نمونه Al NC بیشتر است. همانطور که در جدول ۳ دیده می‌شود، افزایش استحکام کششی نمونه‌ها با انعطاف‌پذیری (درصد ازدیاد طول) رابطه عکس دارد. از آنجایی که میزان انعطاف‌پذیری و تغییرشکل به شدت وابسته به میزان تحرک نابجایی‌ها داخل نمونه است، بنابراین دلیلی که می‌توان برای توجیه کمتر بودن درصد ازدیاد طول نمونه NC Al-B<sub>4</sub>C ارائه کرد این است که در این کامپوزیت به دلیل حضور ذرات C و بیشتر بودن چگالی مرزدانه‌ها، موائع موجود در مسیر حرکت نابجایی‌ها بیشتر است؛ بنابراین نابجایی‌ها به سختی حرکت می‌کنند که این مسئله منجر به کاهش میزان درصد ازدیاد طول یا همان انعطاف‌پذیری نانوکامپوزیت NC Al-B<sub>4</sub>C می‌شود [۱۱].

یکی دیگر از دلایل کم بودن انعطاف‌پذیری نمونه‌های کامپوزیتی نسبت به آلیاژ تقویت‌نشده، کمتر بودن سطح زیر منحنی تنش-کرنش است. همان طور که در شکل ۱۲ دیده می‌شود، سطح زیر منحنی تنش-کرنش نمونه Al CG که بیشترین مقدار درصد ازدیاد طول را دارد از سایر نمونه‌ها بیشتر است. بر عکس، سطح زیر منحنی تنش-کرنش نمونه NC Al-B<sub>4</sub>C که پایین‌ترین میزان درصد ازدیاد طول را دارد، از سطح زیر منحنی تنش-کرنش سایر نمونه‌ها کمتر است. از طرف دیگر نمونه‌های NC Al-B<sub>4</sub>C و NC Al قبل از اینکه وارد ناحیه پلاستیک شوند دچار شکست شده‌اند این مسئله نیز شکست ترد و کم بودن انعطاف‌پذیری این نمونه‌ها را تأیید می‌کند. درست به همین دلیل است که تنش تسلیم و استحکام کششی نهایی در نمونه‌های NC Al-B<sub>4</sub>C و NC Al با هم برابر است.

#### ۴- نتیجه‌گیری

- مقایسه تغییرات ساختاری و مورفولوژی پودر Al2024-B<sub>4</sub>C تقویت‌نشده و پودر کامپوزیتی Al2024 با ۵۰ ساعت آسیا نشان می‌دهد که افزودن ذرات سرامیکی به پودر Al2024 منجر به تسريع مراحل مختلف در فرآیند آسیاکاری مکانیکی شده

است بطوریکه زمان لازم برای ایجاد ذرات هم محور کاهش می‌یابد.

- محاسبه اندازه دانه‌های آلومینیوم زمینه بیانگر این مطلب است که تغییر شکل شدید پلاستیک اعمال شده به ذرات پودر در جین فرآیند آسیاکاری مکانیکی باعث کاهش اندازه دانه‌های آلومینیوم زمینه در حد نانومتر شده است. بطوریکه اندازه دانه‌های زمینه تا کمتر از ۱۰۰ نانومتر کاهش یافته است.

- تغییرات چگالی ظاهری پودر Al2024-B<sub>4</sub>C دقیقاً مشابه با پودر Al2024 است با این تفاوت که چگالی ظاهری پودر کامپوزیتی در تمامی مراحل آسیاب (به جز زمان صفر) از چگالی ظاهری پودر Al2024 تقویت‌نشده بیشتر است.

- در بین نمونه‌های اکسترود شده، نمونه NC Al-B<sub>4</sub>C بیشترین استحکام (۵۸۲ MPa) و سختی (۱۷۳ HBN) را داشته اما انعطاف‌پذیری آن بسیار اندک است. دلیل این مسئله، بالا بودن تعداد مواد موجود در مسیر حرکت نابجایی‌هاست که باعث محدود شدن تحرک آن‌ها می‌شود.

## مراجع

1. S. Suresh, A. Mortensen, A. Needleman, "Fundamentals of Metal- Matrix Composites"; Butterworth-Heinemann, London, 1993.
2. A. Sajjadi, H. R. Ezatpour, H. Beygi, "Microstructure and mechanical properties of Al-Al<sub>2</sub>O<sub>3</sub> micro and nano composites fabricated by stir casting"; Mater. Sci. Eng. A 528: 8765– 8771 (2011).
3. H. R Ezatpour, H. Beygi, S. A. Sajjadi, M. Torabi parizi, "Microstructure and mechanical properties of Al-Al<sub>2</sub>O<sub>3</sub> micro and nano composites fabricated by a novel stir casting rout"; 2nd Conferences on Application of nanotechnology in Science, Engineering and Medicine, Mashhad-Iran (2001).
4. J. Onoro, M. D. Salvador, L. E. G. Cambronero, "High-temperature mechanical properties of aluminium alloys reinforced with boron carbide particles", Mater. Sci. Eng. A 499: 421–426 (2009).
5. حمیدرضا لشگری، مسعود امامی، "بررسی تأثیر استراسیوم بر ریزساختار کامپوزیت‌های ریختگی A356-B<sub>4</sub>C"; فصلنامه ریخته‌گری، سال بیست و هفتم، شماره ۹۰، ۱۳۸۷.
6. J. Dutkiewicz, L. Litynska, W. Maziarz, K. Haberko, W. Pyda, A. Kanciruk, "Structure and properties of nanocomposites prepared from ball milled 6061aluminium alloy with ZrO<sub>2</sub> nanoparticles"; Cryst. Res. Technol. 44: 1163 – 1169 (2009).
7. J. M. Torralba, C. E. Costa, F. Velasco, F. "P/M aluminum matrix composites: an overview"; J.

- Mater. Process. Technol. 133: 203–206 (2003).
8. A. Alizadeh, E. Taheri-Nassaj, N. Ehsani, “Synthesis of boron carbide powder by a carbothermic reduction method”; J. Euro. Ceram. Soc. 24: 3227–3234 (2004).
۹. زهره رضوی حسابی، "اثر نانوذرات آلومنیا بر فرآوری و خواص مکانیکی نانو کامپوزیت  $Al-5\% vol Al_2O_3$ "؛ پایان‌نامه دکتری، دانشکده مهندسی و علم مواد دانشگاه صنعتی شریف، ۱۳۸۷.
10. A. Alizadeh, E. Taheri-Nassaj, M. Hajizamani, “Hot Extrusion Process Effect on Mechanical Behavior of Stir Cast Al Based Composites Reinforced with Mechanically Milled  $B_4C$  Nanoparticles”; J. Mater. Sci. Technol. 27: 1113-1119 (2011).
11. M. Rahimian, N. Parvin, N. Ehsani, “Investigation of particle size and amount of alumina on microstructure and mechanical properties of Al matrix composite made by powder metallurgy”; Mater. Sci. Eng. A 527: 1031–1038 (2010).
12. C. Nie, J. Gu, J. Liu, D. Zhang, “Investigation on microstructures and interface character of  $B_4C$  particles reinforced 2024Al matrix composites fabricated by mechanical alloying”; J. Alloys Compd. 454: 118–122 (2008).
13. B. Ogel, R. Gurbuz, “Microstructural characterization and tensile properties of hot pressed Al–SiC composites prepared from pure Al and Cu powders”; Mater. Sci. Eng. A 301: 213–220 (2001).
14. H. X. Peng, Z. Fan, D. S. Mudher, J. R. G. Evans, “Microstructures and mechanical properties of engineered short fiber reinforced aluminium matrix composites”; Mater. Sci. Eng. A 335: 207–216 (2002).
15. J. Ye, J. He, J. M. Schoenung, “Cryomilling for the Fabrication of a Particulate  $B_4C$  Reinforced Al Nanocomposite: Part I. Effects of Process Conditions on Structure”; Metall. Mater. Trans. A 37: 3099-3109 (2006).
16. C. Nie, J. Gu, J. Liu, D. Zhang, “Investigation on microstructures and interface character of  $B_4C$  particles reinforced 2024Al matrix composites fabricated by mechanical alloying”, J. Alloys Compd. 454: 118–122 (2008).
17. J. Ye, B. Q. Han, Z. Lee, B. Ahn, S. R. Nutt, J. M. Schoenung, “A tri-modal aluminum based composite with super-high strength” Scripta Mater. 53: 481- 486 (2005).
18. C. Suryanarayana, “Mechanical alloying and milling”, Prog. Mater. Sci. 46:1-184 (2001).

19. J. B. Fogagnolo, F. Velasco, M. H. Robert, J. M. Torralba, "Effect of mechanical alloying on the morphology, microstructure and properties of aluminium matrix composite powders", Mater. Sci. Eng. A 342: 131-143 (2003).
20. R. Sankar, P. Singh, "Synthesis of 7075 Al/SiC particulate composite powders by mechanical alloying"; Mater. Lett. 36: 201–205 (1998).
۲۱. رضا اسدی‌فرد، نادر پروین، جمشید آقازاده، پیمان صفارزاده، "بررسی تأثیر فرایند آلیاژسازی مکانیکی بر مورفولوژی و اندازه دانه پودرهای کامپوزیتی Al6061-SiCp"; هشتمین کنگره سالانه انجمن مهندسین متالورژی ایران؛ دانشکده مهندسی مواد دانشگاه صنعتی اصفهان؛ ۱۳۸۳.
۲۲. علی علیزاده، "ساخت و بررسی خواص مکانیکی و سایشی نانوکامپوزیت Al-B<sub>4</sub>C"، پایان‌نامه دکتری، دانشکده فنی و مهندسی دانشگاه تربیت مدرس، ۱۳۹۰.
23. S. S. Razavi Tousi, R. Yazdani Rad, E. Salahi, I. Mobasherpour, M. Razavi, M. "Production of Al–20 wt.% Al<sub>2</sub>O<sub>3</sub> composite powder using high energy milling", Powder Technol. 192: 346–351 (2009).
24. E. Taheri-Nassaj, A. Alizadeh, "Effect of Milling and B<sub>4</sub>C Nanoparticles on the Mechanical Properties of Nanostructured Aluminum Composite Produced by Mechanical Milling and Hot Extrusion", Adv. Mater. Res. 383-390: 2733-2736 (2012).
25. A. Alizadeh, E. Taheri-Nassaj, "Mechanical properties and wear behavior of Al–2 wt. % Cu alloy composites reinforced by B<sub>4</sub>C nanoparticles and fabricated by mechanical milling and hot extrusion"; Mater. Charact. 67: 119-128 (2011).
26. A. Alizadeh, E. Taheri-Nassaj, H. R. Baharvandi, "Preparation and investigation of Al–4 wt. % B<sub>4</sub>C nanocomposite powders using mechanical milling"; Bull. Mater. Sci. 34:1039–1048 (2011).
27. M. Tavoosi, F. Karimzadeh, M. H. Enayati, "Fabrication of Al–Zn/α-Al<sub>2</sub>O<sub>3</sub> nanocomposite by mechanical alloying", Mater. Lett. 62: 282–285 (2008).
28. H. Abdoli, H. Asgharzadeh, E. Salahi, "Sintering behavior of Al–AlN-nanostructured composite powder synthesized by high-energy ball milling", J. Alloys Compd. 473: 116-122 (2009).
29. E. Hosseini, M. Kazeminezhad, "The effect of ECAP die shape on nano-structure of materials", Comp. Mater. Sci. 44: 962–967 (2009).
30. Akihiro Yamashita, Daisuke Yamaguchi, Zenji Horita, Terence G. Langdon, "Influence of pressing temperature on microstructural development in equal-channel angular pressing", Mater.

- Sci. and Eng A 287:100–106 (2000).
31. D. B. Witkin, E. J. Lavernia, “Synthesis and mechanical behavior of nanostructured materials via Cryomilling”, Prog. Mater. Sci. 51:1–60 (2006).
32. N. Parvin, R. Assadifard, P. Safarzadeh, S. Sheibanib, P. Marashi, “Preparation and mechanical properties of SiC-reinforced Al6061 composite by mechanical alloying”; Mater. Sci. Eng. A 492: 134–140 (2008).
33. G. E. Dieter, "Mechanical Metallurgy", Third Edition, McGraw-Hill, 1976.
34. B. Q. Han, J. Ye, F. Tang, J. Schoenung, E. J. Lavernia, “Processing and behavior of nanostructured metallic alloys and composites by Cryomilling”, J. Mater. Sci. 42:1660–1672 (2007).
35. C. C. Koch, “Optimization of strength and ductility in nanocrystalline and ultrafine grained metals”, Scripta Mater. 49: 657–662 (2003).
۳۶. مهدی رحیمیان، ناصر احسانی، حمیدرضا بهاروندی، نادر پروین، "بررسی اثر مقدار ذرات  $\text{Al}_2\text{O}_3$  بر خواص کامپوزیت  $\text{Al}-\text{Al}_2\text{O}_3$  ساخته شده به روش متالورژی پودر"، یازدهمین کنگره سالانه انجمن مهندسین متالورژی ایران، شرکت سهامی ذوب آهن اصفهان، ۱۳۸۶.





## تأثیر نوع حلال بر سنتز آلومینای مزوپور با استفاده از کوپلیمر سه-بلوکی پلارونیک P123

عادله معطی<sup>۱</sup>، جعفر جوادپور<sup>۱</sup>، منصور انبیا<sup>۲</sup>، علیرضا بدیعی<sup>۳</sup>

<sup>۱</sup> دانشکده مهندسی مواد و متالورژی، دانشگاه علم و صنعت ایران، <sup>۲</sup> دانشکده شیمی، دانشگاه علم و صنعت ایران، <sup>۳</sup> دانشکده شیمی، دانشگاه تهران

Javadpourj@iust.ac.ir

**چکیده:** در تحقیق حاضر، آلومینای مزوپور، به روش خودچینشی القاء شده توسط تبخیر (EISA) با استفاده از حلال مناسب سنتز شد. نمونه‌های مزوپتخلخل آلومینایی با استفاده از آلومینیوم اینوپروپکساید و آلومینیوم نیترات به عنوان پیش‌ماده (جفت اسید و باز) در حضور کوپلیمر سه-بلوک P123 به عنوان قالبگیر و حلال‌های اتانول و تراهیدروفوران تهییه شدند. مشخصات فیزیکی نمونه‌ها با استفاده از جذب و واجذب نیتروژن (BET)، میکروسکوپ پروب رویشی (SPM)، طیف سنجی مادون قرمز (FTIR)، آنتالیز حرارتی (DTA)، TG و پراش اشعه ایکس (XRD) بررسی شد. نتایج طیف سنجی مادون قرمز و آنالیز حرارتی، خروج کامل قالبگیر را حین عملیات حرارتی تأیید نمود. نتایج جذب و واجذب نیتروژن نشان دادند که پودرهای سنتز شده در تراهیدروفوران و اتانول، طبق دسته‌بندی آبیپاک به ترتیب نوع IV با هیسترزیس  $H_2$  و  $H_3$  هستند که حضور خفرات در محدوده مزو را تأیید می‌نماید. پودرهای مزوپور در حضور اتانول و تراهیدروفوران به ترتیب دارای سطح ویژه ۱۰۰ و ۱۲۰ مترمربع بر گرم و حجم خفرات ۰/۲۵ و ۰/۴ سانتیمترمکعب بر گرم بودند. نمودار توزیع اندازه خفرات (BJH) در حضور حلال تراهیدروفوران، خفرات با توزیع اندازه باریکتری را نشان داد. در این تحقیق نشان داده می‌شود که تراهیدروفوران در مقایسه با اتانول، نقش مؤثرتری در ایجاد یک ساختار یکنواخت دارد.

**کلید واژه:** آلومینای مزوپور، خودچینشی القاء شده توسط تبخیر، اثر حلال، تراهیدروفوران، جذب و واجذب نیتروژن.

### ۱- مقدمه

برخلاف پیشرفت‌های حاصله در زمینه سنتز مزوپور سیلیکاتی، تحقیقات چندانی در زمینه مزوپور آلومینایی صورت نگرفته است. روش‌هایی که برای سنتز سیلیکایی مزوپور استفاده می‌شوند، به دلیل هیدرولیز و تراکم سریع الکوکسید آلومینیوم، برای سنتز آلومینا جوابگو نیستند [۱]. تاکنون سنتز آلومینایی مزوپور، بر پایه سل ژل خودچینشی، در حضور قالب‌گیرهای نرم و سخت انجام شده است. به طور مثال، اولین سنتز آلومینای منظم توسط وادری و همکارانش [۲]، با استفاده از اسید کربوکسیلیک به عنوان قالب‌گیر در حلال الكلی با وزن ملکولی پایین انجام شد. یکی از روش‌های حائز اهمیت در این میان، خودچینشی القاء شده توسط تبخیر (EISA) است که سبب ایجاد خواص ساختاری مناسب می‌شود. این روش می‌تواند به کلی، جایگزین چینش همزمان<sup>۱</sup> پیش‌ماده و قالب سورفکتانتی که به‌طور ویژه ای برای سنتز مواد غیر سیلیکاتی استفاده می‌شود، شود [۴-۲]. در تحقیق حاضر، از روش کای [۲] و تیان [۳]، بر مبنای کاربرد پیش‌ماده‌های اسیدی و بازی، به منظور کنترل pH و فرایند

<sup>۱</sup> cooperative

هیدرولیز، در کنار روش خودچینشی القا شده توسط تبخیر، استفاده می‌شود. همچنین از نیترات آلمینیوم آبدار، به دلیل آزادسازی تدریجی آب ملکولی [۲] جهت کنترل فرایند هیدرولیز استفاده می‌شود. علاوه بر این، از حلال تتراهیدروفوران، به عنوان جایگزینی برای اتانول، به لحاظ حفظ ساختار و نگهداری نظم ایجاد شده هنگام خروج حجم بیشتری حلال از سیستم [۴, ۵] استفاده می‌شود. با مقایسه نمودارهای تعادل فازی P123-آب-اتanol و P123-آب-تتراهیدروفوران [۴]، مشخص می‌شود که ساختارهای کریستال مایع تا ۲۵wt% اتانول، موجودیت خود را حفظ می‌کنند. این در حالیست که در حضور تتراهیدروفوران تا ۴۰wt%، ساختار کریستال مایع با نظم خودچینشی بیشتر حفظ می‌شود [۴]. همچنین به دلیل تمایل کمتر تتراهیدروفوران به میانکنش با بلوک‌های P123 هنگام خروج حلال از سیستم [۵]، نظم ساختار حفرات نیز بهتر حفظ می‌گردد.

## ۲- فعالیت‌های تجربی

### ۲-۱- مواد استفاده شده و روش سنتز

از آلمینیوم ایزوپروپوکساید (خلوص  $\leq 98\%$  و Aldrich)، نیترات آلمینیوم غیر هیدراته ۹ (خلوص  $\leq 98\%$  و کوپلیمر سه-بلوک P123 (وزن ملکولی ۵۸۰۰ و Aldrich)، تتراهیدروفوران (خلوص  $\leq 99\%$  و Merck) و اتانول (خلوص ۹۶% و Merck) که در آزمایشگاه جهت از دست دادن آب، خشک شدن، استفاده شد.

به منظور سنتز آلمینیای مزوپور، یک گرم نیترات آلمینیوم غیر هیدراته ۹ آبه در ظرف تفلونی ۲۵۰CC به ۳۶ml تتراهیدروفوران و ۲۰ ml اتانول افزوده شد و به مدت ۷۰ دقیقه در دمای  $40^{\circ}\text{C}$  با استفاده از همزن مغناطیسی مخلوط گردید. دمای سنتز  $40^{\circ}\text{C}$  بر اساس نمودار دما بر حسب غلظت P123 در حلال آب، به نحوی انتخاب شد تا ساختار کریستال مایع با میزان ۵۰-۷۰wt% حلال در ناحیه هگزاگونالی قرار گیرد [۶]. پس از اختلاط، ۰.۸۴۲ g آلمینیوم ایزوپروپوکساید به آرامی به محلول‌ها افزوده شد و به مدت ۶ ساعت در همان دما مخلوط گردید. محلول نهایی تحت شرایط ایستاخشک گردید تا ژل تر به توده‌ای خشک تبدیل شود. در نهایت، نمونه در کوره تیوبی در دمای  $400^{\circ}\text{C}$  به مدت ۴ ساعت، با نرخ گرمایش  $1^{\circ}\text{C}/\text{min}$  تکلیس شد. نمونه‌های سنتز شده در حضور اتانول و تتراهیدروفوران، به ترتیب E0 و T0 نامگذاری شدند.

### ۲-۲- روش‌های شناسایی مواد

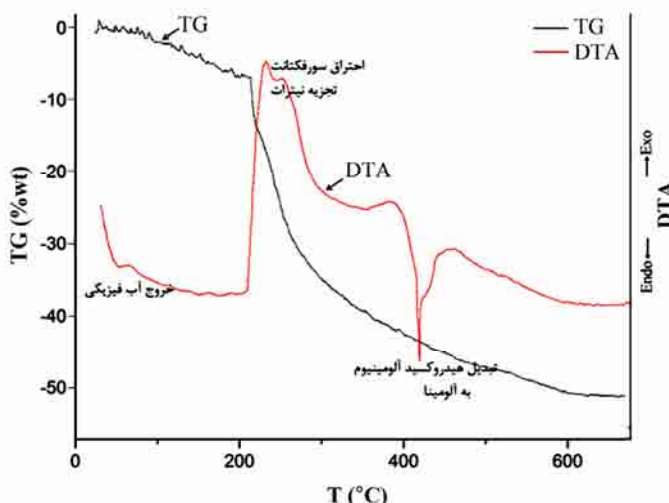
آنالیز حرارتی (DTA/TG) به وسیله دستگاه SHIMADZU DTA50/TG50 با نرخ  $10^{\circ}\text{C}/\text{min}$  انجام گرفت. پراش اشعه ایکس (XRD) به منظور شناسایی فازهای موجود در نمونه، با استفاده از دستگاه Philips XPERT Pro در طول موج اشعه ایکس  $1/542 \text{ آنگستروم} \text{ پرتو}_\text{h} \text{ مس انجام شد. طیف سنجی مادون قرمز به منظور بررسی فرآیند هیدرولیز و تراکم، در دستگاه Shimadzu (مدل: ۸۴۰۰s) در محدوده طول موج} \text{cm}^{-1} \text{ در محدوده} ۴۰۰-۴۰۰۰ \text{ انجام گرفت. اندازه گیری جذب و واجدب نیتروژن، در دمای} ۱۹۶^{\circ}\text{C}-\text{به وسیله دستگاه BELSORP mini II به منظور بررسی ویژگی‌های فیزیکی ساختار حفرات، انجام شد. مطالعه پراش اشعه ایکس زاویه پایین(SAXS) برای تشخیص ساختار حفرات، به وسیله دستگاه PANalitical XPERTPRO (مدل JEOL JEM 2100 HRTEM, 200kV)، برای انجام شد. از تکنیک میکروسکوپ الکترونی عبوری با قدرت تفکیک بالا (JEOL JEM 2100 HRTEM, 200kV)، برای بررسی مورفولوژی ذرات استفاده شد.}$

آماده سازی نمونه‌ها به روش تبخیر سوسپانسیون اتانولی روی گرید مسی انجام شد. بررسی میکروسکوپ پریوب روبشی (SPM) به کمک دستگاه DME Dualscope TM C-26 انجام شد.

### ۳- نتایج و بحث

#### ۱- آنالیز حرارتی - DTA/TG

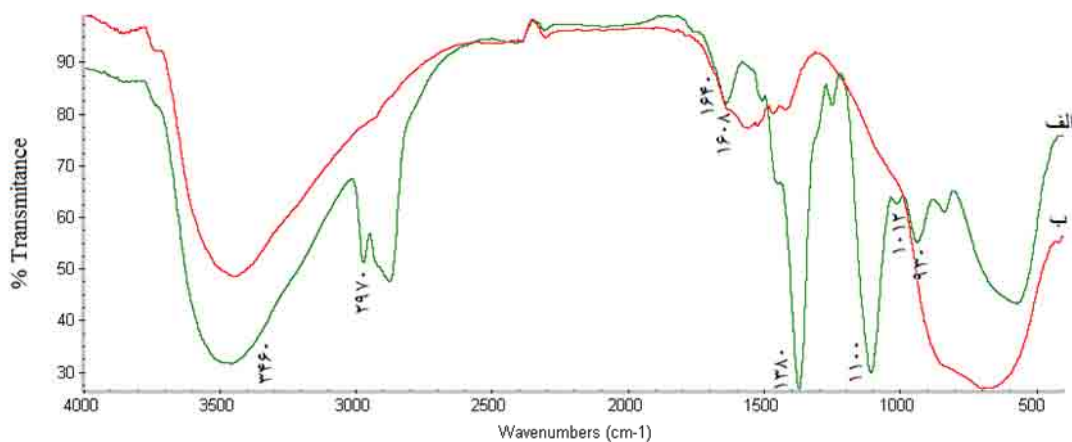
شکل ۱، آنالیز حرارتی افتراقی و وزن سنجی حرارتی DTA/TG نمونه را قبل از انجام عملیات حرارتی، مؤید سه مرحله افت وزنی در دماهای مختلف نشان می‌دهد. بیشترین افت وزنی مربوط به دمای  $200\text{--}400^{\circ}\text{C}$  است. درصد کلی افت وزن  $51/15\%$  است. اولین افت وزن  $6/79\%$  و مربوط به دمای  $100\text{--}200^{\circ}\text{C}$  است که به احتمال زیاد مربوط به از دست دادن اجزاء جذب شده فیزیکی مانند آب است. افت وزنی دوم تقریباً در دمای  $200\text{--}300^{\circ}\text{C}$  است، که مربوط به تجزیه کامل پلارونیک P123 است. سومین افت وزنی تقریباً در دمای  $300\text{--}600^{\circ}\text{C}$ ، می‌تواند مربوط به از دست دادن گروه هیدروکسیل و تبدیل آلومینای هیدراته به آلومینای انتقالی باشد. روند تغییرات وزنی، مشابه آلومینای مزوپور سنتز شده به روش خودچینشی [۲] است.



شکل ۱- آنالیز حرارتی ژل هیدروکسید آلومینیوم بدون انجام فرایند پیرسازی و خشک کردن.

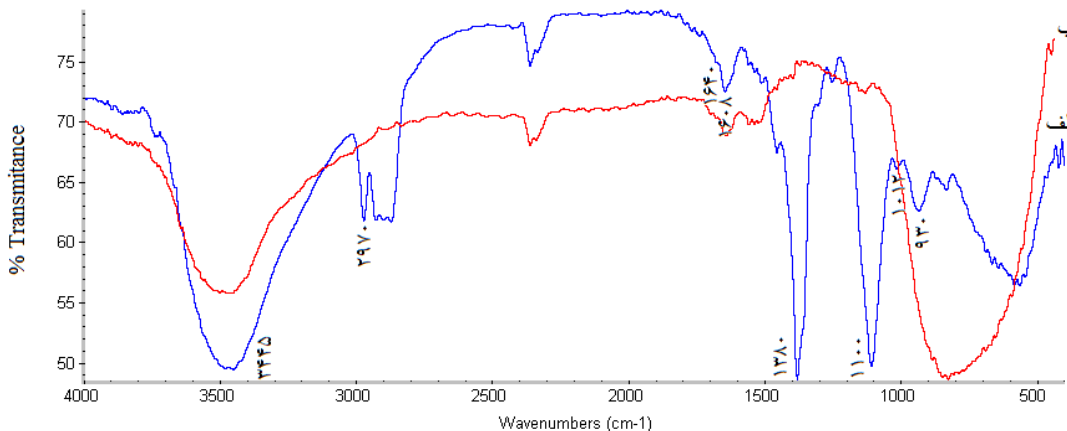
#### ۲- آنالیز طیف سنجی مادون قرمز - FTIR

در شکل ۲ و ۳، به ترتیب نتایج طیف سنجی مادون قرمز نمونه‌های سنتز شده با تتراهیدروفوران و اتانول ارائه شده است. بررسی شواهد مربوط به خروج قالبگیر در اشکال ۲-الف و ۳-الف نشان می‌دهد که باندهای جذبی در  $1100\text{--}1640\text{--}2970\text{--}3500\text{ cm}^{-1}$  مربوط به گروه‌های C-H، C-C و C-O است. باند کششی پلارونیک P123 در  $1380\text{ cm}^{-1}$  (شکل‌های ۲-الف و ۳-الف)، حضور پلارونیک P123 را تأیید می‌کند. باندهای جذبی در محدوده  $930\text{--}1608\text{ cm}^{-1}$  می‌تواند نتیجه نوسانات کششی و خمی آلمینای هیدراته-پلارونیک P123 در سطح باشد [۲]. گستردگی باند جذب در می‌تواند ناشی از پیوند هیدروژنی میان ملکولی است. ناپدید شدن باندهای ذکر شده در بالا بعد از عملیات حرارتی در  $3100\text{--}3500\text{ cm}^{-1}$  نشانی از پیوند هیدروژنی میان ملکولی است.



شکل ۲- طیف مادون قرمز نمونه سنتز شده با تتراهیدروفوران، (الف ) قبل و (ب) بعد از عملیات حرارتی.

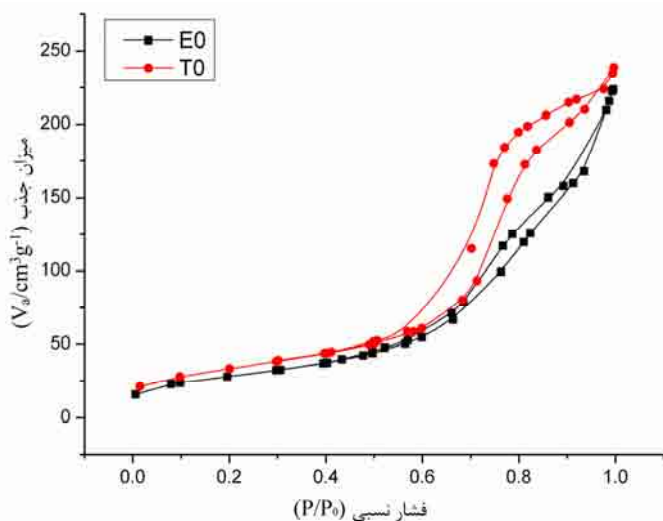
دماهای  $400^{\circ}\text{C}$  (شکل‌های ۲-ب و ۳-ب)، نشانه حذف کامل قالبگیر و خروج مولکول‌های آب آلومینیای هیدراته است. باند گسترده در  $3445\text{cm}^{-1}$  (شکل ۲-ب) و  $3460\text{cm}^{-1}$  (شکل ۳-ب)، مربوط به نوسانات خمثی پیوند هیدروژنی گروه‌های OH آب جذب شده سطحی است. پیک حوالی  $600\text{cm}^{-1}$  در شکل ۲-ب و  $800\text{cm}^{-1}$  در شکل ۳-ب، نمایشگر پیوند Al-O-Al است. پیک‌های  $937\text{cm}^{-1}$  و  $1012\text{cm}^{-1}$ ، به ترتیب مشخصه پیوندهای Al-OH و Al-O-H هستند. حذف این پیک‌ها پس از عملیات حرارتی، نشان‌دهنده تبدیل ساختار آلومینیوم هیدروکسید به اکسید آلومینیوم است [۷]. شایان ذکر است که برای تفسیر پیک‌ها از نتایج مربوط به تحقیقات کای [۲] استفاده شده است.



شکل ۳- طیف مادون قرمز نمونه سنتز شده با اتانول، (الف) قبل و (ب) بعد از عملیات حرارتی.

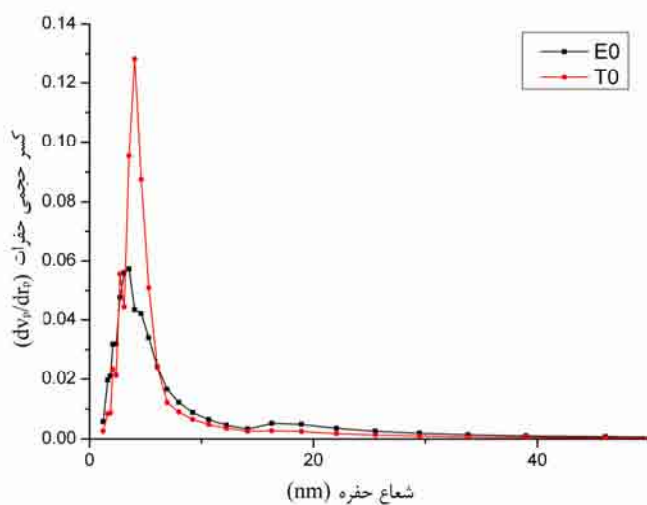
### ۳-۳- جذب و اجذب نیتروژن

ایزوترم‌های جذب و اجذب نیتروژن و منحنی توزیع اندازه حفرات (BJH) در حضور حلال‌های اتانول و تتراهیدروفوران قبل از فرایند پرسازی در اشکال ۴ و ۵ ارائه شده است. پارامترهای ساختاری بدست آمده از این شکلها، در جدول ۱ فهرست شده است. سطح ویژه، حجم حفره و میانگین شعاع حفرات بدست آمده برای نمونه T0 نسبت به نمونه E0 بیشتر است؛ که نشان دهنده ارائه خواص مطلوب‌تر مزوساختار در حضور حلال تتراهیدروفوران نسبت به اتانول است.



شکل ۴- منحنی جذب و اجذب نیتروژن در نمونه‌های E0 و T0.

همانطور که در شکل ۴ مشاهده می‌شود، بر اساس دسته بندی آیوپاک نمونه T0، نوع هیسترزیس  $H_2$  IV و هیسترزیس نمونه E0 از نوع  $H_3$  و به صورت شکاف مانند است. مطابق شکل ۵، توزیع اندازه حفرات نمونه T0 نسبت به نمونه E0، منظم‌تر و دارای حجم بیشتری این امر به حفظ ساختار کریستال مایع با وجود مقادیر بیشتری حلال و نظم گیری بهتر ساختار طی تبخیر حلال، مبتنی بر نمودارهای تعادل فازی P123-آب-اتانول و P123-آب-تتراهیدروفوران [۵] نسبت داده می‌شود.



شکل ۵- توزیع اندازه حفرات در نمونه‌های E0 و T0.

در حضور حلال تتراهیدروفوران، هر دو جزء پلی اتیلن اکساید (PEO) و پلی پروپیلن اکساید (PPO)، بر خلاف حلال اتانول که بخش اعظمی از اجزاء PEO غیر متحرک و با ساختار معدنی به شدت میانکنش نشان می‌دهند، متحرک‌کند. با توجه به میزان امتصاص بالای بلوكها در تتراهیدروفوران نسبت به اتانول که امکان خروج بیشتر بلکها را از داخل دیواره‌های مزو ساختار معدنی فراهم می‌نماید، جزء PEO قبل از متراکم شدن کامل ساختار، خارج می‌شود [۵]. همچنین، میزان اتصالات عرضی و

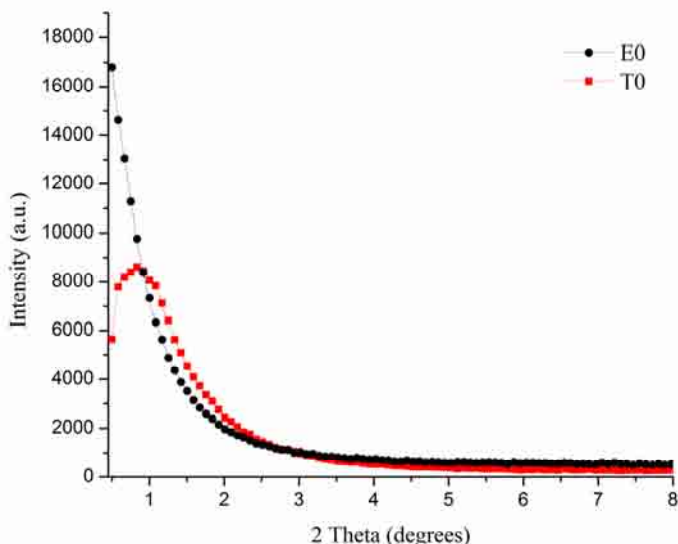
شدت تراکم در حضور تتراهیدروفوران نسبت به اتانول، کمتر است. بعلاوه، حلالیت زیاد و عدم تمایل تتراهیدروفوران نسبت به بلاک‌های P123، از نظم‌گیری ساختار در حضور تتراهیدروفوران جلوگیری می‌کند. به همین دلیل حفظ ساختار حین خروج مواد آلی در حضور تتراهیدروفوران، بیشتر می‌شود.

جدول ۱- مشخصات فیزیکی نمونه‌های سنتز شده E0 و T0.

BET سطح ویژه (m <sup>2</sup> /g)	حجم حفرات (cm <sup>3</sup> /g)	میانگین اندازه حفرات (nm)	نمونه
۱۲۰	۰/۳۸	۴/۰۳	T0
۱۰۰	۰/۳۵	۳/۵۳	E0

#### ۴-۳- پراش اشعه ایکس زاویه پایین-SAXS

با بررسی الگوی پراش اشعه ایکس زاویه پایین در شکل ۶، یک پیک در  $2\theta = 0^\circ$  و  $1^\circ$  برای نمونه T0 مشاهده می‌شود؛ که نشان‌دهنده پیشروی مزوساختار در جهت (۱۰۰) است [۲]. پهن بودن این پیک نظم‌گیری موضعی برد کوتاه را در حفرات مزومنتخلخل در نمونه T0، نشان می‌دهد. نمونه E0، هیچ پیکی در این محدوده نشان نمی‌دهد که این موضوع، نتایج جذب و واجدب نیتروژن را تأیید می‌نماید. عدم حضور پیک در این نمونه مؤید این موضوع است که هیچ گونه نظمی حتی به صورت موضعی در این نمونه شکل نگرفته است. این پدیده کاملاً تأیید می‌کند که حضور حلال نقش بسزایی در ایجاد نظم ایفا می‌کند. همانطور که قبلاً توضیح داده شد، حضور تتراهیدروفوران از طریق به تأخیر انداختن فرایند تراکم و همچنین خروج از ساختار به نحوی که آسیب کمتری به آن وارد سازد، سبب بهبود فرایند نظم‌گیری شده است.



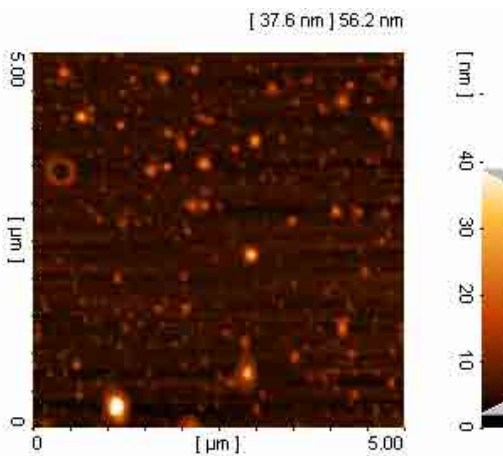
شکل ۶- الگوی پراش اشعه ایکس زاویه پایین برای نمونه‌های E0، T0.

با در نظر گرفتن موقعیت پیک در نمونه T0، فاصله میان مرکز استوانه‌ها از طریق رابطه زیر محاسبه می‌شود:

$$q^* = 4\pi / a\sqrt{3} \quad (1)$$

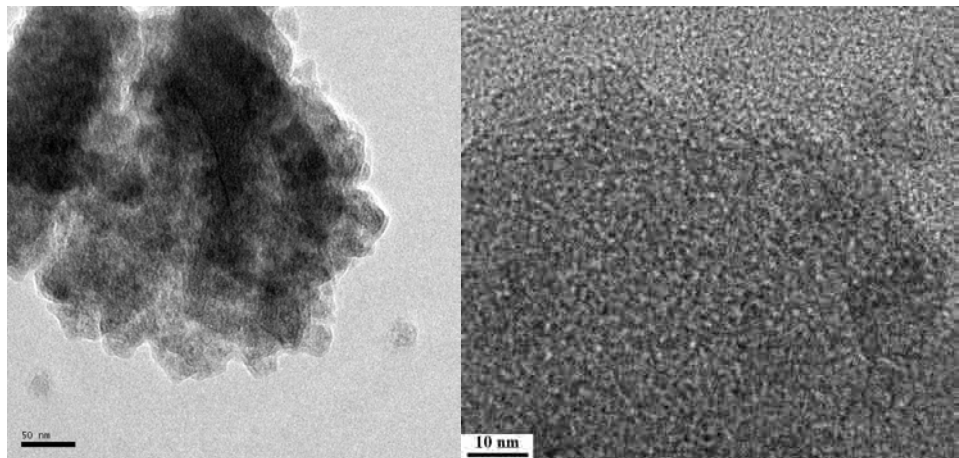
که در آن  $q^*$ ، موقعیت پیک اول و  $a$ ، فاصله میان مراکز استوانه‌ها است [۸]؛ که برای نمونه T0،  $T_0 = 27\text{ nm}$  و  $a = 12\text{ nm}$  بدست می‌آید. با در نظر گرفتن اندازه حفرات از رابطه  $BHJ$ ، میزان ضخامت دیواره حفرات تقریباً  $2\text{ nm}$  محاسبه می‌شود. مشاهده تنها یک پیک در طیف مربوط به نمونه T0، ناشی از عدم حضور نظم بلند دامنه است.

### ۳-۵- بررسی ریزساختاری



شکل ۷- تصویر SPM نمونه T0

به منظور بررسی مورفولوژی کلی ذرات سنتز شده تصویر SPM نمونه T0 به عنوان نمونه در شکل ۷ نشان داده شده است. همانطوریکه در این شکل مشاهده می‌شود محصول سنتز شده به صورت ذراتی در ابعاد نانومتری (کمترین ضخامت مشاهده شده در شکل  $37/6$ ، و بیشترین ضخامت  $56/2$  نانومتر) است.



شکل ۸- تصویر HRTEM برای نمونه T0.

تصویر TEM نمونه T0 به دلیل ارائه خواص مناسب‌تر نسبت به E0 تهیه شد و در شکل ۸ (الف و ب) ارائه شده است. این تصویر، نشان از تشکیل ساختار اسفنجی شکل و نسبتاً یکنواختی در نمونه T0 دارد. این نتایج با نتایج مربوط به جذب و واژذب نیتروژن که حضور هیسترزیس نوع H<sub>2</sub> را نشان می‌دهد، همخوانی دارند.

## ۴- نتیجه‌گیری

بررسی تأثیر نوع حلال بر سنتز آلمینیات مزوپور با استفاده از کوپلیمر سه-بلوکه پلارونیک (P123) و روش خودچینشی القا شده توسط تبخیر، نشان داد که استفاده از حلال تتراهیدروفوران نسبت به حلال اتانول، منجر به تشکیل پودرهایی با سطح ویژه، حجم حفره، میانگین اندازه حفره و نظم حفرات بیشتری می‌گردد. تخریب کمتر ساختار حفرات حین خروج حلال و اجزاء آلی، به تمایل کمتر تتراهیدروفوران نسبت به بلاک‌های P123 و ایجاد میانکنش ضعیف تر بین جزء آلی و معدنی، نسبت داده شد.

## مراجع

1. C. Márquez-Alvarez, N. Žilková, J. Pérez-Pariente, and J. Čejka, "Synthesis, characterization and catalytic applications of organized mesoporous aluminas," *Catalysis Reviews*, vol.50, pp. 222-286, 2008.
2. W. Cai, J. Yu, C. Anand, A. Vinu, and M. Jaroniec, "Facile synthesis of ordered mesoporous alumina and alumina-supported metal oxides with tailored adsorption and framework properties," *Chemistry of Materials*, vol. 23, pp. 1147-1157, 2011.
3. B. Tian, X. Liu, B. Tu, C. Yu, J. Fan, L. Wang, S. Xie, G. D. Stucky, and D. Zhao, "Self-adjusted synthesis of ordered stable mesoporous minerals by acid–base pairs," *Nature materials*, vol. 2, pp. 159-163, 2003.
4. S. Kirmayer, E. Dovgolevsky, M. Kalina, E. Lakin, S. Cadars, J. Epping, A. Fernandez-Arteaga, C. Rodriguez-Abreu, B. Chmelka, and G. Frey, "Syntheses of Mesostructured Silica Films Containing Conjugated Polymers from Tetrahydrofuran– Water Solutions," *Chemistry of Materials*, vol. 20, pp. 3745-3756, 2008.
5. C. Brinker, "Hydrolysis and condensation of silicates: effects on structure," *Journal of Non-Crystalline Solids*, vol. 100, pp. 5-31, 1988.
6. G. Wanka, H. Hoffmann, and W. Ulbricht, "Phase diagrams and aggregation behavior of poly (oxyethylene)-poly (oxypropylene)-poly (oxyethylene) triblock copolymers in aqueous solutions," *Macromolecules*, vol. 27, pp. 4145-4159, 1994.
7. C. Kumara, W. Ng, A. Bandara, and R. Weerasooriya, "Nanogibbsite: Synthesis and characterization," *Journal of colloid and interface science*, vol. 352, pp. 252-258, 2010.
8. P. Alexandridis, U. Olsson, and B. Lindman, "A record nine different phases (four cubic, two hexagonal, and one lamellar lyotropic liquid crystalline and two micellar solutions) in a ternary isothermal system of an amphiphilic block copolymer and selective solvents (water and oil)," *Langmuir*, vol. 14, pp. 2627-2638, 1998.



## بررسی اثر افزودن اکسیدهای مختلف بر سازوکار اپال شدن و مقاومت شیمیایی شیشه‌های اپال خود به خودی حاوی اکسید روی

مهردی سلیمانزاده، بیژن افتخاری یکتا، واهاک کاسپاری مارقوسیان

دانشکده مهندسی مواد و متالورژی، دانشگاه علم و صنعت ایران

*mehdi.soleimanzade@gmail.com*

**چکیده:** با افزودن اکسیدهای سفرز، زیرکونیم و منیزم به ترکیب شیشه ای از خانواده  $ZnO-B_2O_3-SiO_2$  شیشه‌های اپال از گونه خود به خودی تهیه شد. سپس میزان کدری نمونه‌ها با اندازه گیری درصد گذر نور توسط طیف سنجی نور مرئی (UV-Visible Spectroscopy) تعیین شد. مقاومت شیمیایی نمونه‌ها نیز در محیط قلیایی، بر پایه استاندارد ISO 695 اندازه گیری شد. سازوکار اپال شدن در نمونه‌های دارای  $P_2O_5$  جدایش فازی و در بقیه نمونه‌ها تبلور جزئی تشخیص داده شد. همچنین نمونه ای که از  $ZrO_2$  برخوردار بود بهترین مقاومت شیمیایی را در بین بقیه نمونه‌ها دارا بود. در این نمونه فازهای زیرکونیا، گانیت و ولیمیت متبلور شده بودند.

**کلید واژه:** اپک کننده، اسپکتروفوتومتر نور مرئی، شیشه اپال، جدایش فازی، مقاومت شیمیایی.

### ۱- مقدمه

شیشه‌های اپال بیشتر برای ساخت شیشه‌های روشنایی، ظروف خانگی و جواهرات بکار می‌روند<sup>[۱]</sup>. اپال‌ها شیشه‌هایی هستند که از جلوه ظروف چینی برخوردارند. سفیدی این شیشه‌ها یا با تبلور جزئی و یا جدایش فازی مایع-مایع ایجاد می‌شود. در پی پراکنش و شکست نور مرئی توسط فازهای شیشه‌ای یا بلورین درون اپال، سفیدی گفته شده بدست می‌آید<sup>[۲, ۳]</sup>. این میزان سفیدی<sup>۱</sup> وابسته به اندازه و تعداد مراکز پراکنش است و با تغییر ترکیب و عملیات حرارتی تغییر می‌کند<sup>[۴]</sup>.

شیشه‌های بوروسیلیکاتی حاوی اکسید روی در مطالعات مربوط به دفن زباله‌های هسته‌ای به دلیل مقاومت شیمیایی زیاد مدت‌ها مورد توجه بوده‌اند<sup>[۵, ۶]</sup>. از سوی دیگر، به دلیل ضریب انساط حرارتی کم و تمایل این شیشه‌ها به جدایش فازی مایع-مایع، از آنها به طور گسترده‌ای به عنوان شیشه‌های کدر در کاربردهایی همچون شیشه‌های اپال شوک پذیر استفاده می‌شود<sup>[۷, ۸]</sup>. ناحیه جدایش فازی در سیستم  $Na_2O-ZnO-B_2O_3-SiO_2$  توسط تبلور و همکارانش ترسیم شده است<sup>[۹]</sup>.

جدایش فازی، سازوکار تبلور و همچنین مقاومت شیمیایی شیشه‌هایی که با استفاده از اکسیدهای دارای قدرت میدان یونی زیاد (شعاع کم / بار زیاد) اپال می‌گردند کمتر مورد مطالعه قرار گرفته است. از این رو، در این پژوهش یک شیشه پایه در خانواده

<sup>1</sup> Opacity

$\text{Na}_2\text{O}-\text{ZnO}-\text{B}_2\text{O}_3-\text{SiO}_2$  انتخاب و تغییرات ریزساختاری، درجه سفیدی، مقاومت شیمیایی آن در پی افزودن اکسیدهای همچون  $\text{ZrO}_2$ ،  $\text{P}_2\text{O}_5$  و  $\text{TiO}_2$  بررسی شد.

## ۲- فعالیت‌های تجربی

جدول ۱ ترکیب شیشه‌های انتخاب شده را نشان می‌دهد. مواد اولیه به کاررفته، همگی به جز سلیس از مواد خالص شرکت مرک<sup>۱</sup> بودند. برای تامین  $\text{SiO}_2$  از سلیس همدان اسیدشویی شده استفاده شد. خلوص پودر سلیس به دست آمده بیش از ۹۹/۸٪ بود. آمیز هر یک شیشه‌ها ابتدا وزن و سپس در مقادیر ۱۰۰ گرمی باهم به خوبی مخلوط شدند. آنگاه در بوته‌های آلومینایی درپوش دار درون کوره الکتریکی، در دماهای بین ۱۵۰۰°C تا ۱۵۵۰°C به مدت یک ساعت ذوب گردیدند. شیشه‌های ذوب شده درون قالب فولاد ضدزنگ پیش گرم شده ریخته و بی درنگ در کوره برقی به مدت ۲ ساعت در دمای ۵۸۰°C تنش زدایی شدند.

جدول ۱- ترکیب شیمیایی نمونه‌ها (درصد وزنی)

$\text{ZrO}_2$	$\text{TiO}_2$	$\text{P}_2\text{O}_5$	$\text{Al}_2\text{O}_3$	$\text{ZnO}$	$\text{Na}_2\text{O}$	$\text{B}_2\text{O}_3$	$\text{SiO}_2$	کد نمونه
-	-	-	۲	۱۲	۵	۱۸	۶۳	B
-		۴	۲	۱۲	۵	۱۸	۶۳	P4
-	۴		۲	۱۲	۵	۱۸	۶۳	T4
۴	-	-	۲	۱۲	۵	۱۸	۶۳	Z4

همه نمونه‌ها توسط دستگاه برش به ضخامت 2mm و درازا و پهنای 1cm<sup>2</sup> برشیده و درصد گزندگی نور مرئی از آن‌ها با استفاده از دستگاه UV-Visible Spectrophotometer (ساخت شرکت PG Instrument مدل T80) اندازه‌گیری شد. برای تعیین فازهای متبلور شده احتمالی نمونه‌ها با دستگاه پراش پرتو ایکس مورد آزمایش قرار گرفتند. پس از سوosh نمونه‌های پرداخت شده درون محلول ۲٪ نرمال HF، روی آن‌ها پوشش نازکی از طلا داده شد و سپس ریزساختار آن‌ها توسط میکروسکوپ الکترونی<sup>۲</sup> (مدل VEGA/TESCAN) مطالعه شد.

برای تعیین مقاومت شیمیایی نمونه‌های اپال شده در محلول قلیایی از استاندارد ISO 695-1991E [۱۰] استفاده شد. در این آزمون، مقاومت شیمیایی از راه کاهش وزن واحد سطح نمونه‌ها، پس از ۳ ساعت نگهداری در محلول قلیایی جوشان به دست می‌آید. این محلول قلیایی شامل حجم‌های مساوی از کربنات سدیم و هیدروکسید سدیم بود.

## ۳- نتایج و بحث

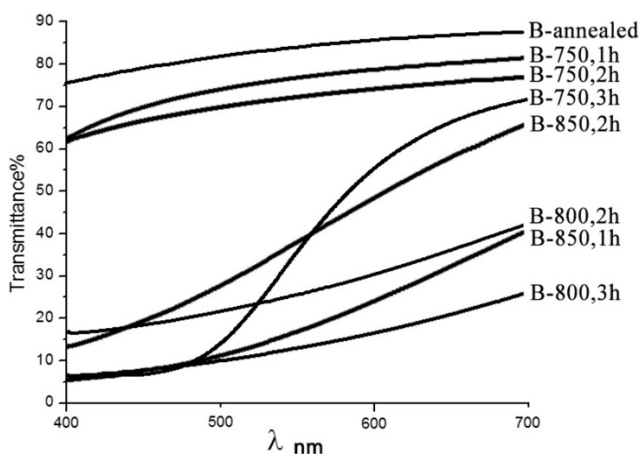
### ۳-۱- ترکیب پایه

شیشه پایه از روی نمودار فازی چهارتایی سیستم  $\text{Na}_2\text{O}-\text{ZnO}-\text{B}_2\text{O}_3-\text{SiO}_2$  [۹] انتخاب شد و برای بهبود مقاومت شیمیایی ۲ درصد وزنی  $\text{Al}_2\text{O}_3$  به این ترکیب افزوده شد. این ترکیب در جدول ۱ آورده شده است.

<sup>1</sup> Merck

<sup>2</sup> Scanning Electron Microscope

بعد از تنفس زدایی، ترکیب پایه کم و بیش شفاف بود. شکل ۱ نشان می‌دهد که با عملیات حرارتی شیشه به مدت ۳ ساعت در دمای  $800^{\circ}\text{C}$  (نمونه B-800,3h) متوسط عبور نور مرئی تا حدود ۱۰٪ کاهش می‌یابد.

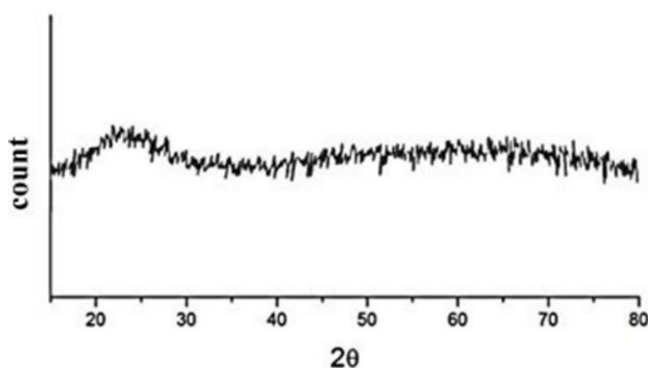


شکل ۱- درصد عبور نور مرئی برای نمونه پایه عملیات حرارتی شده

همچنین شکل ۱ نشان می‌دهد که درصد گذر نور به آرامی با افزایش طول نور تابشی افزایش می‌یابد. چنین رفتاری در شیشه‌های فلوئوردار و سیلیکاتی دارای تیتانیوم نیز دیده شده است [۱۱]. این پدیده با اثر تیندال<sup>۱</sup> کاملاً هماهنگ است. اثر تیندال در برخورد نور با ذرات ریز میکرونی درون یک سیستم شفاف دیده می‌شود، به گونه‌ای که این ذرات طول نور را بیشتر از طول موج‌های بزرگ‌تر آن پراکنده می‌کنند. در نتیجه، از رویرو به رنگ قرمز قهوه‌ای و از اطراف آبی بنفش دیده می‌شوند [۱۲].

از سوی دیگر، با توجه به شکل ۱ افزایش دامنه جدایش فازی و در نتیجه آن افزایش تعداد مراکز پراکندگی باعث می‌شود که درصد گذر نور کاهش یابد و کدری شیشه افزایش یابد. از این رو، در این پژوهش درصد گذر نور به عنوان معیاری برای اندازه‌گیری میزان پیشرفت جدایش فازی و تبلور در شیشه‌ها در نظر گرفته می‌شود.

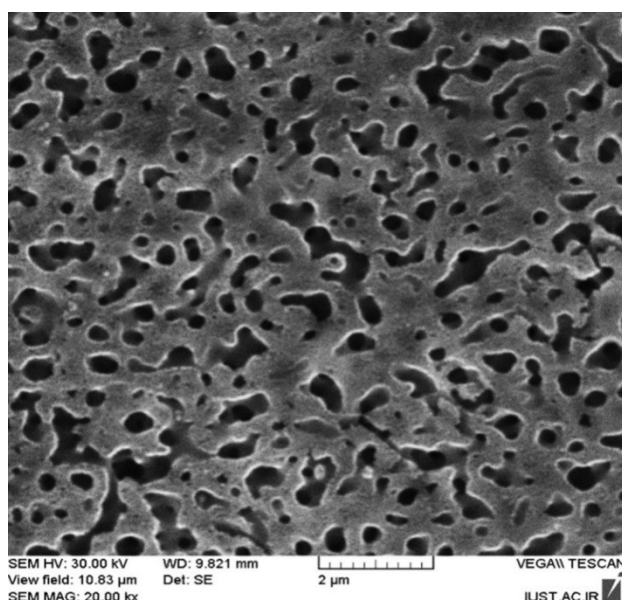
با توجه به شکل ۱، با افزایش مدت زمان عملیات حرارتی، جدایش فازی افزایش و درصد عبور نور کاهش می‌یابد.



شکل ۲- الگوی پراش پرتوایکس نمونه B-800,3h

<sup>۱</sup> Tyndall Effect

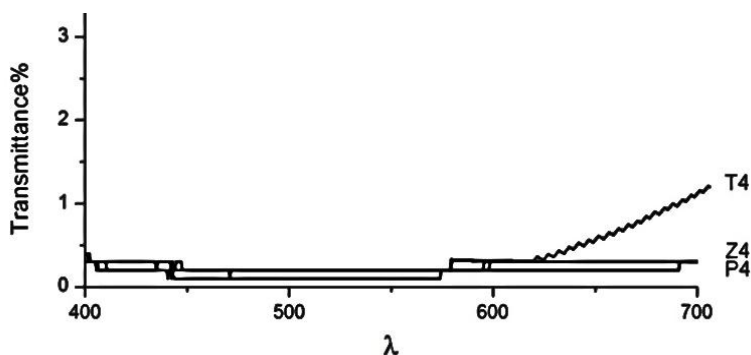
الگوی XRD نمونه B-800,3h در شکل ۲ هیچ فاز بلوری را نشان نمی‌دهد. در شکل ۳ مناطق پیوسته جدایش فازی اسینودال<sup>۱</sup> را، که در پی عملیات حرارتی شیشه پایه ایجاد شده‌اند، به روشنی می‌توان دید. بنا براین می‌توان گفت که تنها دلیل کاهش درصد گذر نور و افزایش کدری شیشه پایه جدایش فازی مایع-مایع در آن است.



شکل ۳- تصویر SEM نمونه B-800,3h، سونش شده در %2N HF

### ۲-۳- نمونه‌های T4، P4 و Z4

نمونه‌های Z4، T4 و P4 به طور خودبُخودی در هنگام ریخته‌گری مذاب شیشه اپال شدند. همان‌گونه که نمودار درصد گذر نور در شکل ۴ نیز نشان می‌دهد میزان گذر نور در هر سه این نمونه‌ها کمتر از ۵٪ است.

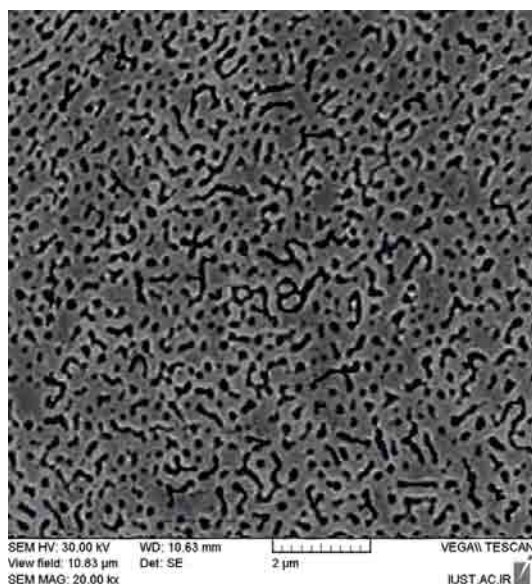


شکل ۴- درصد عبور نور نمونه‌های P4 و Z4

می‌دانیم که از دیدگاه اقتصادی ساخت شیشه‌های اپال از نوع خودبُخودی بر گونه عملیات حرارتی مجدد برتری دارد[۷]. افزودن ۴٪ وزنی از  $\text{TiO}_2$ ،  $\text{ZrO}_2$  و  $\text{P}_2\text{O}_5$  به ترکیب پایه چنان سرعت جدایش فازی و تبلور را در این نمونه‌ها افزایش داد که

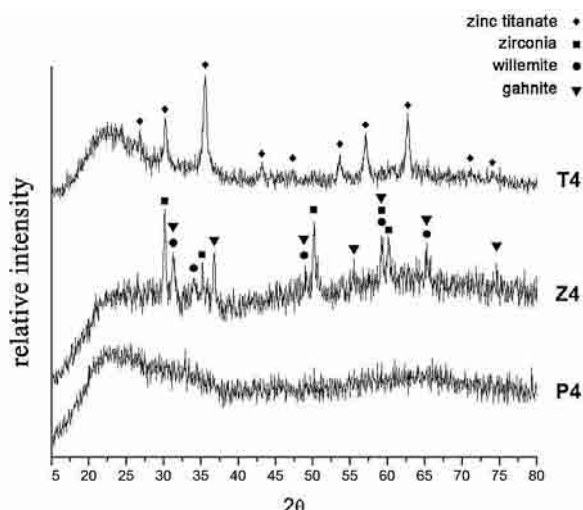
<sup>۱</sup> Spinodal Decomposition

شیشه می‌توانست بدون انجام عملیات حرارتی بعدی به درصد کدری مناسبی برسد. الگوی پراش پرتوایکس شیشه P4 نیز تبلور هیچ فازی را نشان نمی‌دهد. شکل ۵ رخداد جدایش فازی اسپینودال در این شیشه را نشان می‌دهد. مناطق به هم پیوسته جدایش یافته به خوبی در این تصویر دیده می‌شود. گزارش شده است که در شیشه‌های خانواده  $P_2O_5\text{-}RO$  (که در اینجا  $RO = BaO, SrO, CaO, MgO, ZnO, CdO, PbO$ ) در نتیجه، مقادیر زیادی از  $ZnO$  می‌توان در  $P_2O_5$  حل شود بدون اینکه تبلوری رخ دهد[۱۳]. آنالیز پراش پرتو ایکس P4 در شکل ۶ نیز تبلور هیچ فازی را نشان نمی‌دهد. مناطق جدایش یافته به احتمال زیاد غنی از فاز شیشه‌ای فسفر و روی بوده است. ضریب شکست شیشه‌های فسفاتی معمولاً کمتر از شیشه‌های سیلیکاتی است[۷]. این تفاوت می‌تواند دلیل کدری این شیشه باشد.



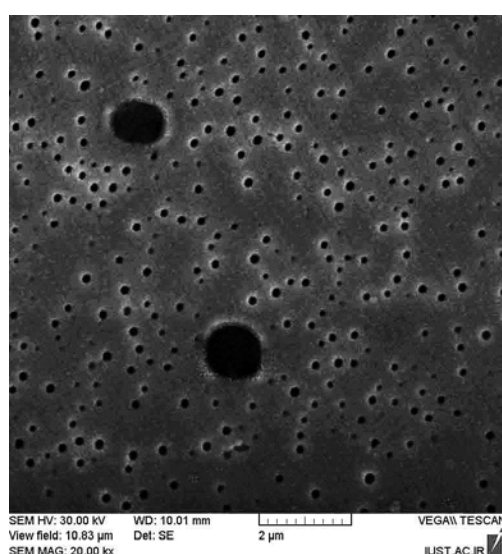
شکل ۵- تصویر SEM نمونه P4

شکل ۶ تبلور فاز تیتانات روی ( $Zn_2Ti_3O_8$ ) را درون نمونه T4 نشان می‌دهد.  $TiO_2$  به عنوان عامل جوانه‌زا در ساخت بسیاری از شیشه-سرامیک‌ها استفاده می‌شود[۱۴]. پدیده جدایش فازی ناشی از  $TiO_2$  به نقش ساختاری یون تیتانیوم، به عنوان یک اکسید واسطه، وابسته است. برخی از یون‌های  $Ti^{+4}$  در مراکز چهاروجهی شبکه جای می‌گیرند. با توجه به شعاع یونی آن ( $0.68 \text{ \AA}$ )، انتظار می‌رود که این یون با اکسیژن در بیشتر ساختارهای بلوری شش وجهی تشکیل دهد. اما بررسی‌های بیشتر نشان داده است که در دماهای بالا  $Ti^{+4}$  با اکسیژن به صورت چهار وجهی در ارتباط است. در این حالت یون تیتانیوم با شبکه سیلیسی سازگار است. اما در حین سرد کردن به ساختار تعادلی شش وجهی تبدیل می‌شود و در نتیجه از شبکه سیلیکاتی جداش می‌یابد. اما نکته مهم‌تر این است که  $TiO_2$  بدون حضور اکسیدهای دگرگون ساز دوظرفیتی نمی‌تواند به خوبی نقش جدایش می‌یابد. اما در حین سرد کردن به ساختار تعادلی شش وجهی تبدیل می‌شود و در نتیجه از شبکه سیلیکاتی جداش می‌یابد. اما نکته مهم‌تر این است که  $TiO_2$  بدون حضور اکسیدهای دگرگون ساز دوظرفیتی نمی‌تواند به خوبی نقش جوهر را بازی کند و همواره تمایل دارد که به صورت ترکیب با یک اکسید دیگر متبلور شود. از جمله این اکسیدها می‌توان به اکسید آهن، کجالت، کادمیم، روی، نیکل، منیزیم و منگنز اشاره کرد[۱۵]. در این شیشه نیز به صورت ترکیب با  $ZnO$  رسوب کرده و عامل اصلی ایجاد کدری آن است.

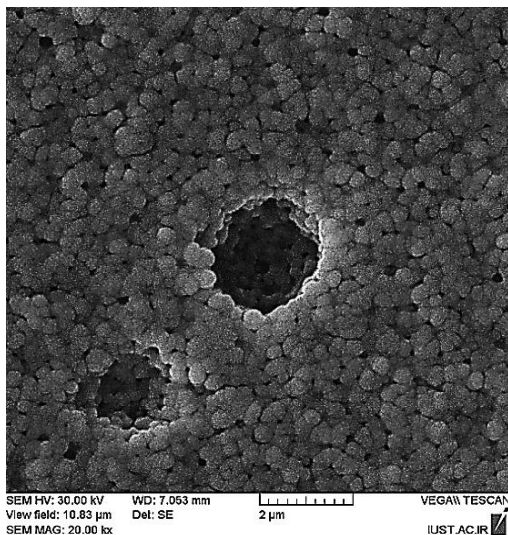


شکل ۶- الگوی پراش پرتوی ایکس نمونه‌های  $\text{TiO}_2$  و  $\text{ZrO}_2$ ,  $\text{P}_2\text{O}_5$

بر اساس شکل ۷ عامل دیگری نیز در ایجاد کدری این شیشه نقش داشته است و آن حباب است. حباب‌هایی با اندازه‌های مختلف در ساختار این شیشه در حین سرد شدن محبوس شده‌اند. شکل ۷ بافت فریت این شیشه را نشان می‌دهد. دیده می‌شود که به دلیل سرعت سرمایش زیاد شیشه هنوز تبلوری در آن آغاز نگردیده است، اما حباب‌های هوا درون شیشه محبوس مانده‌اند. تبلور بر اساس جوانهزنی روی سطوح (هتروژن) نسبت به شیشه‌هایی که دچار تبلور همگن می‌شوند به انرژی فعال‌سازی  $\Delta G^{\circ}\text{het}$  بسیار کمتری نیاز دارند. حباب‌ها می‌توانند به عنوان یک سطح آزاد (پایه) هتروژن تبلور حجمی را در شیشه سرعت بخشنده‌اند [۱۶]. در شکل ۸ ریزساختار شیشه را پس از عملیات حرارتی نشان می‌دهد. در این تصویر می‌توان دید که این حباب‌ها خود به عنوان مراکزی برای جوانهزنی و رشد هتروژن فاز تیتانات روی عمل کرده‌اند، به گونه‌ای که بلورهای شبه-کروی تیتانات روی، روی سطوح خارجی حباب متبلور شده‌اند. همانطورکه در شکل ۷ دیده می‌شود حباب‌ها با اندازه‌های مختلف در محدوده ۵۰ nm تا ۲  $\mu\text{m}$  در شیشه پخش شده‌اند.

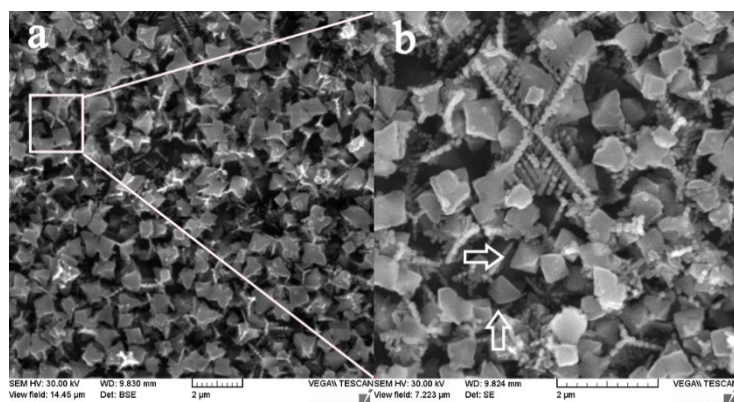


شکل ۷- تصویر میکروسکوپ الکترونی روبشی حباب‌های درون شیشه نمونه T4 قبل از عملیات حرارتی.



شکل ۸- تصویر میکروسکوپ الکترونی روبشی نمونه T4

علت به وجود آمدن حباب‌ها را می‌توان به تغییر ظرفیت تیتانیوم از  $4^{\circ}$  به  $3^{\circ}$  دانست.  $\text{TiO}_2$  به دلیل چند ظرفیتی بودن، جزء اکسیدهای ردوكس<sup>۱</sup> است و می‌تواند در شیشه‌ها با آزاد کردن اکسیژن ایجاد حباب کند[۱۷]. حضور خود حباب‌ها و همچنین تبلور فاز تیتانات روی از جمله عوامل اصلی در ایجاد کدری بالای این نمونه هستند.



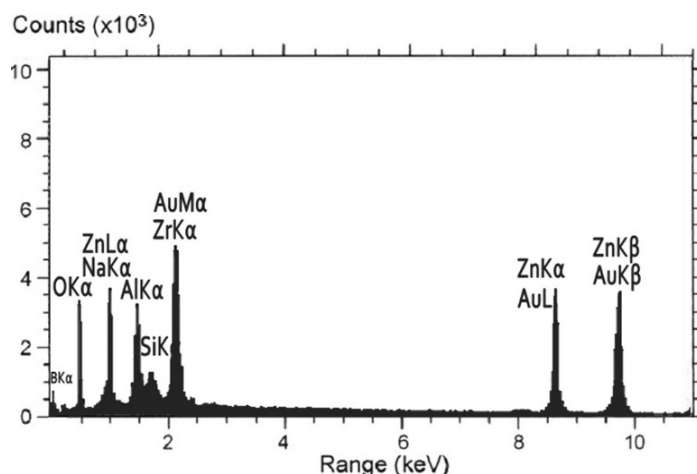
شکل ۹- تصاویر SEM از Z4 (a) بزرگنمایی  $\times 15000$ ، (b) بزرگنمایی  $\times 30000$

الگوی XRD نمونه Z4 نشان می‌دهد که در این شیشه فازهای زیرکونیای تتراتیتانال، ویلمیت ( $\text{Zn}_2\text{SiO}_4$ ) و گانیت<sup>۲</sup> ( $\text{ZnAl}_2\text{O}_4$ ) در حین ریخته‌گری به طور جزئی متبلور شده‌اند. شکل ۹ ریز ساختارشیشه متبلور شده Z4 را نشان می‌دهد. ذرات نانومتری زیرکونیا به صورت ذراتی درخشان در شکل ۹-(a) قابل مشاهده است. با توجه به آنالیز EDAX در شکل ۱۰، بلورک‌های هشت وجهی به احتمال زیاد به گانیت تعلق دارند. نشان داده شده است که فازهای اسپینلی عمولاً به صورت اکتاہدرال متبلور می‌شوند[۱۸] و فاز اکتاہدرال گانیت مشابهی در تحقیق دیگری مشاهده شده است[۱۹].

<sup>1</sup> Redox

<sup>2</sup> Gahnite

همان طور که در شکل ۱۰ هم مشخص است ویلمیت به صورت اسفلولیت<sup>۱</sup> در میان بلورک‌های گانیت متبلور شده است. می‌توان چنین نتیجه‌گیری کرد که  $ZrO_2$  احتمالاً نقش جوانه زا در تبلور فازهای ویلمیت و گانیت بازی کرده است. چنین رفتاری از  $ZrO_2$  در سیستم آلومینو سیلیکاتی روی نیز گزارش شده است [۲۰، ۱۴].



شکل ۱۰ - آنالیز EDAX فاز گانیت در شکل ۱۸-(b)

### ۳-۳- مقاومت شیمیایی

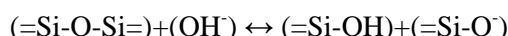
نتایج آزمون مقاومت شیمیایی در محیط قلیایی جوشان در جدول ۲ آورده شده است. همه نمونه‌ها در طبقه‌بندی طبق استاندارد ISO در کلاس A3 قرار می‌گیرند.

جدول ۲ - میزان کاهش وزن نمونه‌های اپال شده بر واحد مساحت سطح

Z4	P4	T4	کد نمونه
کاهش وزن بر واحد مساحت سطح (mg/dm <sub>2</sub> )			
288	457	491	
کلاس نمونه در ISO 695			
A3	A3	A3	

جدول ۲ نشان می‌دهد که کاهش وزن Z4 کمتر از بقیه است، در نتیجه این نمونه بهترین مقاومت شیمیایی را از بین بقیه دارد. از طرف دیگر نمونه T4 بدترین مقاومت شیمیایی را دارد.

Si در شیشه‌های سیلیکاتی بار مثبت کوچکی دارد. در نتیجه، می‌تواند در محیط‌های قلیایی توسط  $OH^-$  مورد حمله قرار گیرد. گسستگی ساختار سیلیکاتی توسط  $OH^-$  توسط واکنش شیمیایی زیر رخ می‌دهد [۲۱]:



فازهای بلوری معمولاً ساختاری فشرده‌تر و چگال‌تری از فاز شیشه‌ای خود دارند و تحرک یونی در آن‌ها به مرانب کمتر است [۲۲]. در نتیجه فازهای بلوری مقاومت شیمیایی بالاتری را در محیط‌های قلیایی از خود نشان می‌دهند. پس هرچه میزان

<sup>۱</sup> Spherolite

تبلور در فاز شیشه‌ای بیشتر باشد مقاومت آن نیز در برابر قلیایی‌ها بیشتر است. با توجه به الگوی XRD در شکل ۶ ZrO<sub>2</sub> احتمالاً توانسته مقاومت شیمیایی را بهبود بخشد. اثر مثبت ZrO<sub>2</sub> بر مقاومت شیمیایی شیشه و شیشه-سرامیک‌ها بارها گزارش شده است[۲۳].

با توجه به جدول ۲ مقاومت شیمیایی P4 کمتر از Z4 است زیرا در این دو نمونه تنها جدایش فازی شیشه-شیشه رخ داده است. همانطور که در شکل ۵ مشخص است، مناطق با مقاومت شیمیایی کمتر (فاز شیشه‌ای فسفات روی) چنان گستردگی شده که محلول قلیا می‌تواند شیشه را خیلی آسان‌تر تحت خوردگی قرار دهد. مناطق به هم پیوسته جدایش فازی در نمونه P4 همانند کانال‌هایی عمل می‌کنند و محلول قلیایی خورنده را به مناطق درونی‌تر شیشه هدایت می‌کنند و از این طریق خوردگی شدیدتری را فراهم می‌کنند. همچنین گفته شده است که TiO<sub>2</sub> مقاومت شیمیایی شیشه‌ها را افزایش می‌دهد[۲۴]. این قضیه در مورد نمونه‌های T4 نیز صادق است. از شدت بالای پیک‌های آنالیز پرتو ایکس شکل ۶ این نمونه‌ها مشخص است که درصد فاز تبلور شده در این شیشه‌ها نیز بالاست. همچنین به خنثی بودن (از نظر شیمیایی) فاز تیتانات روی نیز اشاره شده است[۲۵]. بنابراین انتظار می‌رود مقاومت شیمیایی خوبی را از نمونه‌هایی مانند Z4 شاهد باشیم. اما جدول ۲-۴ نشان می‌دهد که کمترین مقاومت شیمیایی مربوط به این نمونه می‌باشد. دلیل پایین‌تر بودن مقاومت شیمیایی این نمونه‌ها حضور حباب در درون آن‌هاست. همانطور که در تصاویر میکروسکوپ الکترونی در شکل‌های ۷ و ۸ مشخص است این حباب‌هایی تواند مانند راهروهایی عمل کرده و ماده خورنده را به درون شیشه بکشاند و باعث خوردگی شدید شبکه سیلیسی شوند. نمونه T4 به دلیل داشتن حفرات درشت‌کمترین مقاومت را در بین بقیه نمونه‌ها دارد می‌باشد.

#### ۴- نتیجه‌گیری

اثر افزودن ZrO<sub>2</sub> و P<sub>2</sub>O<sub>5</sub> بر شیشه‌های بوروسیلیکاتی حاوی اکسید روی مورد بررسی و آزمایش قرار گرفت. افزودن ۴٪ وزنی P<sub>2</sub>O<sub>5</sub> باعث به وجود آمدن جدایش فازی شیشه در شیشه از نوع اسپینودال شد. از سوی دیگر، ZrO<sub>2</sub> احتمالاً به عنوان جوانه در این سیستم عمل می‌کند و موجب تبلور فازهای گانیت و ولیمیت می‌شود. علاوه بر این، ZrO<sub>2</sub> باعث افزایش سرعت تبلور شده و شیشه اپال از نوع خودبه‌خودی با افزودن تنها ۴٪ از این اکسید حاصل می‌شود. به دلیل دارا بودن بیشترین فاز بلوری شیشه دارای ۴ قسمت وزنی اکسید زیرکونیم از بهترین مقاومت شیمیایی برخوردار بود. از سوی دیگر حضور حفرات زیاد با اندازه‌های مختلف که محلول قلیایی خورنده را به قسمت‌های درونی تر شیشه می‌کشاند و خوردگی را شدت می‌بخشد، نمونه دارای ۴ قسمت وزنی اکسید تیتانیم از بدترین مقاومت شیمیایی برخوردار بود. همه نمونه‌ها در کلاس A3 طبق طبقه‌بندی استاندارد ISO 695 قرار می‌گرفتند.

#### مراجع

1. Rothenberg, G. B., Glass technology, recent developments. Chemical technology review. 1976, Park Ridge, N. J.: Noyes Data Corp. p. 211-212.

2. W. Vogel, N .J. Kreidl, E. Lense, Chemistry of glass, American Ceramic Society, Columbus, Ohio, 1985, p. 202.
3. D. C. Boyd, J. F. MacDowell, American Ceramic Society. Glass Division., Opal Glass in Commercial glasses, American Ceramic Society, Columbus, Ohio, 1986, p. 141-150.
4. H. K. B. W. kingery, and D. R. Ulmann, Introduction to Ceramics, Second Edition, John Wiley and Sons, Newyork, 1, 976 p. 666.
5. W.A. Ross., Pacific Northwest Laboratory, Richland, Wash, Annual Report on the Characterization of High-Level Waste Glasses, 1979: Tech. Rept. No. PNL-2625.
6. N. S. M. G. G. Strathdee, and P. Taylor, Development of Aluminosilicate and Borosilicate Glasses as Matrices for CANDU High-Level Waste, Proceedings of the International Symposium on Nuclear Waste Management, Cincinnati, Ohio, 1979 (CONF-790420), 1979, pp. 243-247.
7. R. M. Wiker, Zinc borosilicate opal glasses, USPatents No. 4376170, 1983.
8. J. E. Flannery, J. L. Stempin, D. R. Wexell, Fluorophosphate opal glasses, US Patent No. 3661601, 1981.
9. Taylor, P. and D. G. Owen, Liquid Immiscibility in the System Na<sub>2</sub>O-ZnO-B<sub>2</sub>O<sub>3</sub>-SiO<sub>2</sub>. J of the American Ceramic Society, 1981. 64(6): p. 360-367.
10. ISO 695E, Glass-Resistance to attack by a boiling aqueous solution of mix alkali in International Standard 1991 (third edition).
11. W. Vogel, N. J. Kreidl, E. Lense, Chemistry of glass. J of American Ceramic Society 1985, Columbus, Ohio. 209.
12. I. Fanderlik, Optical properties of glass.Glass Science and Technology.1983, Amsterdam ; New York: Elsevier. 186.
13. G. B. Rothenberg, Glass technology, recent developments.Chemical technology review. 1976, Park Ridge, N. J.: Noyes Data Corp. 212.
14. W. Höland, G. H. Beall, Glass-ceramic technology. 2002, Westerville, J of American Ceramic Society p. 115.
15. P.W. McMillan, Glass-ceramics.2d ed. J of Non-Metallic Solids. 1979, London; New York: Academic Press. viii, p.285.
16. R. H. Doremus, Glass Science. Second Editioin ed. 1994, Rensselaer Plytechnic Institute John

- Wiley & sons, Inc. pp. 60-66.
۱۷. و. مارقوسیان، شیشه، ساختار، خواص و کاربرد، ج. دوم، ۱۳۸۶، تهران: مرکز انتشارات دانشگاه علم و صنعت ایران.
18. R. Dekkers, C. Woensdregt, Crystal structural control on surface topology and crystal morphology of normal spinel ( $MgAl_2O_4$ ). *J of Crystal Growth*, 2002. 236(1): p. 441-454.
  19. F. J. Torres, E. R. de Sola, J. Alarcón, Effect of some additives on the development of spinel-based glass-ceramic glazes for floor-tiles. *J of Non-Crystalline Solids*, 2005. 351(30): p. 2453-2461.
  20. B. E. Yekta, P. Alizadeh, L. Rezazadeh, Floor tile glass-ceramic glaze for improvement of glaze surface properties. *J of the European Ceramic Society*, 2006. 26(16): p. 3809-3812.
  21. P. Amal., *Chemistry of Glasses*, Chapman & Hall Ltd., 1990, p. 103-105.
  22. D. E. Clark, B. K. Zois, *Corrosion of glass, ceramics, and ceramic superconductors : principles, testing, characterization, and applications*, Noyes, Park Ridge, N.J., 1992, p. 434.
  23. B. Karasu, M. Cable, The chemical durability of  $SrO-MgO-ZrO_2-SiO_2$  glasses in strongly alkaline environments. *J of the European Ceramic Society*, 2000. 20(14–15): p. 2499-2508.
  24. G. Beall., Design and properties of glass-ceramics. *Annual Review of Materials Science*, 1992. 22(1): p. 91-119.
  25. W. H. Cheng-Li Wang, Kuo-Ming Chang, Formation and morphology of  $Zn_2Ti_3O_8$  powder using hydrothermal process without agent or mineralizer. *International Journal of Molecular Sciences* 2011. 12: p. 935-945.





## بررسی خصوصیات الکتریکی پیزو سرامیک‌های بدون سرب تیتانات بیسموت سدیم پتاسیم در نزدیکی مرز فازی مورفوتروپیک

اعظم موسوی، محمد علی بهره‌ور، علی‌رضا آقایی

پژوهشگاه مواد و انرژی

Az\_moosavi@yahoo.com

**چکیده:** پیزو سرامیک بدون سرب  $Bi_{0.5} Na_{1-x} K_x O_3$  با مقادیر مختلف پتاسیم  $x=0.0/0.20, 0.18, 0.16, 0.14$  به روش سنتز حالت جامد تهیه شد. بررسی فازی نمونه‌ها توسط پراش اشعه X نشان داد که تمامی ترکیب‌ها دارای ساختار پروسکایت خالص می‌باشند. در ادامه خصوصیات دی الکتریکی، فروالکتریکی و پیزوالکتریکی نمونه‌ها تعیین شد. افزایش مقدار پتاسیم سبب کاهش دمای قطبش زدایی  $T_d$  در نمونه‌ها می‌شود. اندازه گیری حلقه پسمند در دمای اتاق نشان داد که بیشترین مقدار میدان و ادارنده و قطبش پس ماند به ترتیب در نمونه‌های  $x=0.0/0.20, 0.18, 0.16, 0.14$  بدست آمد. بررسی کرنش در میدان الکتریکی در دمای اتاق برای تمام نمونه‌ها انجام شد و بیشترین مقدار کرنش در نمونه  $x=0.0/0.20$  برابر  $13^{\circ}\text{C}$  درصد حاصل شد. کرنش در دمای نزدیک  $T_d$  به مقدار بسیار بالای  $16^{\circ}\text{C}$  درصد در نمونه  $x=0.0/0.20$  رسید. بهترین خصوصیات دی الکتریکی و پیزوالکتریکی در نمونه  $x=0.0/0.20$  نشان داد که ترکیب مذکور همان ترکیب مرز فازی مورفوتروپیک MPB در این سیستم می‌باشد.

**کلید واژه:** پیزوالکتریک، بدون سرب، تیتانات بیسموت سدیم پتاسیم، مرز فازی مورفوتروپیک.

### ۱- مقدمه

مواد فروالکتریک با ساختار پروسکایت کاربردهای بسیاری در وسایل الکتریکی پیدا کرده‌اند. از جمله این کاربردها می‌توان به موتورها و مولدهای پیزوالکتریک، مبدل‌ها، سنسورها و کاراندازها<sup>۱</sup> اشاره کرد. تاکنون مواد بر پایه سرب مانند (PMN) و  $Pb(Mg_{1/3},Nb_{2/3})O_3$  و  $Pb(Zr,Ti)O_3$  (PZT) استفاده را داشته‌اند. اما عنصر سرب بدليل سمی بودن و آلودگی محیط زیست و به خطر اندختن سلامت انسان و سایر موجودات زنده باید حذف شود. بنابراین بررسی ترکیب‌های بدون سرب و رسیدن به ترکیبی با خصوصیات قابل مقایسه با ترکیب پیزوالکتریک‌های دارای سرب از جمله اهداف محققان قرار گرفته است [۱-۴].

ترکیب تیتانات سدیم بیسموت (BNT) از جمله مواد فروالکتریک بدون سرب است که ویژگی‌های قابل توجه‌ای نشان می‌دهد. این ترکیب توسط Smolenskii و همکارانش در سال ۱۹۶۰ کشف شد [۵]. BNT در دمای اتاق دارای تقارن رومبوهدرال R3c می‌باشد و در دمای حدود  $300^{\circ}\text{C}$  ساختار آن به تتراگونال P4bm تبدیل می‌شود. این دما دمای انتقال از فاز رومبوهدرال

<sup>1</sup> Actuator

به تتراترونال ( $T_{R-T}$ ) تعریف می‌شود. با افزایش بیشتر دما تا حدود  $540^{\circ}\text{C}$  فاز تتراترونال به مکعبی پارالکتریک  $\text{m}3\bar{P}\text{m}$  تبدیل خواهد شد [۹-۵]. دمای قطبش زدایی ( $T_c$ )  $\text{BNT}$  برابر  $185^{\circ}\text{C}$  و دمایی که در آن ضریب دی الکتریک بیشینه می‌شود ( $T_m$ ) حدود  $320^{\circ}\text{C}$  می‌باشد [۱۰-۱۲]. مقدار قطبش پس‌ماند ( $P_r$ ) و میدان وادارنده ( $E_c$ ) در  $\text{BNT}$  به ترتیب برابر  $38 \mu\text{C}/\text{cm}^2$  و  $73 \text{kV}/\text{cm}$  می‌باشد [۱۱]. اما میدان وادارنده و هدایت الکتریکی زیاد در این ترکیب از جمله نقاط خصف آن به حساب می‌آید. برای غلبه بر آن می‌توان از ترکیب پروسکایت دیگری مانند  $\text{BKT}$  که مرز فازی مورفوتروپیک (MPB) با آن می‌دهد استفاده کرد [۱۱، ۱۲، ۱۳].

ترکیب تیتانات بیسموت پتاسیم (BKT) با ساختار تتراترونال در سال ۱۹۵۷ توسط Popper سنتز شد و ویژگی فروالکتریکی آن توسط Buhrer اثبات شد [۵]. این ترکیب دمای قطبش زدایی بالاتری از  $\text{BNT}$  نشان می‌دهد ( $270^{\circ}\text{C}$ ). این ترکیب نیز فروالکتریک می‌باشد، مقدار قطبش پس‌ماند و میدان وادارنده آن به ترتیب برابر  $7 \mu\text{C}/\text{cm}^2$  و  $33 \text{kV}/\text{cm}$  می‌باشد [۱۳]. دمایی که در آن ضریب دی الکتریک بیشینه است در  $\text{BKT}$  برابر  $380^{\circ}\text{C}$  می‌باشد. مرز فازی مورفوتروپیک در  $\text{BNKTx}$  در گستره  $x=0/20-0/16$  قرار گرفته است [۱۲].

پیزوالکتریک‌های بدون سرب در نزدیکی مرز فازی مورفوتروپیک ویژگی‌های الکترومکانیکی بالا نشان می‌دهند. در فاز رومبوهدرال (BNT) قطبش در طول جهت‌های <۱۱۱> وجود دارد در حالیکه در فاز تتراترونال (BKT) قطبش خود به خودی در طول <۱۰۰> اتفاق می‌افتد. مشخصه‌های فیزیکی مانند ثوابت دی الکتریک و پیزوالکتریک در مرز فازی مورفوتروپیک (MPB) یک تغییر ناگهانی نشان داده و مقادیر بیشینه ای اختیار می‌کنند. این مرز فازهای رومبوهدرال و تتراترونال را از هم جدا می‌کند و در تلاقی مرز فازی، دو قطبی‌ها دوباره آرایش می‌یابند. قطبی کردن این سرامیک‌ها در ترکیب MPB آسان است زیرا قطبش خود به خودی در هر دانه می‌تواند به یکی از ۱۴ آرایش ممکن صورت گیرد (۸ جهت [۱۱۱] برای فاز رومبوهدرال و ۶ جهت [۱۰۰] برای فاز تتراترونال)، در نتیجه ماده سرامیکی با ترکیب MPB خصوصیات پیزوالکتریکی عالی نشان می‌دهند [۱۲ و ۱۳]. ترکیب  $\text{BNKTx}$  به عنوان فروالکتریک واهلشگر<sup>۱</sup> به علت قرار گرفتن عناصر  $\text{Bi}^{+3}$ ,  $\text{Na}^+$ ,  $\text{K}^+$  همگی در مکان A در ساختار  $\text{ABO}_3$  دارای ساختار پروسکایت پیچیده می‌باشد.

در این پژوهش هدف تهیه ترکیب‌های بر پایه  $\text{BNKTx}$  با مقادیر مختلف پتاسیم در گستره MPB می‌باشد. اثر پتاسیم بر خصوصیات دی الکتریکی، پیزوالکتریکی و کرنش ایجاد شده توسط میدان بررسی شده تا بتوان سیستم بدون سربی با خصوصیات قابل مقایسه با سیستم‌های سربی بدست آورد.

## ۲- فعالیت‌های تجربی

پیزوسرامیک بدون سرب  $\text{Bi}_{0.5}(\text{Na}_{1-x}\text{K}_x)_{0.5}\text{TiO}_3$  با نام مختصر  $\text{BNKTx}$  با مقادیر مختلف پتاسیم  $x=0/18-0/20-0/22-0/24$  با روش سنتز حالت جامد تهیه شد. مواد اولیه استفاده شده عبارتند از:  $\text{Bi}_2\text{O}_3(99/9\%, \text{Aldrich})$ ،  $\text{Na}_2\text{CO}_3(99/95\%, \text{Aldrich})$  و  $\text{K}_2\text{CO}_3(>99.0\%, \text{Aldrich})$ . پودرهای توزین شده با

<sup>۱</sup> Relaxor

نسبت استوکیومتری به همراه اتانول درون آسیاب سیارهای با گلوله‌های زیرکونیایی با سرعت  $180\text{ rpm}$  به مدت ۲ ساعت آسیاب شدند. پودرهای حاصل پس از خشک شدن در دمای  $85^{\circ}\text{C}$  درجه به مدت ۲ ساعت کلسینه شدند. بعد از آسیاب مجدد به مدت ۳ ساعت از پودرهای کلسینه شده تحت فشار  $250\text{ MPa}$  قرص‌هایی به قطر  $13\text{ mm}$  و ضخامت  $1\text{ mm}$  متر تهیه شد. فرایند زینتر قرص‌های تهیه شده درون بوته‌های در بسته از جنس آلومینا، در دمای  $115^{\circ}\text{C}$  به مدت ۲ ساعت و با سرعت  $5^{\circ}\text{C/min}$  انجام گرفت. بعد از برداشتن لایه‌ای از سطح قرص‌های زینتر شده توسط کاغذ سمباده دانسیته آن‌ها محاسبه شد.

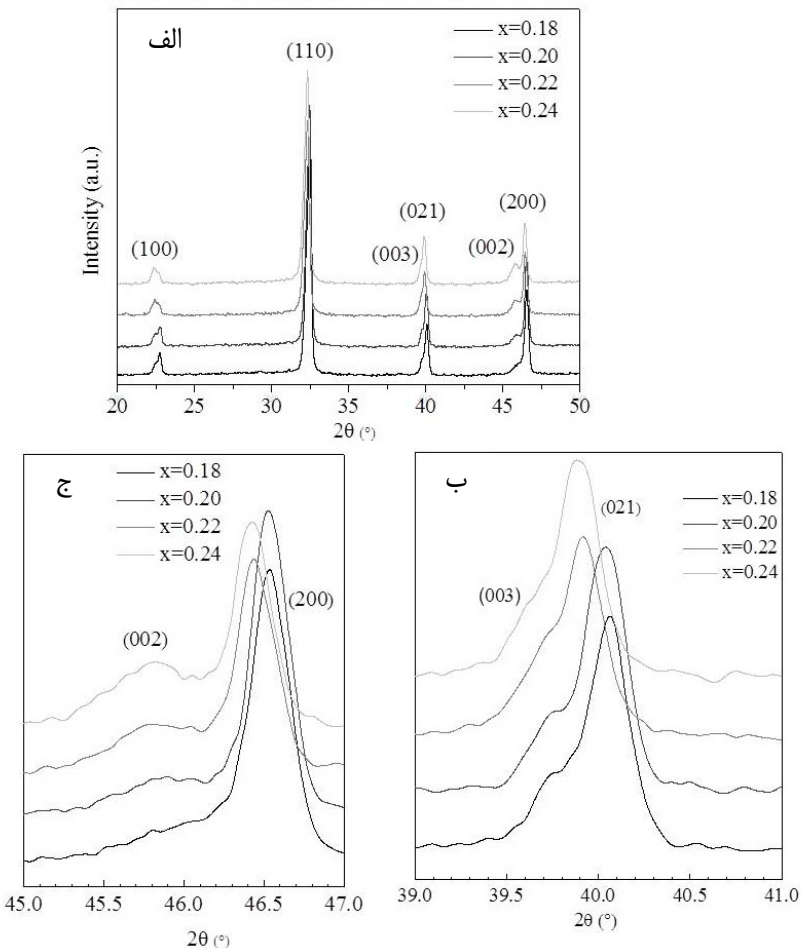
جهت بررسی فازی نمونه‌ها آزمایش پراش اشعه ایکس XRD به کمک دستگاه زیمنس D500 باتابش مس به طول موج  $1/\text{۵}418\text{ \AA}$  آنگستروم به روی نمونه‌ها انجام شد. برای اندازه‌گیری‌های الکتروکتریکی خمیر نقره بروی دو سطح قرص‌ها نشانده و در دمای  $600^{\circ}\text{C}$  به مدت ۱ ساعت پخت شدند. بستگی گذردهی دی الکتروکتریک به دما در گستره دمایی  $25^{\circ}\text{C}$  تا  $450^{\circ}\text{C}$  با سرعت  $2^{\circ}\text{C/min}$  در بسامدهای  $1/\text{۰}000$  کیلو هرتز به کمک HP 4284A LCR meter انجام شد. حلقه‌های پسماند در دمای اتاق با اعمال موج‌های سینوسی ولتاژ در بسامد  $1/\text{۰}0$  هرتز توسط دستگاه HP3325B و تقویت کننده با ولتاژ بالا اندازه‌گیری شد. برای اندازه‌گیری مشخصات پیزوالکتروکتریکی، نمونه‌های سرامیکی تحت میدان  $3-4\text{ kV/mm}$  در دمای  $150^{\circ}\text{C}$  به مدت ۱۵ دقیقه قطبی شدند. ضریب پیزوالکتروکتریک  $d_{33}$  بعد از قطبی شدن نمونه‌ها با دستگاه Berlincourt اندازه‌گیری شد. برای ارزیابی ویژگی نمونه‌ها به عنوان کارانداز، اندازه‌گیری تغییر شکل طولی قرص‌ها تحت میدان مثبت موازی با جهت قطبش انجام شد. ولتاژهای محرکه، موج‌های سینوسی بایاس شده  $1/\text{۰}0$  هرتز بودند که توسط مولد دیجیتالی NI-SCXI 1302 و منع تعزیه/تقویت کننده KEPCO BOP 1000 M اعمال شدند. تغییر شکل به کمک مبدل تفاضلی خطی متغیر<sup>۱</sup> اندازه‌گیری شد.

### ۳- نتایج و بحث

الگوهای پراش اشعه X از نمونه‌های BNKTx با مقادیر  $\times$  مختلف در گستره  $20-50^{\circ}$  درجه در شکل ۱ الف نشان داده شده است. همانطور که از این شکل دیده می‌شود تمام ترکیب‌های دارای ساختار پروسکایت خالص با تقارن رومبوهدرال و تتراگونال بدون فاز ناخالصی و همراه با تشکیل محلول جامد می‌باشند. فازهای BNT و BKT بر اساس کارت‌های JCPDS به ترتیب با شماره‌های  $34-0340$  و  $36-0339$  بررسی شدند. حضور دو پیک  $(003)/(021)$  در محدوده  $39-41^{\circ}$  درجه مربوط به تقارن رومبوهدرال (شکل ۱ب) ترکیب BNT می‌باشد در حالیکه هم پوشانی دو پیک  $(200)/(002)$  در محدوده  $45-47^{\circ}$  درجه (شکل ۱ج) نشان دهنده تقارن تتراگونال ترکیب BKT می‌باشد. هم پوشانی پیک‌های ذکر شده نشان از وجود همزمان فازهای تتراگونال و رومبوهدرال در ترکیب‌های MPB در سیستم BNKTx دارد [۱۴]. با افزایش مقدار  $\times$  از  $18/\text{۰}0$  به  $24/\text{۰}0$  و بالا رفتن مقدار پتانسیم پیک‌های پراش به طور سیستماتیک به سمت زوایای کمتر منتقل می‌شوند که بر اساس رابطه برآگ نشان دهنده ثوابت شبکه بزرگتر می‌باشد [۱۳].

<sup>۱</sup> Frequency

<sup>۲</sup> Linear variable differential transducer



شکل ۱ - الگوی پراش اشعه X سرامیک‌های BNKTx ( $x=0.18, 0.20, 0.22, 0.24$ ) در محدوده  $2\theta = 41-47$  درجه (ب) و  $2\theta = 40-40.5$  درجه (ج) برآورد شده است.

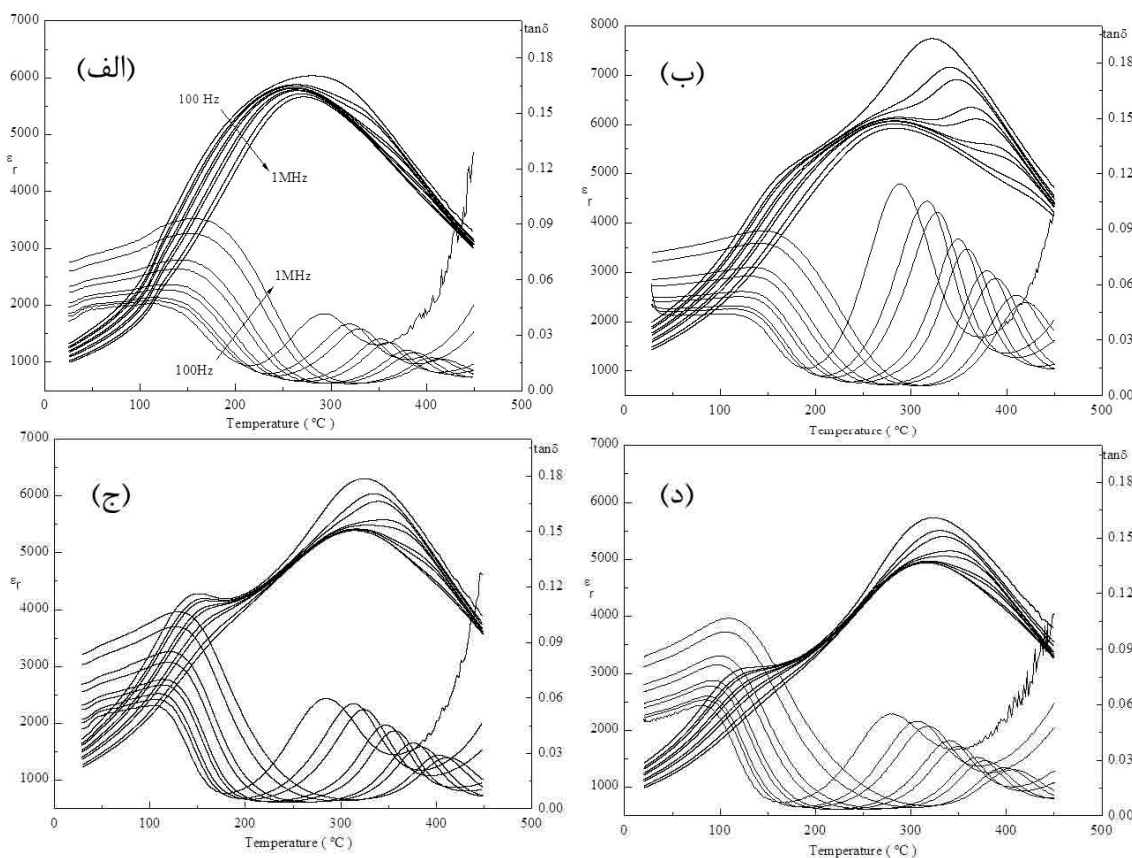
جانشینی کاتیون‌ها در مکان‌های A در ساختار پروسکایت اثر زیادی بر رفتار دی الکتریک پروسکایت‌های فروالکتریک با دما دارد [۱۵-۱۸]. بنابراین بستگی دمایی ثابت دی الکتریک نسبی ( $\epsilon_r$ ) و تانزانت اتلاف ( $\tan \delta$ ) نمونه‌ها بررسی شد. شکل ۲ تغییرات  $\epsilon_r$  و  $\tan \delta$  نمونه‌های قطبی نشده را در بسامدهای  $10^1, 10^2, 10^3, 10^4, 10^5$  و  $10^6$  کیلو هرتز نشان می‌دهد. در این شکل به جز نمونه  $x=0.18$  علاوه بر پیک بیشینه ثابت دی الکتریک، یک شانه<sup>۱</sup> نیز در دماهای پایین‌تر دیده می‌شود. در دمای  $T_m$  هر دو مقدار  $\epsilon_r$  و  $\tan \delta$  با افزایش بسامد کاهش می‌یابد. مقدار  $\epsilon_r$  در نمونه  $x=0.20$  افزایش زیادی نشان می‌دهد و سپس با افزایش بیشتر مقدار  $\tan \delta$  پتانسیم به طور تدریجی کاهش می‌یابد. رفتار پاشیدگی بسامدی<sup>۲</sup>  $\epsilon_r$  در دماهای کمتر از شانه و اطراف  $T_m$  در تمامی نمونه‌ها دیده می‌شود. وابستگی دمای  $T_m$  به بسامد، رفتار پاشیدگی<sup>۳</sup> منحنی  $\epsilon_r$  در حدود  $T_m$  و پیک پهن بیشینه مشاهد شده در منحنی‌های  $T$ - $\epsilon_r$  دارند. همگی اشاره به مکانیزم گذار پخشی<sup>۴</sup> از فاز تتراگونال به پارالکتریک مکعبی در سیستم BNKTx دارند.

<sup>1</sup> Shoulder

<sup>2</sup> Frequency dispersive behavior

<sup>3</sup> Dispersive

<sup>4</sup> Diffuse transition



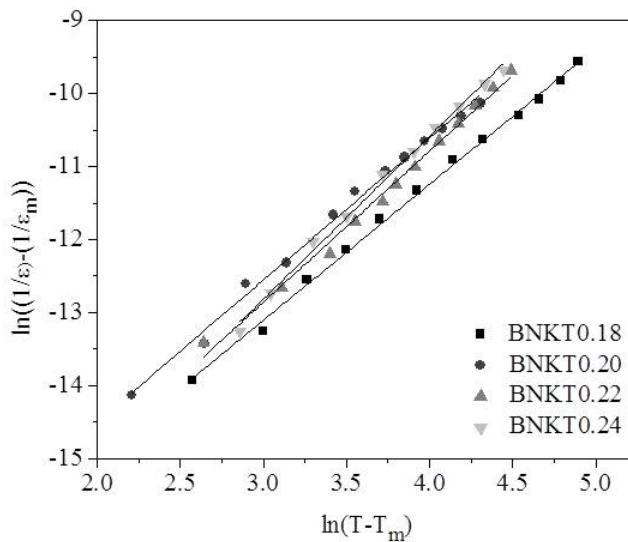
شکل ۲- تغییرات  $\epsilon_r$  و  $\tan \delta$  نمونه‌های قطبی نشده را در بسامدهای ۱/۰، ۵/۰، ۱۰، ۵۰، ۱۰۰ و ۱۰۰۰ کیلو هرتز  
الف)  $x=0/18$  ب)  $x=0/20$  ج)  $x=0/22$  د)  $x=0/24$

در حقیقت در این حالت، قانون کوری-وایس تعديل شده می‌تواند استفاده شود:

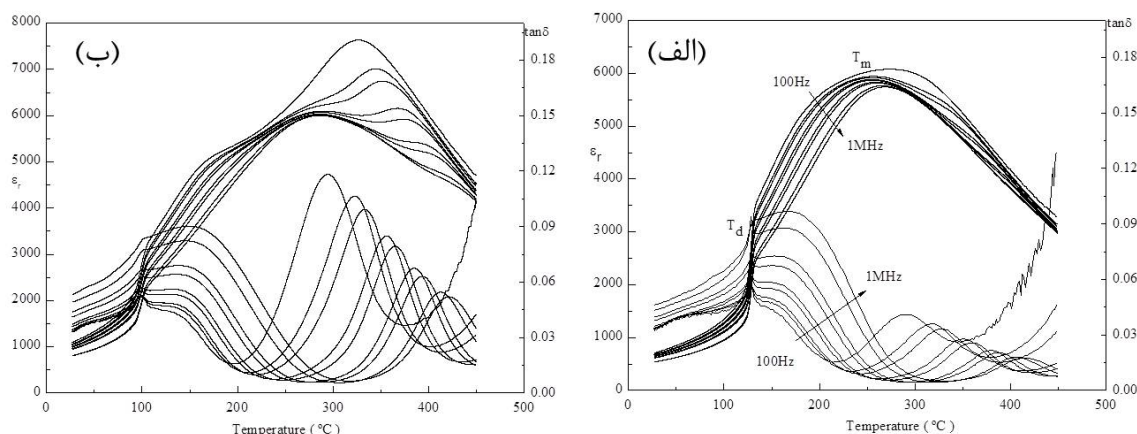
$$\frac{1}{\epsilon_r} - \frac{1}{\epsilon_m} = C(T - T_m)^\gamma$$

که در آن  $C$  و  $\gamma$  به ترتیب ثابت کوری و مقدار پراکندگی می‌باشند. مقدار  $\gamma$  بین ۱ و ۲ برای مواد فروالکتریک تغییر می‌کند. وقتی  $\gamma$  برابر ۱ باشد رابطه بالا به صورت قانون کوری-وایس برای مواد فروالکتریک کلاسیک با ساختار پروسکایت در می‌آید و وقتی به ۲ نزدیک می‌شود بیانگر رفتار فروالکتریک واهلشگر می‌باشد [۱۹]. شکل ۳ تغییرات  $(\frac{1}{\epsilon_r} - \frac{1}{\epsilon_m})$  بر حسب  $\ln(T - T_m)$  را برای نمونه‌های مختلف در بسامد ۱۰ کیلو هرتز نشان می‌دهد. شبیه خطوط که بیانگر مقدار  $\gamma$  است در محدوده ۰/۸۳-۰/۹۸ قرار دارد که رفتار واهلشگری نمونه‌ها را بیان می‌کند.

روش‌های متفاوتی برای تعیین دمای قطبش زدایی ( $T_d$ ) سرامیک‌های فروالکتریک بیان شده است. Hiruma و همکارانش برای تعیین  $T_d$  از اولین پیک  $\tan \delta$  بر حسب دما از نمونه‌های کاملاً قطبی شده استفاده کردند [۲۰]. شکل ۴ تعیین دمای قطبش زدایی نمونه‌های ۰/۰۲۰ و ۰/۰۱۸ را نشان می‌دهد. ناپیوستگی در  $\tan \delta$  بر حسب دما در نمونه‌های قطبی شده در دماهای کم نشان‌دهنده دمای قطبش زدایی می‌باشد. مقادیر  $T_d$  تمام نمونه‌ها در جدول ۱ گرد آوری شده است.

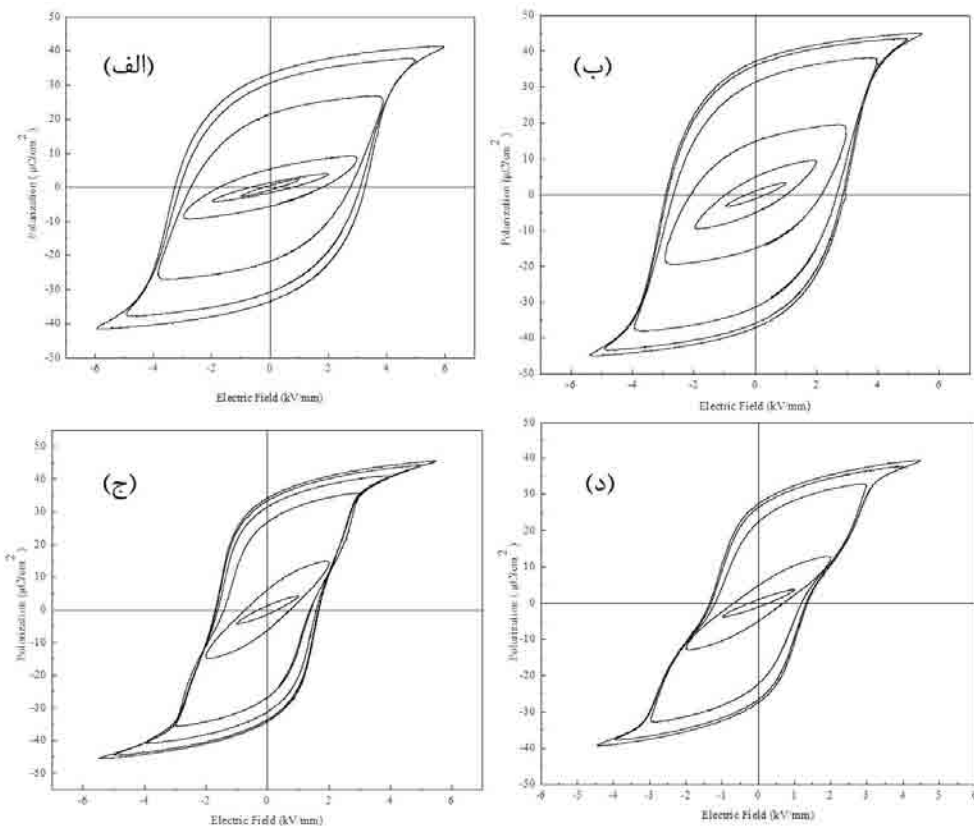


شکل ۳- تغییرات  $\ln(\frac{1}{\epsilon_r} - \frac{1}{\epsilon_m})$  بر حسب  $\ln(T - T_m)$  برای تمام نمونه‌ها.



شکل ۴- تعیین دمای قطبش زدایی در نمونه‌های (الف) و (ب)  $x=0/20$ .

حلقه پسماند نمونه‌ها با مقادیر مختلف پتانسیم در شکل ۵ نشان داده شده است. بیشترین مقدار میدان بازدارنده ( $E_c$ ) در نمونه  $x=0/20$  و بیشترین مقدار قطبش پس ماند ( $P_r$ ) در نمونه  $x=0/20$  بدست آمد. مقادیر قطبش پس ماند همه نمونه‌ها در جدول ۱ دیده می‌شود. با افزایش مقدار پتانسیم حلقه پسماند باریکتر می‌شود و با رسیدن به  $x=0/24$  منحنی جمع می‌شود. در بسیاری از بررسی‌های انجام شده این جمع شدگی منحنی به حضور فاز آنتی فروالکتریک در ترکیب‌های بر پایه BNT نسبت داده شده است [۲۱و۲۲]. این حالت در نمونه پروسکایت‌های واهلشگر کلاسیک نیز دیده می‌شود. در فروالکتریک‌های پروسکایت کلاسیک این جمع شدگی مربوط به وجود فازهای آنتی فروالکتریک نمی‌باشد بلکه دلیل آن به حضور فاز غیر قطبی یا قطبی ضعیف که با اعمال میدان الکتریکی به فاز قطبی تبدیل می‌شود بر می‌گردد [۲۳]. با توجه به مقادیر قطبش پس ماند حتی در مورد نمونه  $x=0/24$  می‌توان گفت که این جمع شدگی منحنی ممکن است به علت حضور فاز غیر قطبی یا قطبی ضعیف در سیستم BNKT $x$  باشد.



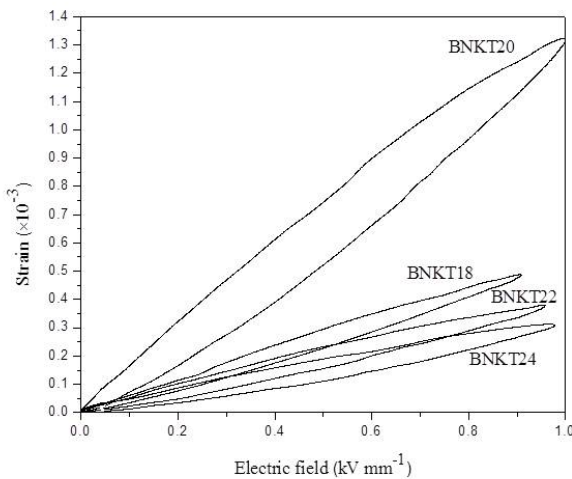
شکل ۵- حلقه پسماند نمونه‌ها با مقادیر مختلف پتانسیم (الف) ۱۸، (ب) ۲۰، (ج) ۲۲ و (د) ۲۴.

کرنش القا شده<sup>۱</sup> توسط میدان الکتریکی برای تمام نمونه‌ها در میدان ۱ kV/mm اندازه‌گیری شد. مقدار قابل توجه کرنش در نمونه  $x=0/20$  بدست آمد (شکل ۶). گزارش شده است که ترکیب‌های BNKTx دارای فاز فروالکتریک رومبوهدرال و تتراترونال هستند بهینه مقادیر دیالکتریک، فروالکتریک و پیزوالکتریک را نشان می‌دهند. همچنین پیشنهاد شده است که فازهای آنتی فروالکتریک در این سیستم وجود ندارد. نتایج XRD وجود همزمان فازهای فروالکتریک تتراترونال و رومبوهدرال را تایید کرد (شکل ۱). گفته شده است که در بین دماهای قطبش زدایی  $T_m$  و  $T_d$  ناحیه دو فازی وجود دارد [۲۴]. بنابراین در نمونه  $x=0/20$  (شکل ۴) دمای قطبش زدایی و دمای انتقال از فاز رومبوهدرال به تتراترونال  $T_{R-T}$  بر هم منطبق است. از آنجاییکه وضعیت سامان‌ها<sup>۲</sup> و ترکیب فاز در سیستم BNKTx تقریباً پیچیده است، انتقال فاز از طریق اعمال میدان الکتریکی، می‌تواند منجر به کرنش‌ها و اتلاف بالاتر شود. در شکل ۴ مقدار دمای قطبش زدایی در نمونه  $x=0/20$  برابر  $100^\circ\text{C}$  بدست آمد با اندازه‌گیری کرنش در دماهای مختلف، مقدار  $S=0/36\%$  در دمای  $80^\circ\text{C}$  نزدیک به دمای قطبش زدایی حاصل شد (شکل ۷). می‌توان نتیجه‌گیری کرد که در سیستم BNKTx تغییر تقارن کریستالی از رومبوهدرال به تتراترونال در میدان الکتریکی کوچک ۱ kV/mm در دمای  $T_{R-T}=T_d$  اتفاق می‌افتد. مقدار کرنش

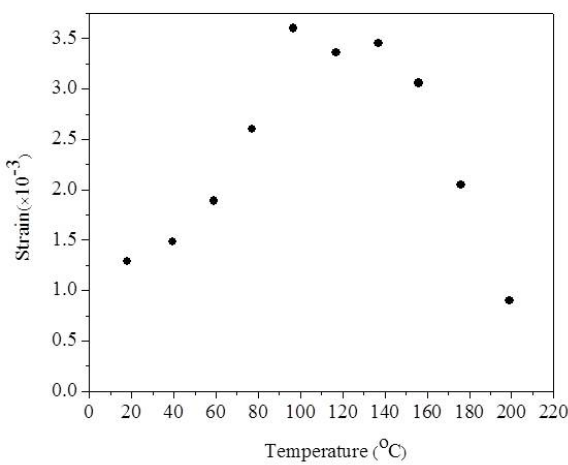
<sup>1</sup> Field-induced strain

<sup>2</sup> Domain

بالا در دماهای نزدیک دمای قطبش زدایی نشان دهنده انتقال فازی آسان در میدان‌های الکتریکی کوچک می‌باشد. مقادیر ضرایب پیزوالکتریک  $d_{33}$  و کرنش نرماله شده  $d_{33}^*$  نمونه‌ها در جدول ۱ دیده می‌شود. بیشینه مقدار هر دو ضریب در ترکیب BNKT ۰/۲۰ بدست آمد. اگرچه مقادیر  $d_{33}$  با سایر گزارشات ارائه شده توسط دیگران قابل مقایسه می‌باشد اما مقادیر کرنش بسیار بالا در دمای محیط کاملا استثنایی می‌باشد. مقادیر بالای  $d_{33}^*$  بیانگر میدان‌های الکتریکی کم برای انتقال فاز در مرز فازی مورفوتروپیک می‌باشد.



شکل ۶- حلقه‌های کرنش طولی بر حسب میدان (S-E) در تمام نمونه‌ها.



شکل ۷- بررسی کرنش طولی بر حسب دماهای مختلف در نمونه BNKT ۰/۲۰

بنابراین می‌توان گفت که در سیستم BNKT<sub>x</sub> بالاترین مقادیر  $d_{33}$  و  $d_{33}^*$  در ترکیب MPB (x=0.20) بین فازهای رومبوهدرال و تترائگونال بدست آمد. در حالیکه در دمای قطبش زدایی ویژگی‌های پیزوالکتریکی از بین می‌رود، اما کرنش القا شده در این دما در ترکیب مذکور افزایش چشمگیری نشان می‌دهد. همانطور که انتظار می‌رفت در ترکیب MPB کلیه ویژگی‌های الکترو مکانیکی افزایش قابل توجه‌ای نشان دادند بطوریکه مقدار کرنش القا شده در این نقطه، بیشینه مقدار را دارا

می باشد. شایان ذکر است که مقدار کرنش های بالا اغلب در ترکیب فازی آنتی فروالکتریک-فروالکتریک و تبدیل فاز آنتی فروالکتریک به فاز فروالکتریک با اعمال میدان الکتریکی بدست آمده است، در حالیکه مقادیر کرنش حاصل از این پژوهش نشان داد که در مرز فازی رومبوهدرا-ترزاگونال جاییکه دو فاز فروالکتریک-فروالکتریک وجود دارند با اعمال میدان الکتریکی در مقدار  $1 \text{ kV/mm}$  انتقال فاز اتفاق افتاده و مقادیر کرنش افزایش می یابند. افزایش دما تا دمای قطبش زدایی نیز موجب ترغیب انتقال فاز و افزایش کرنش می شود (شکل ۷).

جدول ۱ - دمای قطبش زدایی ( $T_d$ )، خصوصیات فروالکتریکی و پیزوالکتریکی تمامی نمونه های BNKTx.

ترکیب	$T_d$ ( $^{\circ}\text{C}$ )	$P_r$ ( $\mu\text{C}/\text{cm}^2$ )	$E_c$ ( $\text{kV/mm}$ )	$d_{33}$ ( $\text{pC/N}$ )	$(\text{pm/V}) d_{33}^*$
۰/۲۴BNKT	۶۵	۷۱	۱۰۰	۱۳۰	
۰/۲۲BNKT	۲۶/۸	۳۴	۳۷/۵	۳۳/۵	
۰/۲۰BNKT	۱/۱۸	۱/۵۵	۲/۶۰	۳/۲۶	
۰/۱۸BNKT	۱۲۵	۱۶۰	۱۹۵	۱۵۰	
	۳۶۰	۴۴۰	۱۳۲۰	۵۶۰	$(\text{pm/V}) d_{33}^*$

#### ۴- نتیجه گیری

پیزو سرامیک BNKTx با روش سنتز حالت جامد تهیه شد. تمامی ترکیبات بررسی شده فاز فروالکتریک با ساختار پروسکایت نشان می دهند. ویژگی های دی الکتریکی، فروالکتریکی و پیزوالکتریکی ترکیب BNKTx نشان داد که ترکیب بهینه در  $x=0/20$  قرار دارد. در حقیقت بهترین انتخاب به عنوان ترکیب MPB در نمونه  $x=0/20$  حاصل شده است. مطالعات دی الکتریکی نشان داد که در مرز فازی مورفوتروپیک، سیستم فروالکتریک واهلشگر می باشد. همچنین با افزایش مقدار پتانسیم دمای قطبش زدایی کاهش یافت. مقدار کرنش  $S=0.13\%$  در نمونه بهینه تحت میدان  $1 \text{ kV/mm}$  بدست آمد. مقادیر بالاتر کرنش  $S=0.38\%$  در میدان های بزرگتر  $2/4 \text{ kV/mm}$  یا دمای بالاتر ( $100^{\circ}\text{C}$ ) نتیجه شد. میدان محرکه اعمالی بسیار کوچکتر از سایر گزارشات ارائه شد در مورد سیستم های بر پایه BNT می باشد که این امر نوید بخش استفاده از این ترکیب بدون سرب را به عنوان کارانداز می دهد.

#### مراجع

1. B. Jaffe, R. S. Roth, S. Marzullo, "Piezoelectric properties of lead zirconate titanate:II," Appl. Phys. 25 [6]: 809-810 (1954).
2. G. H. Haertling, " Ferroelectric ceramics: History and Technology" J. Am. Ceram. Soc. 82: 797-818 (1999).
3. K. Uchino, Ferroelectric devices (Marcel Dekker, New York, 2000).

4. P. K. Panda, Mat. Sci., "Environmental friendly lead-free piezoelectric materials" 44: 5049-5062 (2009).
5. J. Rodel, W. Joo, K. T. P. Seifert, E. Maria, and T. Granzow, "Perspective on the development of lead-free piezoceramics" J. Am. Ceram. Soc. 92 [6]: 1153-1177 (2009).
6. J. A. Zvirgzds, P. P. Kapostis, and J. V. Zvirgzde, "X-ray study of phase transition in ferroelectric  $(\text{Bi}_{0.5}\text{Na}_{0.5})\text{TiO}_3$ " Ferroelectrics 40: 75-77 (1982).
7. G. O. Jones and P. A. Thomas, "The tetragonal phase of NBT- a new variant of the perovskite structure" Acta Crystallogr., Sect. B: Struct. Sci. 56 [3]: 426-430 (2002).
8. G. Siny, C. S. Tu, and V. H. Schmidt, "Critical acoustic behavior of the relaxor ferroelectric BNT in the transition region" Phys. Rev. B 51 5659- 5665 (1995).
9. K. Sakata and Y. Masuda, "Ferroelectric and antiferrielectric properties of BNT-SrTO<sub>3</sub> solid-solution ceramics" Ferroelectrics 7: 347-351 (1974).
10. C. S. Tu, I. G. Siny, , and V. H. Schmidt, "Sequence of dielectric anomalies and high temperature relaxation behavior in BNT" Phys. Rev. B 49: 11550-11559 (1994).
11. T. Takenaka, K. Sakata, K. Toda, "Piezoelectric and pyroelectric properties of BNT- based ceramics" Ferroelectrics 95: 153-156 (1989).
12. Sasaki, T. Chiba, Y. Mamiya, E. Otsuki, "Dielectric and piezoelectric properties of (BNKT) systems" Jpn. J. Appl. Phys. 38: 5564-5567 (1999).
13. M. Otoničar, S. D. Škapin, M. Spreitzer, D. Suvorov, "Compositional range and electrical properties of the morphotropic phase boundary in the BNT-BKT system" J. Eur. Ceram. Soc." 30: 971-979 (2010).
14. M. Zou, H. Fan, L. Chen, W. Yang, "Microstructure and electrical properties of (1-x)[0/82BNT- 0/18BKT]-xBiFeO<sub>3</sub> lead-free piezoelectric ceramics" J. Alloys Compd. 495: 280-283 (2010).
15. H-d. Li, C-d. Feng, W-l. Yao, "Some effects of different additives on dielectric and piezoelectric properties of BNT-BaTiO<sub>3</sub> morphotropic phase boundary composition" J. Mat. Lett. 58 (2004) 1194-1198.
16. Z. Yang, B. Liu, L. Wei, Y. Hou,"Structure and electrical properties of (1-x)BNT-xBKT ceramics near morphotropic phase boundary" J. Mat. Res. Bull. 43: 81-89 (2008).
17. P. Marchet, E. Boucher, V. Dorcet, J. P. Mercurio, "Dielectric properties of some low-lead or

- lead-free perovskite-derived materials BNT-PbZrO<sub>3</sub>, BNT-BiScO<sub>3</sub> and BNT-BiFeO<sub>3</sub> ceramics” J. Eur. Ceram. Soc. 26 [14]: (2006) 3037-3041.
18. B. Parija, T. Badapanda, V. Senthil, S. K. Rout, S. Panigrahi, “Diffuse phase transition, piezoelectric and optical study of BNT ceramic” Bull. Mat. Sci. 35 [2]: (2012) 197-202.
19. X. X. Wang, S. H. Choy, X. G. Tang, H. L. Chan, ”Dielectric behavior and microstructure of BNT-BKT-BT lead-free piezoelectric ceramics” J. Appl. Phys. 97: 104101 (2005).
20. Y. Hiruma, H. Nagata, T. Takenaka, ”Phase transition temperatures and piezoelectric ceramics of BNT-BKT-BaTiO<sub>3</sub> lead-free piezoelectric ceramics” Jpn. J. Appl. Phys. 45 [5B]: 7409-7412 (2006).
21. S-T. Zhang, A. B. Kounga, E. Aulbach, T. Granzow, W. Jo, ”Lead-free piezoceramics with giant strain in the system BNT-BT-KNN.I. Structure and room temperature properties” J. Appl. Phys. 103: 034107 (2008).
22. Singh, R. Chatterjee, ”Structural, electrical, and strain properties of stoichiometric 1-x-y(BNT)-X(BKT)-Y(KNN) solid solutions” J. Appl. Phys. 109: 024105 (2011).
23. W. Jo, S. Schaab, E. Sapper, L. A. Schmitt, H-J. Kleebe, A. J. Bell, J. Rodel, J.”On the phase identity and its thermal evolution of lead free BNT-6mol% BT” Appl. Phys. 110: 074106 (2011).
24. Y. Hiruma, H. Nagata, and T. Takenaka, “Phase diagrams and electrical properties of BNT-based solid solutions” J. Appl. Phys. 104: 124106 (2008).





## سنتر نانوذرات مغناطیسی اکسید آهن به روش همرسوبی و بررسی تاثیر نسبت غلظت مواد واکنش دهنده بر اندازه و خواص مغناطیسی ذرات

حسین اثناعشری ایوری<sup>۱</sup>، هادی عربی<sup>۲</sup>

<sup>۱</sup> گروه فیزیک، دانشگاه زابل، <sup>۲</sup> گروه فیزیک، دانشگاه فردوسی مشهد

asnaashari@uoz.ac.ir

**چکیده:** در این مقاله نانوذرات اکسید آهن به روش همرسوبی و با استفاده از  $\text{NaOH}$  به عنوان عامل رسوب‌دهنده سنتر شده است. خواص مغناطیسی ذرات توسط VSM اندازه‌گیری و تاثیر غلظت مواد واکنش دهنده بر خواص مغناطیسی و اندازه نانوذرات بررسی شده است. اندازه ذرات با استفاده از الگوهای اشعه X به کمک فرمول شر و همچنین با استفاده از داده‌های مغناطیسی محاسبه و با اندازه TEM مقایسه شده است. اندازه ذرات بدست آمده بین ۸ الی ۱۲ نانومتر و مغناطش اشباع آنها بین ۸۴ الی ۱۶۵  $\text{emu/gr}$  می‌باشد. مشخص گردید که کاهاش نسبت غلظت  $\text{NaOH}$  به غلظت مجموع یون‌های آهن باعث افزایش چشمگیر مغناطش اشباع ذرات می‌شود ولی اندازه آنها را به مقدار اندکی افزایش می‌دهد.

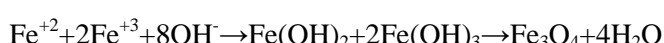
**کلید واژه:** روش همرسوبی، خواص مغناطیسی، مگنتیت، نانوذرات مغناطیسی.

### ۱- مقدمه

نانوذرات مغناطیسی، مخصوصاً مگنتیت این روزها هم از لحاظ علمی و هم از لحاظ تکنولوژیکی از اهمیت اساسی برخوردار هستند. کاربرد این نانوذرات در جاهایی مثل ذخیره‌سازی اطلاعات، سنسورها، کاتالیست‌ها و مخصوصاً در بیوپزشکی محركی قوی برای تحقیقات بر روی سنتر نانوذرات مگنتیت با خواص مناسب می‌باشد [۱,۲].

دو روش مهم ساخت نانوذرات مغناطیسی، روش مایسل معکوس و روش همرسوبی است. در روش مایسل معکوس نانوذرات درون حوضچه‌هایی با ابعاد چند نانومتر رسوبدهی می‌شوند و بنابراین می‌توان کنترل خوبی روی ابعاد نانوذرات داشته و توزیع اندازه ذرات تیزتر است. اما معایب آن پرهزینه بودن و وقت‌گیر بودن آن است و همچنین ذرات سنتر شده از نظر مغناطش اشباع ضعیف هستند.

روش همرسوبی یکی از قدیمی‌ترین روش‌های ساخت نانوذرات است که اولین بار توسط خالافالا جهت سنتر نانوذرات مگنتیت استفاده شد. مزیت این روش ارزان بودن و وقت‌گیر نبودن آن است و همچنین می‌توان در حجم کم واکنش مقدار زیادی نانوذره ساخت. در این روش یون‌های  $\text{Fe}^{+2}$  و  $\text{Fe}^{+3}$  در حضور  $\text{OH}^-$  تحت واکنش زیر رسوب داده می‌شوند [۳].



برای بدست آوردن محصولی بدون ناخالصی باید نسبت یون‌های  $\text{Fe}^{+3}$  به  $\text{Fe}^{+2}$  به صورت ۲ به ۱ باشد. مهمترین عاملی که

نسبت ایدهآل ذکر شده را بهم می‌زند اکسیژن است که  $\text{Fe}^{+2}$  را اکسید کرده و به  $\text{Fe}^{+3}$  تبدیل می‌کند و ناخالصی‌هایی مثل ماگمیت و ژئوتایت به وجود می‌آورد. ماگمیت از نظر خواص مغناطیسی به مگنتیت نزدیک است و بنابراین خواص مغناطیسی محصول را زیاد تغییر نمی‌دهد اما ژئوتایت یک ماده غیر مغناطیسی است و باعث تضعیف خواص مغناطیسی محصول نهایی می‌شود<sup>[۱]</sup>. بنابراین برای بدست آوردن محصولی نسبتاً خالص، باید در تمام مرافق سنتز عامل اکسیژن را حذف کرد. یکی از راه‌های جلوگیری از رسیدن اکسیژن به یون‌های  $\text{Fe}^{+2}$  انجام عمل سنتز تحت گاز بی‌اثر نیتروژن است [۳,۴].

در تهییه نانوذرات اکسید آهن به روش همرسوی عوامل بسیاری بر خواص فیزیکی و مغناطیسی نانوذرات تاثیر می‌گذارد. از جمله مهمترین این عوامل دمای واکنش، غلظت محلول نمک‌های آهن و غلظت ماده رسوب دهنده، در اینجا هیدروکسید سدیم، می‌باشد. تاثیر عوامل ذکر شده، هر کدام بطور جداگانه در بسیاری از مقالات بررسی شده است. اگر بخواهیم اثر غلظت ماده رسوب دهنده و غلظت نمک‌های آهن را بطور همزمان مطالعه کنیم، انتخاب نسبت غلظت‌ها به عنوان پارامتر متغیر روش مناسبی به نظر می‌رسد، بنابراین هدف از انجام این تحقیق بررسی تاثیر نسبت غلظت عامل رسوب دهنده به غلظت نمک‌های آهن می‌باشد.

## ۲- بخش تجربی

### ۲-۱- مواد لازم

در این پژوهش نانوذرات اکسید آهن با روش همرسوی تهییه شده‌اند. برای تهییه نانوذرات از کلرید آهن (II) چهار آبه (FeCl<sub>2</sub>.4H<sub>2</sub>O) با خلوص ۹۹٪ کلرید آهن (III) شش آبه (FeCl<sub>3</sub>.6H<sub>2</sub>O) با خلوص ۹۹٪ و هیدروکسید سدیم (NaOH) با خلوص ۹۷٪ و از آب مقطر استفاده شده است.

### ۲-۲- وسایل و دستگاه‌ها

الگوی پراش نمونه‌ها توسط دستگاه تفرق اشعه ایکس Philips X'PERT MPD با تیوب مس اندازه‌گیری شد. خواص مغناطیسی نمونه‌ها توسط دستگاه مغناطیس سنج نمونه ارتعاشی، VSM، اندازه‌گیری شدند. تصویر میکروسکوپی ذرات توسط دستگاه TEM مدل Leo912 AB تهییه گردید.

### ۲-۳- روش تهییه نانوذرات

پس از اکسیژن‌زدایی آب مقطر توسط دستگاه ماورای صوت و عبور گاز نیتروژن از آن ابتدا مقدار مناسبی از نمک‌های آهن (III) را به آن افزوده تا غلظتی طبق جدول (۱) بدست آید. سپس محلول هیدروکسید سدیم نیز با غلظتی طبق جدول (۱) تهییه و توسط دستگاه ماورای صوت اکسیژن‌زدایی شد. ۱۲ میلی‌لیتر از محلول نمک‌ها را بصورت قطره‌قطره به ۱۲۰ میلی‌لیتر محلول هیدروکسید سدیم تحت اتمسفر نیتروژن و در دمای مشخص، طبق جدول (۱)، اضافه شده و محلول بوسیله هموزنایزر به مدت نیم ساعت با سرعت ۱۰۰۰۰ دور در دقیقه همزده شد. سپس ذرات سه بار با آب مقطر و یک بار با استون شسته شده و تحت خلا خشک شدند. نمونه‌ها در دو دمای ۶۰ درجه و ۴۰ درجه سانتی‌گراد سنتز شدند که در هر دما اثر غلظت مواد واکنش دهنده

بررسی شد. شرایط سنتز نمونه‌ها در جدول (۱) ارائه شده است.

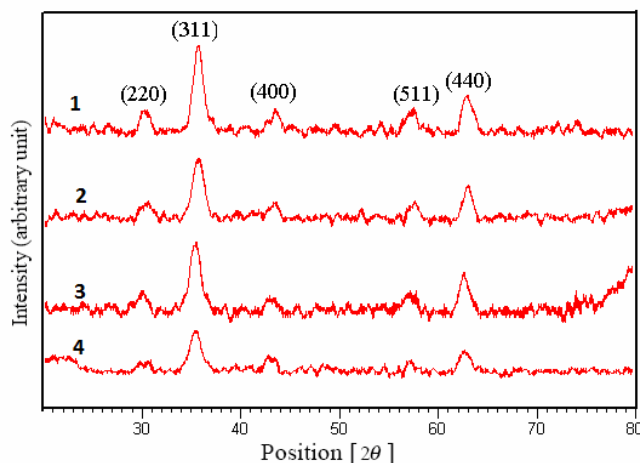
جدول ۱ - شرایط سنتز نانوذرات مغناطیسی اکسید آهن در این تحقیق

[Fe <sup>+2</sup> +Fe <sup>+3</sup> ] (مول بر لیتر)	[OH <sup>-</sup> ] (مول بر لیتر)	دما و اکنش (درجه سانتیگراد)	نام نمونه
۰/۹	۰/۳	۹۰	۱
۰/۹	۰/۵	۹۰	۲
۱/۸	۳	۹۰	۳
۰/۹	۳	۹۰	۴
۰/۹	۰/۳	۶۰	۵
۰/۹	۰/۵	۶۰	۶
۱/۸	۳	۶۰	۷
۰/۹	۳	۶۰	۸

### ۳- بحث و نتایج

برای بررسی تاثیر غلظت مواد واکنش دهنده یک فاکتور  $R = \frac{[OH^-]}{[Fe^{+2} + Fe^{+3}]}$  تعریف شد و تاثیر تغییر این فاکتور روی خواص نمونه‌ها بررسی گردید.

الگوی پراش اشعه ایکس چند تا از نمونه‌های تهیه شده طبق جدول (۱)، بعنوان نمونه در شکل (۱) نشان داده شده است. بقیه نمونه‌های سنتز شده نیز الگو و تغییرات مشابه داشتند که در اینجا نشان داده نشده است.



شکل ۱ - تاثیر فاکتور R بر الگوی پراش نمونه‌های ۱، ۲، ۳ و ۴

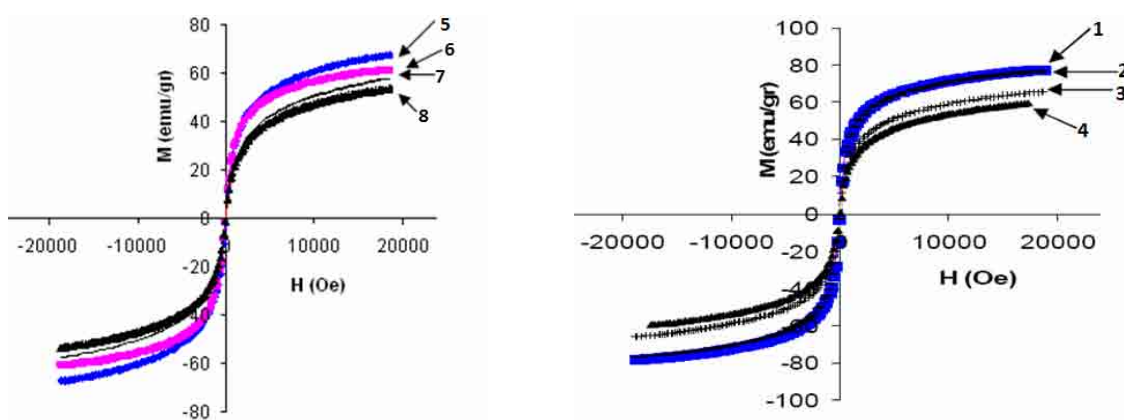
همانطور که از شکل (۱) دیده می‌شود پیک‌های الگوی پراش مربوط به پیک‌های شاخص مگنتیت می‌باشند و پیک ناخالصی‌های دیگر مثل ژئوتایت در آن مشاهده نمی‌شود [۵]. از آنجا که الگوی پراش فازهای مگنتیت و ماقمیت بسیار نزدیک

بهم هستند بنابراین نمونه‌های سنتز شده ممکن است بصورت مخلوطی از فازهای مگنتیت و ماقمیت باشند[۶]. با توجه به مغناطیش اشباع بالای نمونه‌ها، که در ادامه می‌آید، و رنگ کاملاً سیاه آنها بعد از انجام عمل واکنش می‌توان گفت که فازهای غیر مغناطیسی درون نمونه‌ها بسیار ناچیز است. بنابراین انجام آزمایشات تحت اتمسفر نیتروژن باعث شده که ذرات بدست آمده ناخالصی‌های غیرمغناطیسی نداشته باشند. اندازه بلورک‌ها به کمک فرمول شرمناسبه شده‌اند که بطور خلاصه در جدول (۲) ارائه شده است.

جدول ۲- اندازه نانوذرات با استفاده از فرمول شرمناسبه.

R	دما و واکنش	D <sub>XRD</sub> (نانومتر)	نام نمونه
۲/۳۳	۹۰	۱۱/۸۱	۱
۵/۵۵	۹۰	۱۰/۳	۲
۱۶/۶۶	۹۰	۹/۴۵	۳
۳۳/۳۳	۹۰	۹/۲۶	۴
۱۶/۶۶	۶۰	۹/۳۴	۷
۳۳/۳۳	۶۰	۷/۶۹	۸

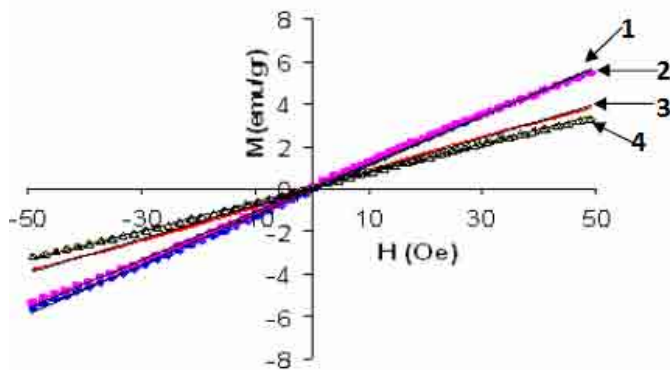
با توجه به جدول (۲) می‌توان گفت که بطور کلی با افزایش فاکتور R اندازه بلورک‌ها کاهش می‌یابد. دلیل این امر را می‌توان اینگونه ذکر کرد که با افزایش فاکتور R سرعت هسته‌زایی نسبت به سرعت رشد افزایش یافته و بنابراین اندازه ذرات کاهش می‌یابد[۷]. همانطور که ملاحظه می‌گردد برای نمونه‌هایی که در آنها دما و واکنش کمتر است، افزایش R تاثیر بیشتری روی اندازه ذرات گذاشته است بعبارتی آزمایشاتی که در دماهای کمتر انجام می‌شوند به تغییرات R حساس‌تر هستند. ویژگی‌های مغناطیسی نانوذرات نیز به شرایط سنتز آنها بستگی دارد. شکل‌های (۲) و (۳) منحنی هیسترزیس نمونه‌ها در دمای اتفاق و در میدان‌های -۲۰۰۰۰ تا ۲۰۰۰۰ اورستد نشان می‌دهند.



شکل ۲- منحنی هیسترزیس نمونه‌های ۱، ۲، ۳، ۴، ۵، ۶، ۷ و ۸.

همانطور که مشاهده می‌شود منحنی مغناطیش ذرات از میدان عبور می‌کند و در آنها میدان و ادارندگی و مغناطیش پسمانده مشاهده

نمی‌شود. بنابراین می‌توان گفت که ذرات سنتز شده همگی در دمای اتاق سوپرپارامغناطیس می‌باشند [۴۶]. همچنین نمونه‌هایی که در آنها فاکتور R کمتر است دارای مغناطش بیشتری هستند. برای بررسی دقیق‌تر خواص مغناطیسی ذرات و مشاهده خاصیت سوپرپارامغناطیسی دوباره منحنی هیسترزیس ذرات در میدان‌های حوالی صفر اورستد (۰-۵۰ اورستد) توسط VSM اندازه‌گیری گردید که در شکل (۴) نمایش داده است.



شکل ۴- منحنی هیسترزیس در میدان‌های نزدیک به صفر برای نمونه‌های ۱، ۲، ۳ و ۴.

همانطور که ملاحظه می‌گردد این نمودارها به صورت خط راست بوده و از مبدأ عبور می‌کنند بنابراین در اینجا نیز میدان واکرنشگی و مغناطش پسمانده مشاهده نمی‌شود، که دوباره تاییدی بر خاصیت سوپرپارامغناطیسی ذرات می‌باشد. به کمک این نمودارها پذیرفتاری اولیه نمونه‌ها،  $x_i$ ، محاسبه گردید. با استفاده از مقادیر  $x_i$ ، اندازه مغناطیسی نانوذرات به کمک فرمول لانگوین که به صورت زیر است، محاسبه گردید.

$$D_m = \left( \frac{18K_B T x_{in}}{\pi \rho \sigma_0^2} \right)^{\frac{1}{3}} \quad (1)$$

این معادله در دستگاه CGS می‌باشد و کمیت‌های بکار رفته در آن بدین شرح است:  $x_i$  بر حسب emu/grOe و  $T$  (دمای K<sub>B</sub>T) بر حسب erg ثابت بولتزمن) مطلق و K<sub>B</sub> می‌باشد. ρ چگالی ماده و بر حسب gr/cm<sup>3</sup> و σ<sub>0</sub> مغناطش اشباع در واحد جرم برای ماده کپهای و بر حسب emu/gr می‌باشد. چگالی مگنتیت  $\rho = 5/26 \text{ gr/cm}^3$  و مغناطش اشباع آن  $\sigma_0 = 93 \text{ emu/gr}$  است [۹]. مغناطش اشباع نانوذرات با استفاده از داده‌های تجربی محاسبه گردید. جدول (۳) مغناطش اشباع، σ<sub>s</sub>، و اندازه مغناطیسی، D<sub>m</sub> نانوذرات را نشان می‌دهد.

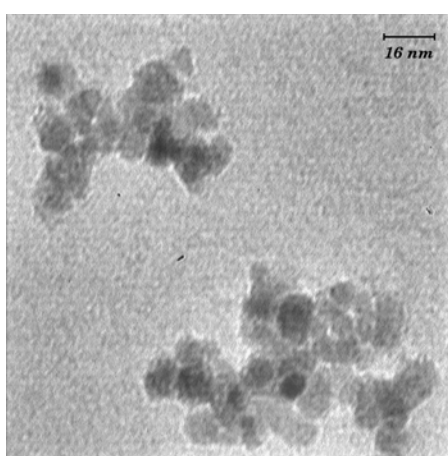
با توجه به ارقام این جدول می‌توان گفت که در یک دمای مشخص با کاهش فاکتور R اندازه مغناطیسی ذرات کمی افزایش پیدا می‌کند اما افزایش چشمگیری در مغناطش اشباع آنها مشاهده نمی‌شود. همچنین تاثیر غلظت بر روی افزایش مغناطش اشباع برای نمونه‌هایی که در دمای پایین سنتز شده‌اند کمتر می‌باشد. سه دلیل مهم را می‌توان برای افزایش مغناطش اشباع نانوذرات مغناطیسی ذکر کرد؛ دلیل اول افزایش اندازه ذرات و اندازه بلورک‌ها و دلیل دوم بهبود نظم کریستالی نانوذرات [۱۰] می‌باشد. از آنجا که نمونه‌های سنتز شده می‌توانند مخلوطی از مگنتیت با مغناطش اشباع نسبتاً بالا، ممکن است با مغناطش اشباع کمتر و

همچنین به مقدار اندک مواد غیرمغناطیسی دیگر باشند[۷] بنابراین افزایش میزان مگنتیت نسبت به فازهای دیگر درون پودر نانوذرات می‌تواند دلیل سوم افزایش مغناطش اشباع باشد. از آنجا که طبق جدول (۲) و (۳) افزایش مغناطش اشباع چشمگیرتر از افزایش اندازه نانوذرات است بنابراین در اینجا مهمترین عامل افزایش مغناطش اشباع را می‌توان دلیل دوم[۱۰] و سوم نام برد. مغناطش اشباع نانوذرات سنتز شده در اینجا بطور محسوسی بیشتر از نتایج سایرین است[۶ و ۱۱ و ۱۲].

**جدول ۳- تغییرات پذیرفتاری اولیه، اندازه مغناطیسی و مغناطش اشباع نانوذرات.**

نام نمونه	R	T (درجه سانتیگراد)	$x_i$ emu/grOe	D <sub>m</sub> (nm)	$\sigma_s$ emu/gr
۱	۳/۳۳	۹۰	۰/۱۱۶۳	۸/۴۶	۸۴/۲۴
۲	۵/۵۵	۹۰	۰/۱۱۳۱	۸/۳۹	۸۲/۹۱
۳	۱۶/۶۶	۹۰	۰/۰۷۹۶	۷/۴۶	۷۳/۲۹
۴	۳۳/۳۳	۹۰	۰/۰۶۸	۷/۰۸	۶۷/۱۶
۵	۳/۳۳	۶۰	۰/۰۷۵۵	۷/۳۳	۷۵/۱
۶	۵/۵۵	۶۰	۰/۰۶۸۹	۷/۱۱	۶۶/۹۲
۷	۱۶/۶۶	۶۰	۰/۰۵۰۱	۶/۳۹	۶۵/۶۶
۸	۳۳/۳۳	۶۰	۰/۰۴۹۳	۶/۳۵	۶۰/۸۹

با استفاده از تصویر میکروسکوپ الکترونی نیز می‌توان اندازه دقیق تر ذرات را مشخص کرد. به عنوان مثال تصویر TEM نمونه(۴) در شکل (۵) نشان داده شده است. با توجه این شکل می‌توان دید که اندازه تقریبی نانوذرات در حد ۱۰ نانومتر است که با اندازه‌های مغناطیسی و XRD در توافق می‌باشد. از اینکه اندازه تخمینی نانوذرات با استفاده از TEM با اندازه محاسبه شده با فرمول شرط تقریباً یکسان است می‌توان نتیجه گرفت که نانوذرات تک بلور هستند و از آنجا که ذرات اکسید آهن در اندازه‌های کمتر از ۵۰ نانومتر تک حوزه می‌شوند[۱۲] می‌توان نتیجه گرفت که نانوذرات سنتز شده در اینجا تک حوزه نیز هستند. همچنین ملاحظه می‌شود که نانوذرات سنتز شده دارای شکل کروی می‌باشند.



شکل ۵- تصویر TEM نمونه ۴.

## ۴- نتیجه‌گیری

نانوذرات سوپرپارامغناطیسی مگنتیت با استفاده از روش همرسوبی و استفاده از  $\text{NaOH}$  به عنوان عامل رسوب‌دهنده ستتر شدند. اندازه نانوذرات در حد ۸ الی ۱۲ نانومتر و مغناطش اشباع آنها در حد  $84\text{emu}/\text{gr}$  الی  $65\text{emu}/\text{gr}$  اندازه گیری شدند. با کاهش فاکتور  $R$  بطور کلی اندازه ذرات و مغناطش اشباع آنها هردو افزایش پیدا می‌کند اما افزایش مغناطش اشباع بیشتر از افزایش اندازه نانوذرات می‌باشد که دو دلیل مهم برای این موضوع را می‌توان بهمود نظم کریستالی نانوذرات و همچنین افزایش فاز مگنتیت نسبت به سایر فازهای درون پودر نانوذرات در اثر افزایش  $R$  نام برد.

## مراجع

1. Sellmyer, "Advanced Magnetic Nanostructures", Springer, 2005.
2. P. Tartaj, M. P. Morales, "Synthesis, Properties and Biomedical Applications of nanoparticles", Handbook of Magnetic Materials. Vol.16, Elsevier, 2006.
3. G. Gnanaprakash, S. Mahadevan, T. Jayakumar, P. Kalyanasundaram, J. Philip "Effect of initial pH and temperature of iron salt solutions on formation of magnetite nanoparticles" Materials Chemistry and Physics 103 ,pp 168–175, 2007.
4. D. Maity, D. C. Agrawal, "Synthesis of iron oxide nanoparticles under oxidizing environment and their stabilization in aqueous and non-aqueous media", Journal of Magnetism and Magnetic Materials 308, pp 46–55, 2007.
5. Y. Zhai, F. Liu, Q. Zhang, G. Gao, "Synthesis of magnetite nanoparticle aqueous dispersions in an ionic liquid containing acrylic acid anion", Colloids and Surfaces A: Physicochem. Eng. Aspects 332, pp 98–102, 2009.
6. K. Hayashi, W. Sakamoto, T. Yogo, "Magnetic and rheological properties of monodisperse  $\text{Fe}_3\text{O}_4$  nanoparticle/organic hybrid", Journal of Magnetism and Magnetic Materials 321, pp 450–457, 2009.
7. B. L. Cushing, V. L. Kolesnichenko, C. J. O'Connor, "Recent Advances in the Liquid-Phase Syntheses of Inorganic Nanoparticles", Chem. Rev. 104, pp 3893-3946, 2004.
8. B. D. Cullit, C. D. Graham, "Introduction to magnetic materials", Addison-Wesley (972), 2008.
9. R. M. Cornell, U. Schwertmann, "The Iron Oxides", Weinheim: VCH Verlagsgesellschaft, 199.
10. J. Wang, K. Zhang, Z. Peng, Q. Chen, "Magnetic properties improvement in  $\text{Fe}_3\text{O}_4$  nanoparticles grown under magnetic fields", Journal of Crystal Growth 266, pp 500–504, 2004.

11. K. Tao, H. Dou, K. Sun, "Interfacial coprecipitation to prepare magnetite nanoparticles, Concentration and temperature dependence", *Colloids and Surfaces A: Physicochem. Eng. Aspects* 320, pp 115–122, 2008.
12. H. Morrish, S. P. Yu, "*Magnetic Measurements on Individual Microscopic Ferrite Particles Near the Single-Domain,*" *Physical Review* 102, pp 670-673, 1956.

## راهنمای تهیه مقاله

نشریه علمی - پژوهشی علم و مهندسی سرامیک با هدف گسترش دانش سرامیک به انتشار نتایج پژوهش‌های اساتید و محققان و صنعتگران این رشته اقدام می‌نماید.

موضوعات پذیرش مقاله شامل موارد ذیل است: مواد اولیه، کاشی، سیمان، شیشه و شیشه سرامیکها، چینی، لعاب و رنگ، دیرگداز، مدیریت راهبردی در صنعت سرامیک، نانوسرامیک، کامپوزیت، فرآیند و کنترل کیفیت سرامیکهای اکسیدی و غیر اکسیدی، بیوسرامیک، الکتروسرامیک و نیز موضوعات مرتبه به علم و مهندسی سرامیک

نویسنده‌گان محترم خواهشمند است موارد زیر را رعایت فرمایند:

(۱) مقاله لازم است شامل بخش‌های زیر باشد:

مقدمه یا مرور منابع مطالعاتی، فعالیت‌های تجربی، نتایج و بحث، نتیجه‌گیری، مراجع

همچنین مشخصات کامل نویسنده‌گان همراه با محل کار بدون ذکر القاب و عنوان به فارسی و انگلیسی، پست الکترونیکی نویسنده مسئول، چکیده و کلید واژه به فارسی و انگلیسی

\* به منظور ترویج زبان فارسی، لازم به ذکر است که در نگارش مقاله از لغات مصوب فرهنگستان زبان و ادب فارسی استفاده شود.  
[www.persianacademy.ir](http://www.persianacademy.ir)

(۲) مقاله به صورت یک فایل Word شامل متن مقاله همراه با کلیه جداول و شکلها (فایل اصلی جداول و شکل‌ها (TIF) به صورت جداگانه نیز ارسال گردد)

(شکل‌ها با کیفیت حداقل 300 dpi باشد)

در تهیه شکل‌ها و جداول به نکات زیر توجه گردد.

- زمینه جداول و شکل‌ها به رنگ سفید باشد.
- متن و اعداد داخل جداول و شکل‌ها به فارسی باشد.
- شکل‌ها و نمودارها قاب و حاشیه نداشته باشند.

(۳) نگارش مقاله با فرمت زیر تنظیم گردد:

کاغذ A4 با حاشیه ۲/۵ سانتی‌متر از هر طرف و بالا و پایین، متن مقاله به صورت نرمال با قلم نازنین ۱۲، عنوان مقاله نازنین ۱۶ به صورت Bold، نام نویسنده‌گان و محل کار نازنین ۱۴، فاصله خطوط با فاصله خط ۱/۵ (line space 1.5)، تعداد صفحات حدود ۱۰ صفحه

(۴) مراجع در متن با شماره مربوط به خود مشخص شوند. متن مراجع و منابع به صورت کامل حاوی نام نویسنده‌گان، عنوان و نام مجله یا کتاب و سال انتشار باشد.

مثال:

- K. A. Maskall and D. White, "Vitreous Enamelling", (Oxford: pregamon Press, 1986)

- شیمی تجزیه پیشرفته، دکتر محمد ادريسی، ۱۳۸۱، انتشارات امید مجده

• مراجع فارسی و انگلیسی فونت صحیح داشته باشند.

(۵) از به کار بردن نام و نشان شرکت یا موسسات به صورت طراحی در صفحات خودداری به عمل آید. در صورت لزوم در قسمت پایانی مقاله به صورت تقدیر آورده شود.

(۶) پس از تحويل کامل مقاله به نشریه حذف، افزودن و یا تغیر نام هیچ یک از نویسنده‌گان امکان پذیر نیست.

ضمن تشکر از انتخاب این نشریه خواهشمند است با رعایت نکات ذکر شده همراه با مقاله "فرم تعهدنامه" که در سایت نشریه قابل دسترسی است توسط همه نویسنده‌گان مقاله تکمیل و امضا گردیده و به سایت نشریه ([www.ijcse.ir](http://www.ijcse.ir)) ارسال گردد.

مقالات به ترتیب دریافت در هیات تحریریه نشریه مورد داوری و ارزیابی قرار می‌گیرند.

هیات تحریریه نشریه تلاش دارد تا با بررسی دقیق علمی و در کوتاه‌ترین زمان نسبت به بررسی مقالات ارسالی اقدام نماید.

## **Synthesis of iron oxide nanoparticles by coprecipitation method and investigation the effect of concentration ratio of reactant on physical and magnetic properties of nanoparticles**

**Hossein Asnaashari Eivari<sup>1</sup>, Hadi Arabi<sup>2</sup>**

**<sup>1</sup> Physics department, University of Zabol,**

**<sup>2</sup> Physics department, Ferdowsi University of Mashhad**

[asnaashari@uoz.ac.ir](mailto:asnaashari@uoz.ac.ir)

**Abstract:** Iron oxide nanoparticles were synthesized by coprecipitation method using NaOH as precipitation agent. Magnetic properties of nanoparticles were measured by VSM. The effect of concentration of reactants on the size and magnetic properties of nanoparticles was investigated. The size of particles was calculated by Sherrer formula and magnetic data, and then compared with the size of nanoparticles obtained by TEM. The size of produced nanoparticles ranged from 8 to 12 nanometer and their saturation magnetizations were between 65 to 84 emu/gr. It was found that decrease of concentration ratio of NaOH to iron ions increases the saturation magnetization of nanoparticles significantly, but not their size.

**Keywords:** Coprecipitation Method, Magnetic Properties, Magnetite, Magnetic Nanoparticles.

## Electrical properties of the (1-x) BNT-xBKT system near morphotropic phase boundary

Azam Moosavi, Mohammad ali Bahrevar, Alireza Aghaei

### Research Materials and Energy

az\_moosavi@yahoo.com

**Abstract:** Lead free  $\text{Bi}_{0.5}(\text{Na}_{1-x}\text{K}_x)_{0.5}\text{TiO}_3$  piezoceramics (BNKT<sub>x</sub>) with various amount of potassium ( $x=0.18, 0.20, 0.22$  and  $0.24$ ) around morphotropic phase boundary (MPB) were prepared via a conventional solid state reaction. The crystal structure, electrical properties and strain were significantly influenced by the amount of  $\text{K}^+$  substitution. The XRD patterns revealed that by increasing  $\text{K}^+$  amount the tetragonal phase increased as well as more  $\text{K}^+$  content resulted in the enhanced piezoelectric properties, a large piezoelectric constant  $d_{33}=195 \text{ pC/N}$  was obtained at  $x=0.20$ , however depolarization temperature ( $T_d$ ) reached to  $100^\circ\text{C}$ . The BNKT<sub>x</sub> ceramics exhibited high remnant polarization  $P_r=37.50 \mu\text{C/cm}^2$  of the MPB composition ( $x=0.20$ ). The increase of  $\text{K}^+$  content destabilized the ferroelectric order of the BNKT<sub>x</sub> ceramics, leading to degradation of the remnant polarization, reduction of coercive field and changing the shape of hysteresis loop towards antiferroelectric phase. An outstanding large electric field induced strain ( $S=0.13\%$ ) under  $1 \text{ kV/mm}$  and normalized strain  $d_{33}^*=1320 \text{ pm/V}$  were obtained at the MPB for  $x=0.20$ .

**Keywords:** Piezoelectric, Lead-free, BNKT, Strain.

## **Effect of adding different oxides on opacification mechanism and chemical durability of spontaneous Opal Glasses containing zinc oxide.**

**Mehdi Soleimanzade, Bijan Eftekhari Yekta, Vahak Marghussian**

**Ceramic Group, School of Metallurgy and Materials Engineering,  
Iran University of Science & Technology**

[mehdi.soleimanzade@gmail.com](mailto:mehdi.soleimanzade@gmail.com)

**Abstract:** Spontaneous opal glasses were synthesized by addition of ZrO<sub>2</sub>, P<sub>2</sub>O<sub>5</sub> and TiO<sub>2</sub> to a base glass composition of the system ZnO-B<sub>2</sub>O<sub>3</sub>-SiO<sub>2</sub>. The opacity of the samples was measured by UV-Visible spectrophotometry and their chemical resistance was determined in a harsh alkaline environment, according to ISO 695. Based on the microstructural analysis, while addition of P<sub>2</sub>O<sub>5</sub> led to a liquid-liquid phase separation, addition of ZrO<sub>2</sub> and TiO<sub>2</sub> led to partially crystallized glasses. Furthermore, The ZrO<sub>2</sub> bearing glass, which opacified through crystallization of zirconia, willemite and gahnite, showed the best chemical resistance.

**Keywords:** Chemical durability, Phase separation, Opacifier, Opal glass, Spectrophotometer.

## The effect of solvent type on the synthesis of mesoporous alumina using triblock copolymer P123

Adele Moatti<sup>1</sup>, Jafar Javadpour<sup>1</sup>, Mansour Anbia<sup>2</sup>, Alireza Badiei<sup>3</sup>

<sup>1</sup>Department of Materials Science and Engineering, Iran University of Science and Technology,

<sup>2</sup>Department of Chemistry, Iran University of Science and Technology,

<sup>3</sup>Department of Chemistry, Tehran University

Javadpourj@iust.ac.ir

**Abstract:** In this study, mesoporous alumina powder was synthesized by evaporation-induced self-assembly (EISA) method in the presence of two different solvent types, including ethanol and tetrahydrofuran. The alumina powder was prepared using aluminum isopropoxide and aluminum nitrate as precursors and Pluronic P123 as a polymer template for the self-assembly. As-prepared powders were characterized by thermal analysis (DTA/TG) and fourier transform infrared spectroscopy (FTIR). After calcination at 400 °C for 8 h, the samples were evaluated using nitrogen adsorption- desorption isotherms, small and wide angle X-ray diffraction, scanning probe microscopy and high resolution transmission electron microscopy. The results of FTIR and DTA/TG confirmed elimination of the surfactant after calcination. The nitrogen adsorption-desorption isotherms showed type IV, which is a characteristic of mesoporous materials. The prepared sample in ethanol and tetrahydrofuran showed H<sub>2</sub> and H<sub>3</sub> hysteresis loops characteristic, indicating wormlike and slit-like pores, respectively. The surface area and pore volume for the prepared samples in ethanol were 100 m<sup>2</sup>/g and 0.35 cm<sup>3</sup>/g and those for the prepared samples in tetrahydrofuran were 120 m<sup>2</sup>/g and 0.4 cm<sup>3</sup>/g, respectively. The BJH results showed a narrower pore size distribution when tetrahydrofuran was used as solvent.

**Keywords:** Mesoporous alumina, Evaporation induced self-assembly (EISA), Solvent effect, Tetrahydrofuran(THF), Nitrogen adsorption-desorption.

## **Investigation of boron carbide particles and mechanical milling time on the microstructure and mechanical properties of Al2024-B<sub>4</sub>C nanocomposite**

**Ali Reza Abdollahi, Ali Alizadeh, Hamid Reza baharvandi**

**Malek Ashtar University of Technology**

[alirezaabdollahi1366@gmail.com](mailto:alirezaabdollahi1366@gmail.com)

**Abstract:** In this study, mechanical milling was used to synthesize nanostructured Al2024 and Al2024-B<sub>4</sub>C nanocomposite powders in attrition mill under argon atmosphere up to 50 h. The mechanically milled powders were extruded at an extrusion ratio of 10:1. X-ray diffraction (XRD), tensile and hardness tests were used to characterize the powders and hot extruded samples. The morphology of the mechanically milled powders was also investigated by transmission electron microscopy (TEM) and scanning electron microscopy (SEM). Results showed that the addition of B<sub>4</sub>C particles accelerate the milling process, leading to a faster work hardening rate and fracture of aluminum matrix. Furthermore, the results revealed a lower elongation, higher strength and hardness for Al2024-B<sub>4</sub>C nanocomposite in contrast to the coarse grained Al2024 and nanostructured Al2024 matrix.

**Keywords:** Al2024-B<sub>4</sub>C nanocomposite, mechanical milling, hot extrusion, Boron carbide.

## **Preparation of Translucent Ceramic from $\text{Al}_2\text{O}_3$ nanopowder by pressureless sintering method**

**Hasan Abbaszadeh, Asghar Rahmani, Zahra Asghari**

**MS, Department of material Engineering, Malek ashtar University, Tehran ,iran**

**asqaryzahra.88@gmail.com**

**Abstract:** In this article, the effect of type and content additive on sintering behavior and properties of translucent alumina ceramics were investigated.  $\alpha$ - $\text{Al}_2\text{O}_3$  nanopowder with various content of additives ( $\text{MgO}$ ,  $\text{La}_2\text{O}_3$ ), was compacted under a pressure of 300MPa and was sintered at temperatures of 1700 and 1875 °C. The microstructure of sintered samples were studied by scanning electron microscope (SEM) and Optical microscope .The results indicate that with increasing content of  $\text{MgO}$  increase formation of Spinel secondary phase within grains that these flaws act as points of scattering and reduce the transparency of the sample. With increase  $\text{La}_2\text{O}_3$  alumina grains with almost no pores trapped in, become fine and compact. Alumina codoped with 0.12%wt  $\text{MgO}$  and 0.2%wt  $\text{La}_2\text{O}_3$  sintered at 1750 °C for 1 h show maximum transmittance 60%, hardness 1840 VHN and relative density 99.95%.

**Keywords:** Powder metallurgy, translucent ceramics, Alumina,  $\text{La}_2\text{O}_3$ ,  $\text{MgO}$ .

# **Effects of the fabrication parameters on the phase composition, densification and mechanical properties of alumina-chromium cermets fabricated by combustion synthesis method**

**Lila Phazeli, Mahdi Kalantar, Masoud Moshrefifar**

**Department of Materials and Mining-Yazd University**

Mkalantar@yazduni.ac.ir

**Abstract:** As a high temperature structural ceramic, cermets exhibit less brittle than the ceramic-ceramic composites or the monolithic ceramics in presence of the ductile metal second phase. On the other hand, they have higher refractory, higher creep and thermo-mechanical resistance and higher abrasive resistance in comparable of metals. In the present study, Alumina-Chromium cermets with different proportions of  $\text{Al}_2\text{O}_3$ ,  $\text{Cr}_2\text{O}_3$  and Al, different ball-milling time and different heat treatment temperatures have been fabricated. In order to evaluate the optimum manufacturing conditions, specimens with different composition of ball-milled starting materials and for different times were subjected to DTA and TGA analysis. Obtained materials were characterized by microstructural observations (SEM), phase analyses (XRD), mechanical properties measurements (toughness and strength- three point bending test) and by hardness testing (Vickers). The results of DTA show that for ball-milling more than two hours, there is a decreasing of intensity and temperature of exothermic peak relating to thermit reaction. Higher proportion of x in starting materials,  $3x\text{Al}$ ,  $x\text{Cr}_2\text{O}_3$ ,  $(1-x)\text{Al}_2\text{O}_3$ , cause increasing the density and strength until  $x=0.5$  and increasing toughness of sintered samples until  $x=0.7$ . The hardness however, constantly decreases on increasing of the x value. In addition, the mechanical properties of sample with  $x=0.5$  is improved by increasing of the sintering temperature to 1550 °C. The difference between thermal expansion coefficient of the metallic and ceramic phase, oxidation of the chromium phase, low wetting of alumina by chromium phase and a coarser structure are the principle responsible for decreasing of properties in higher value of x and high sintering temperature.

**Keywords:** Alumina base cermets, Chromium, Ball- milling, Sintering, Combustion synthesis, Mechanical properties.



# Iranian Journal of Ceramic Science & Engineering

Vol. 2, No. 1, 2013  
ISSN: 2322-2352

---

Published by: Iranian Ceramic Society (ICerS)

**Editor in Charge:**

***Prof. V. K. Marghussian***

Department of Metallurgy and Materials Engineering, Iran University of Science and Technology, Tehran, Iran

**Editor in Chief:**

***Dr. H. Sarpoolaky***

Department of Metallurgy and Materials Engineering, Iran University of Science and Technology, Tehran, Iran

**Editorial Board:**

***Prof. M. A. Bahrevar***

Materials and Energy Research Center

***Prof. A. Beitollahi***

Department of Metallurgy and Materials Engineering, Iran University of Science and Technology

***Prof. F. GolestanFard***

Department of Metallurgy and Materials Engineering, Iran University of Science and Technology

***Prof. J. JavadPour***

Department of Metallurgy and Materials Engineering, Iran University of Science and Technology

***Prof. A. Kianvash***

Department of Materials Engineering, Faculty of Mechanical Engineering, University of Tabriz

***Prof. F. MoztarZadeh***

Department of Mining and Metallurgy and Petroleum, Amir Kabir University of Technology

***Dr. B. Eftekhari***

Department of Metallurgy and Materials Engineering, Iran University of Science and Technology

***Dr. M. A. Faghihi-Sani***

Department of Materials Science and Engineering, Sharif University of Technology

***Dr. A. Nemati***

Department of Materials Science and Engineering, Sharif University of Technology

***Dr. M. Solati***

Department of Mining and Metallurgy and Petroleum, Amir Kabir University of Technology

***Dr. E. TaheriNassaj***

Department of Materials Science and Engineering, Tarbiat Modares University

---

**Address: ICerS Office, Iran University of Science and Technology, Narmak, Tehran, Iran**

**P.O.Box: 16845-111**

**Tel.: +9821-77899399      Fax.: +9821-77899399**

**E-mail: jcse@ICerS.org**

**www.ijcse.ir**

**Formatted & Graphic by: Tamam Tarh, 021- 77209228**